



# PRÉPARATIONS MICROSCOPIQUES EN ORDRE SYSTEMATIQUE

Toutes les différentes PRÉPARATIONS MICROSCOPIQUES sont assorties dans l'ordre systématique

La liste des préparations microscopiques disponibles a été aussi révisée et accomplie considérablement. Grâce à leur arrangement systématique c'est plus facile à trouver les préparations nécessaires pour compiler une série d'après une utilisation spéciale.

Les marquages • chez les préparations caractéristiques et représentatives du groupe taxonomique ou du sujet sont très utiles pour s'orienter.

Certaines préparations sont disponibles seulement dans un nombre petit ou avec une période de livraison longue, car leur matériel est rare ou est très difficile à traiter. Telles préparations microscopiques sont marquées avec un astérisque \* dans le catalogue, et nous ne pouvons pas garantir la livraison.

**Abréviations:** c.t. coupe transversale    c.l. coupe longitudinale    s.e. sujet entier, préparation entier

## PROTOZOA - PROTOZOAIRES

### Rhizopoda, Rhizopodes (Sarcodina)

- Pr112e • Amoeba proteus, amibe, noyau et pseudopodes  
Pr113f Amoeba proteus, coupes  
Pr114f • Entamoeba histolytica, parasite de la dysenterie; frottis de fèces  
Pr1141h Entamoeba histolytica, parasite de la dysenterie; frottis de fèces avec formes végétatives (trofozoïtes)  
Pr1142h Entamoeba histolytica, parasite de la dysenterie; frottis avec kystes \*  
Pr115g Entamoeba histolytica, coupe du colon infesté par le parasite  
Pr116g • Entamoeba coli, non pathogène, frottis de fèces \*  
Pr1161h Entamoeba coli, non pathogène, frottis de fèces avec formes végétatives (trofozoïtes) \*\*  
Pr1162h Entamoeba coli, non pathogène, frottis montrant des kystes \*  
Pr1165h Entamoeba hartmanni, non pathogène, frottis de fèces avec formes végétatives (trofozoïtes)  
Pr1166h Entamoeba hartmanni, non pathogène, frottis montrant des kystes  
Pr1168h Dientamoeba fragilis, frottis avec formes végétatives (trofozoïtes) \*  
Pr117f Entamoeba invadens, espèces grandes, bien pour la démonstration  
Pr1173g Entamoeba gingivalis, frottis avec formes végétatives (trofozoïtes) \*  
Pr1174h Endolimax nana, petit parasite humain, frottis avec formes végétatives (trofozoïtes) \*\*  
Pr1175h Endolimax nana, petit parasite humain, frottis montrant des kystes \*  
Pr1177h Jodamoeba butschlii, frottis du commensal vivant dans l'intestine de l'homme \*\*  
Pr1178h Jodamoeba butschlii, frottis avec des kystes mononucléaires \*  
Pr1181v Pneumocystis carinii, frottis de poumon avec kystes \*  
Pr1182v Pneumocystis carinii, frottis de poumon avec kystes trofozoïtes et sporozoïtes \*  
Pr119d • Arcella, amibe, s.e.  
Pr1195s Actinosphaerium, actinopode limnicole, s.e. \*  
Pr121d • Radiolaria, radiolaires, espèces diverses, s.e.  
Pr122d • Foraminifera, foraminifères, espèces diverses, s.e.  
Pr1251d Foraminifera de Méditerranée, diverses espèces actuelles  
Pr1252d Foraminifera, diverses espèces fossiles  
Pr124d Foraminifera, diverses espèces actuelles de l'Adria  
Pr123d • Globigerina, diverses espèces marines

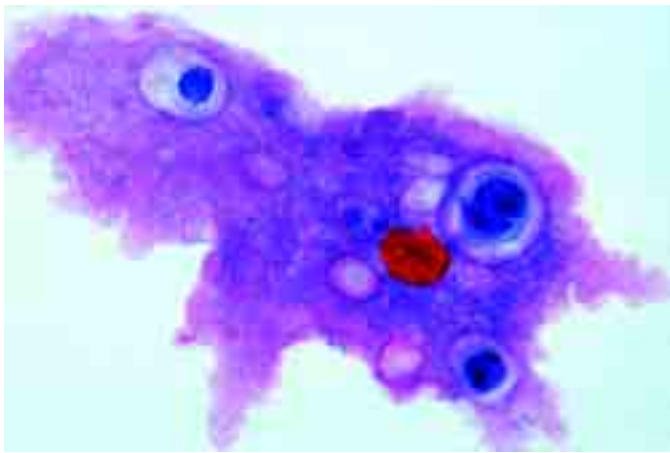
### Flagellata, Flagellés (Mastigophora)

- Pr211c • Euglena viridis, flagellés limnicoles avec stigma, s.e..  
Pr2112c Euglena gracilis, petits flagellés, s.e.  
Pr2113f Euglena, flagellés fixés et colorés pour la démonstration du flagelle, s.e..  
Pr2114d Phacus, des cellules planes cordiformes, s.e.  
Pr2115e Trachelomonas, flagellés nageants librement, s.e.  
Pr212c • Ceratium hirundinella, dinoflagellés limnicoles, s.e.  
Pr2121c Ceratium, diverses espèces marines, s.e.  
Pr2123d Peridinium, flagellés limnicoles, s.e.  
Pr213d • Noctiluca miliaris, marins flagellés photogènes, s.e.  
Pr225h Chilomastix mesnili, flagellés non pathogènes vivants dans l'intestin humain, frottis avec trofozoïtes \*  
Pr2252h Chilomastix mesnili, frottis avec des kystes \*  
Pr221h Giardia lamblia intestinalis, parasite humain, frottis avec des trofozoïtes \*  
Pr2212h Giardia lamblia intestinalis, frottis avec kystes \*  
Pr223f • Trichomonas, frottis avec trofozoïtes \*  
Pr2232h Trichomonas vaginalis, frottis \*  
Pr2233h Trichomonas muris, trofozoïtes, frottis

- Pr230f • Trypanosoma gambiense, parasite de la maladie du sommeil; frottis de sang  
Pr231f Trypanosoma rhodesiense, parasite de la maladie du sommeil; frottis de sang  
Pr232f • Trypanosoma evansi, parasite de la surra, frottis de sang  
Pr233f • Trypanosoma brucei, parasite de la nagana, frottis de sang  
Pr234f Trypanosoma congolense, parasite des animaux domestiques, frottis de sang  
Pr235f • Trypanosoma equiperdum, parasite de la dourine du cheval, frottis de sang  
Pr236f • Trypanosoma cruzi (Schizotrypanum), parasite de la maladie de Chagas, frottis de sang humain montrant des Trypanosomes  
Pr237g • Trypanosoma cruzi, coupe du muscle cardiaque infesté  
Pr2372h Trypanosoma cruzi, forme de culture, frottis \*  
Pr2373g Trypanosoma cruzi, forme Leishmania, c.t. de cerveau de souris \*  
Pr2374g Trypanosoma cruzi, forme Leishmania, c.t. de foie de souris \*\*  
Pr2375g Trypanosoma cruzi, forme Leishmania, c.t. du muscle cardiaque (cœur) de souris \*  
Pr2376g Trypanosoma cruzi, forme Leishmania, c.t. de rate de souris \*  
Pr241f Trypanosoma lewisi, parasite du rat, frottis de sang  
Pr2413g • Trypanosoma lewisi, frottis de sang, stades jeunes \*  
Pr2414g Trypanosoma lewisi, frottis de sang, stades matures \*  
Pr238f • Leishmania donovani, parasite du kala-azar, frottis de la rate infestée montrant les typiques corps Leishman-Donovans  
Pr239g • Leishmania donovani, coupe de rate infestée (localisation intracellulaire du parasite) \*  
Pr2392t Leishmania donovani, frottis montrant les formes Leishmanies et leptomonades de culture \*  
Pr2395h Leishmania donovani, promastigotes, frottis de culture \*  
Pr2396h Leishmania donovani, amastigotes, frottis de tissu \*  
Pr2397h Leishmania mexicana, promastigotes, frottis de culture \*  
Pr240f Leishmania enrietti, coupe d'abcès infesté gravement  
Pr2405g Crithidia fasciculata, frottis de l'intestine de Anopheles mosquito avec crithidia \*  
Pr2378g Flagellées des fourmi blanches (termites), frottis avec formes grandes \*  
Pr251d • Silicoflagellées, diverses espèces

### Sporozoa, Sporozoaires

- Pr311f • Plasmodium falciparum, parasite de la fièvre paludéenne, frottis de sang humain montrant des états annulaires, coloration de Giemsa  
Pr3112g Plasmodium falciparum, parasite de la fièvre tropicale, frottis de sang avec des gamétocytes \*  
Pr312f Plasmodium falciparum, goutte épaisse pour établissement du diagnostic \*\*  
Pr313h Plasmodium vivax, parasite de la fièvre tierce, frottis de sang humain \*  
Pr3132h Plasmodium vivax, parasite de la fièvre tierce, goutte épaisse pour établissement du diagnostic \*  
Pr3145h Plasmodium malariae, parasite de la fièvre quarte, frottis de sang \*  
Pr315f • Plasmodium berghei, parasite des rongeurs, très forte infestation expérimentale, frottis de sang  
Pr320h Plasmodium sp., intestin de moustique avec oocystes, en coupe \*  
Pr321i Plasmodium sp., glande salivaire de moustique avec sporozoïtes, en coupe \*  
Pr322h Plasmodium, c.t. de cerveau montrant des formes exo-érythrocytaires \*  
Pr323h Plasmodium, c.t. de foie montrant des formes exo-érythrocytaires \*  
Pr3235g Malaria melanemia, coupe de rate infesté  
Pr326f Plasmodium praecox, parasite des oiseaux, frottis de sang



- Pr327f • *Plasmodium gallinaceum* (Proteosoma), parasite du poule, frottis de sang
- Pr328f *Plasmodium cathemerium*, parasite des oiseaux, frottis de sang \*
- Pr3285s *Plasmodium circumflexum*, frottis de cerveau ou du poumon, montrant la schizogonie exo-érythrocytaire \*
- Pr3287s *Leukocytozoon*, parasite du poule, frottis de sang
- Pr329s • *Haemoproteus columbae*, parasite de pigeon, frottis de sang
- Pr3293t *Haemogregarina*, parasite du grenouille, frottis de sang \*
- Pr337f • *Babesia canis*, piroplasmose, frottis de sang
- Pr338f • *Toxoplasma gondii*, toxoplasmose, frottis de tissu
- Pr3381f • *Toxoplasma gondii*, coupe de cerveau, montrant kystes avec les parasites \*
- Pr330e • *Nosema apis*, parasite intestinal de l'abeille, coupe d'intestin d'abeille
- Pr331d • *Monocystis lumbrici*, frottis des vésicules séminales de lombric
- Pr332d *Monocystis lumbrici*, coupe des vésicules séminales de lombric
- Pr333f • *Gregarina*, frottis d'intestin de ver de farine
- Pr334d *Gregarina*, coupe d'intestin de ver de farine
- Pr335d • *Eimeria stiedae*, parasite de la coccidiose du lapin; coupe de foie avec des stades de schizogonie et des mérozoïtes
- Pr3352d *Eimeria stiedae*, parasite de la coccidiose du lapin; frottis de fèces
- Pr336d *Eimeria tenella*, coccidiose de la poule, c.t. d'intestin de poule \*
- Pr339f • *Sarcocystis tenella*, coupe du muscle strié avec tubes de Miescher
- Pr3392f *Sarcocystis tenella*, coupe du muscle cardiaque
- Pr3365s *Myxosoma*, parasite, dans branchies de poisson, coupe \*

### Ciliata, Infusoires

- Pr411d • *Paramecium*, ciliés, coloration du noyau (macro- et micronucléus)
- Pr412e *Paramecium*, coloration des vacuoles et du noyau
- Pr413e *Paramecium*, structure pelliculaire, méthode de Breslau
- Pr414e *Paramecium*, système neuroformatif (imprégnation à l'argent de Klein)
- Pr415e *Paramecium*, trichocystes
- Pr416f • *Paramecium*, stades de conjugaison (coloration des noyaux) \*
- Pr417g • *Paramecium*, stades de division (coloration des noyaux) \*
- Pr418e *Paramecium*, coupes longitudinales et transversales (coloration d'Azan)
- Pr419f *Paramecium*, coloré avec la réaction de Feulgen
- Pr4194e *Paramecium multimicronucleatum*, espèce contenant plusieurs micronoyaux (coloration des noyaux), s.e.
- Pr4195e *Paramecium aurelia*, espèce contenant un macronoyau et deux micronoyaux (coloration des noyaux), s.e.
- Pr4196e *Paramecium bursaria*, montrant zoochlorelles symbiotiques dans l'endoplasme
- Pr422e • *Vorticella*, vorticelles d'eau douce, s.e.
- Pr4222e *Vorticella*, vorticelles marines, s.e.
- Pr421d • *Stylonychia*, ciliés, s.e.
- Pr430e • *Colpidium*, ciliés holotriches
- Pr427f *Spirostomum*, ciliés avec noyaux grandes
- Pr428g *Stentor*, ciliés grandes
- Pr429e • *Euplotes*, ciliés marins
- Pr4306f *Bursaria truncatella*, ciliés limnocolles
- Pr4309e *Blepharisma*, ciliés grands pigmentaires \*
- Pr4305e *Didinium nasutum*, petit parasite de *Paramecium* \*
- Pr423f *Dendrocometes paradoxus*, infusoires sur des branchies, c.t.\*\*
- Pr424f *Trichodina domergeui*, parasite des branchies des poissons, c.t.
- Pr4307e • *Ephelota*, marins ciliés sucoïres avec pédoncules \*
- Pr4311e *Suctorina*, espèces marines, s.e.
- Pr425f *Opalina ranarum*, commensal intestinal de la grenouille, frottis
- Pr426e • *Opalina ranarum*, coupe d'intestin de la grenouille
- Pr4265t *Balantidium coli*, parasite de l'homme, frottis avec trophozoïtes
- Pr4266t *Balantidium coli*, frottis avec kystes \*
- Pr4267t *Balantidium coli*, parasite de l'homme, coupe d'intestin \*
- Pr433f Ciliés vivants dans le rumen de la vache
- Pr435h Ciliés, préparés et colorés pour démontrer les cils
- Pr440f • Protozoaires divers, mélange

## MESAZOA- MÉSOZOAIRES

- Me111f *Dicyema*, animal simple avec corps et cellules sexuelles \*

## PORIFERA - SPONGIAIRES

- Po111d • *Sycon*, éponge marine, c.t., après décalcification
- Po112f • *Sycon*, éponge marine, c.l. médiane de l'animal entier avec l'osculum
- Po113d *Sycon*, éponge marine, c.l. tangentielle
- Po114d *Sycon*, éponge marine, c.t. épaisse montrant les spicules in situ
- Po115b • *Sycon*, éponge marine, spicules isolées
- Po116f *Sycon*, éponge marine, c.t. montrant des stades du développement \*
- Po1165e *Sycon*, éponge marine, c.t. et c.l. sûr la même préparation
- Po117d *Grantia*, éponge marine, type *Sycon*, coupe du corps
- Po118f *Grantia*, coupe longitudinale du corps et d'osculum
- Po119d *Grantia*, coupe de la région périphère
- Po1192e *Grantia*, c.t. et c.l. sûr la même préparation
- Po1193d *Grantia*, spicules calcifiées isolées, s.e.
- Po1194e *Grantia*, coupe transversale épaisse, montrant les spicules in situ
- Po121d • *Spongilla*, éponge d'eau douce, coupe
- Po122d • *Spongilla*, éponge d'eau douce, gemmules, s.e.
- Po123b *Spongilla*, éponge d'eau douce, spicules isolées
- Po125e • *Leucosolenia*, éponge marine simple, s.e.
- Po126d *Leucosolenia*, c.t. de la région moyenne du corps
- Po128c • *Euspongia*, éponge marine, squelette, s.e.
- Po129d *Euspongia*, c.t. typique du corps
- Po140c Spicules des éponges, mélange, s.e.

## COELENTERATA - CŒLÉNTÉRÉS

- Co111e • *Hydra*, hydre d'eau douce, sujet entier. Constitution d'un coelentéré simple: corps creux allongé en forme de tube, orifice buccal, tentacules.
- Co112f • *Hydra*, avec bourgeons, sujet entier \*
- Co1121f *Hydra*, avec bourgeons, c.l.
- Co113d • *Hydra*, c.t. dans diverses régions
- Co114d • *Hydra*, c.l. du corps et des tentacules
- Co1141g *Hydra*, c.l. de la plaque basale, le système gastro-vasculaire, l'hypostome et les tentacules \*\*
- Co1143e *Hydra*, c.t. et c.l. sûr la même préparation
- Co115e *Hydra*, c.t. avec glandes séminales
- Co1151f *Hydra*, sujet entier avec glandes séminales \*\*
- Co116e *Hydra*, c.t. avec ovaires
- Co1161g *Hydra*, sujet entier avec ovaires \*
- Co1165s *Hydra*, c.t. glandes séminales et ovaires sûr la même préparation
- Co117d *Hydra*, cellules dissociées
- Co118f *Hydra*, avec nourriture dans le système gastro-vasculaire, sujet entier
- Co119d *Hydra*, avec nourriture dans le système gastro-vasculaire, coupe
- Co1195f *Hydra*, pleine et avec bougeons, les deux types sûr la même préparation
- Co211d • *Obelia*, hydraire marine, colonie, s.e.. Polypes de la nutrition et polypes sexuelles
- Co212e • *Obelia*, petit méduse, sujet entier. Bouche, tentacules, canal circulaire, canaux radiaux
- Co230g *Obelia*, bourgeonnement de méduses en différents stades, c.t. \*
- Co213d *Plumularia setacea*, hydraire marine, s.e.
- Co214d • *Tubularia larynx*, hydraires, sujet entier ou coupe
- Co233f *Tubularia larynx*, actinula larve, s.e.
- Co215d *Sertularia cupressina*, s.e..
- Co216d • *Campanularia johnstoni*, avec gonophores, s.e.
- Co235d *Hydractinia*, colonie des polypes, s.e.
- Co220d *Coryne sarsi*, colonies d'hydraires avec bourgeonnement de méduses sujet entier \*
- Co217e Méduse, velum avec statocystes, en coupe
- Co2175g *Aurelia*, plânula, sujet entier \*
- Co2176g *Aurelia*, scyphistome, sujet entier
- Co2177g *Aurelia*, scyphistome (strobilation), c.l.
- Co218e • *Aurelia*, ephyra, sujet entier \*\*
- Co219d • *Actinia equina*, anémone de mer, animal jeune, c.t. .
- Co2191d • *Actinia equina*, anémone de mer, animal jeune, c.l.
- Co2193e *Actinia equina*, c.t. et c.l. sûr une préparation
- Co222d *Anemonia*, anémone de mer, coupe des tentacules montrant zoochlorelles et nématocystes
- Co225e • *Alcyonium digitatum*, corail, c.t.
- Co2252e • *Alcyonium digitatum*, corail, sujet entier
- Co226c • Squelette calcaire des coraux différents, s.e.

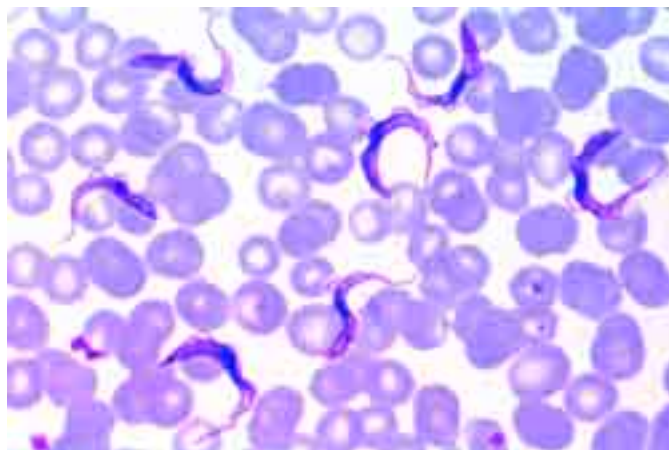
## PLATHELMINTHES - PLATODES

### Turbellaria - Turbellariés

- Py111f • Planaria, planaire, sujet entier colorée  
 Py1115g Planaria, planaire, colorée pour démontrer le système gastro-vasculaire, sujet entier\*
- Py112c Planaria, c.t. de la région moyenne du corps  
 Py113c Planaria, c.t. de la région pharynx  
 Py114e Planaria, ocelles, c.t.  
 Py115f Planaria, c.t. de la région antérieure, de la région du pharynx et de la région des gonades  
 Py1162e Planaria, coupe sagittale de la région moyenne du corps  
 Py117f Planaria, coupe longitudinale de la région moyenne du corps

### Trematodes - Trématodes

- Py211e • Dicrocoelium lanceolatum (D. dentriticum), petite douve, sujet entier colorée  
 Py212d Dicrocoelium lanceolatum, c.t. du corps  
 Py2121d Dicrocoelium lanceolatum, œufs, sujet entier  
 Py213f • Fasciola hepatica (Distomum hepaticum), grande douve, sujet entier colorée  
 Py214c • Fasciola hepatica, c.t.  
 Py2142d Fasciola hepatica, c.t. de deux régions différentes du corps  
 Py215e Fasciola hepatica, c.l. médiane  
 Py2152d Fasciola hepatica, c.l. de deux régions différentes  
 Py216d • Fasciola hepatica, œufs prélevés dans le sédiment biliaire du bœuf  
 Py217h • Fasciola hepatica, miracidia, s.e. \*\*  
 Py2172i Fasciola hepatica, rédies, s.e. \*\*  
 Py2173i Fasciola hepatica, cercaires, s.e. \*  
 Py2174i Fasciola hepatica, métacercaires, s.e. \*  
 Py219f • Fasciola hepatica, rédies et cercaires, coupe de foie d'un escargot  
 Py220e Fasciola hepatica, c.l. horizontale de s.e.  
 Py2201e Fasciola hepatica, c.l. horizontale de sujet entier, colorée montrant système d'excrétion  
 Py2202e Fasciola hepatica, c.t. de canaux biliaires de foie avec parasites  
 Py2205u Fasciolopsis buski, grande douve intestinale, sujet entier  
 Py2206e Fasciolopsis buski, œufs  
 Py2207u Fasciolopsis buski, miracidia, s.e.  
 Py2208u Fasciolopsis buski, rédies, s.e. \*\*  
 Py2209u Fasciolopsis buski, cercaires \*\*  
 Py221h • Schistosoma mansoni, parasite de la bilharziose, mâle, sujet entier  
 Py222h • Schistosoma mansoni, femelle, sujet entier  
 Py223i Schistosoma mansoni, mâle et femelle en conjugaison  
 Py224e Schistosoma mansoni, mâle et femelle, c.t.  
 Py225h Schistosoma mansoni, miracidia, entières \*  
 Py226h Schistosoma mansoni, furcocercaires, entières \*  
 Py227g • Schistosoma mansoni, coupe de foie d'escargot infesté, avec furcocercaires  
 Py228f Schistosoma mansoni, coupe de foie sans furcocercaires (pour comparaison)  
 Py229g • Schistosoma mansoni, coupe de foie ou d'intestin montrant des œufs \*  
 Py230e • Schistosoma mansoni, œufs dans des fèces  
 Py231e • Schistosoma haematobium, œufs dans un sédiment urinaire  
 Py232e Schistosoma japonicum, œufs dans des fèces \*  
 Py233h Schistosoma japonicum, mâle adulte, sujet entier  
 Py234h Schistosoma japonicum, femelle adulte, sujet entier \*\*  
 Py2345u Schistosoma japonicum, miracidia, sujet entier \*  
 Py2347v Schistosoma japonicum, cercaires sujet entier \*  
 Py247h Clonorchis sinensis, Chinoise douve de foie, adulte, sujet entier \*  
 Py2472d Clonorchis sinensis, c.t. \*  
 Py248s Clonorchis sinensis, coupe de foie humaine montrant le parasite dans le canal biliaire \*  
 Py2483h Clonorchis sinensis, métacercaires, s.e. \*  
 Py249e Clonorchis sinensis, œufs, s.e.  
 Py245h Opisthorchis felineus, parasite du chat, adulte, s.e.  
 Py251t Heterophyes heterophyes, douve dans l'intestin humain, adulte, s.e. \*  
 Py253h Echinostoma revolutum, parasite des mammifères, adulte, s.e. \*  
 Py254e Echinostoma revolutum, œufs, s.e..  
 Py255h Echinoparyphium recurvatum, parasite des oiseaux, adulte, s.e.  
 Py261e Paragonimus, parasite du poumon, œufs, s.e. \*  
 Py2614i Paragonimus, miracidia, s.e. \*  
 Py2615i Paragonimus, rédies, s.e. \*  
 Py2616i Paragonimus, métacercaires, s.e. \*  
 Py270t Metagonimus, petite parasite de mammifère, s.e..  
 Py271f Prosthogonimus macrorchis, œufs, s.e.  
 Py273t Eurytrema pancreaticum, parasite de bœuf et porc, s.e. \*  
 Py236g Leucochloridium macrostomum, parasite d'oiseau, coupe du tentacule d'escargot avec sporocystes contenant des cercaires  
 Py2553h Hypoderaeum conoideum, parasite d'oiseau, s.e. \*



### Cestodes - - Cestodes

- Py321f • Taenia pisiformis (serrata), ver solitaire de chien, anneaux jeunes, entiers  
 Py322f • Taenia pisiformis, anneaux mûrs, entiers  
 Py323f • Taenia pisiformis, anneaux gravides, entiers  
 Py3235d Taenia pisiformis, c.t. des anneaux  
 Py324i • Taenia pisiformis, scolex, sujet entier \*  
 Py3243k Taenia pisiformis, préparation composée de scolex, anneau jeune, mûr et gravide, sujets entiers \*\*  
 Py3245d • Taenia pisiformis, œufs dans des fèces  
 Py325f • Cysticercus pisiformis, c.l.  
 Py3251t Cysticercus pisiformis, sujet entier \*  
 Py311f • Taenia saginata, ver solitaire, anneaux, entiers \*  
 Py312g Taenia saginata, ver solitaire, anneaux mûrs, entiers \*\*  
 Py313d • Taenia saginata, anneaux à différents stades de maturité, c.t.  
 Py314d • Taenia saginata, œufs dans les fèces  
 Py3145f • Cysticercus bovis, coupe du muscle du bœuf avec le parasite in situ  
 Py3146t Cysticercus bovis, muscle du bœuf avec le parasite in situ, s.e.\*  
 Py315d Taenia solium, anneaux, c.t..  
 Py3153i Taenia solium, scolex, sujet entier \*  
 Py3154d Taenia solium, œufs dans les fèces, sujet entier.  
 Py3156f Cysticercus cellulosae, c.t. muscle du porc avec le parasite in situ  
 Py3157t Cysticercus cellulosae, sujet entier \*  
 Py3268f Dipylidium caninum, parasite du chien et du chat, anneaux jeunes, sujet entier.  
 Py327f • Dipylidium caninum, anneaux mûrs, s.e..  
 Py3271f Dipylidium caninum, anneaux gravides, s.e.  
 Py3272t • Dipylidium caninum, scolex avec anneaux jeunes, sujet entier \*  
 Py3273k Dipylidium caninum, préparation composée de scolex, anneau jeune, mûr et gravide, sujets entiers \*  
 Py3275e • Dipylidium caninum, œufs, s.e..  
 Py328f • Moniezia expansa, anneaux entiers.  
 Py3282t • Moniezia expansa, scolex avec anneaux jeunes, sujet entier  
 Py3283k Moniezia expansa, préparation composée de scolex, anneau jeune, mûr et gravide, sujets entiers \*  
 Py329e Taenia hydatigena, anneau, c.t..  
 Py3293f Cysticercus tenuicollis, de Taenia hydatigena, coupe du scolex  
 Py330f • Hymenolepis nana, petite ver solitaire (souris et rat), anneaux entiers  
 Py331d • Hymenolepis nana, œufs dans les fèces  
 Py3341g Hymenolepis diminuta, anneaux mûres et gravides, sujet entier  
 Py3342e Hymenolepis diminuta, œufs dans les fèces  
 Py3343g Hymenolepis diminuta, cysticercoïde (larve), s.e.  
 Py332i Hymenolepis fraterna, préparation composée de scolex, anneau jeune, mûr et gravide \*  
 Py335h • Echinococcus granulosus, sujet adulte entier avec scolex et anneaux \*\*  
 Py336f • Echinococcus granulosus, kyste hydatique avec scolex, entier.  
 Py337f • Echinococcus granulosus, paroi de kyste avec scolex, c.t.  
 Py338e Echinococcus granulosus, kyste multiloculaire stérile, c.t..  
 Py339e Echinococcus granulosus, œufs dans des fèces du chien, sujet entier  
 Py3392f Echinococcus multilocularis, kyste avec scolex, c.t.  
 Py344i Diphyllbothrium latum, parasite des poissons, scolex et anneaux jeunes, sujet entier. \*  
 Py345s Diphyllbothrium latum, anneaux mûrs, s.e.. \*  
 Py346e Diphyllbothrium latum, anneaux mûrs, c.t.  
 Py347e Diphyllbothrium latum, œufs s.e..  
 Py348v Diphyllbothrium erinacei (mansoni), parasite du chien et du chat, avec scolex et anneaux, sujet entier  
 Py349g Diphyllbothrium erinacei, anneaux mûrs, s.e.  
 Py350e Diphyllbothrium erinacei, œufs s.e.  
 Py352e Taenia multiceps (Multiceps serialis), parasite du chien, coupe montrant plusieurs scolices \*  
 Py354g Cysticercus fasciolaris, c.t. de foie du rat avec kyste de Taenia taeniaeformis.



## NEMATHELMINTHES NEMATHELMINTHES

- Ne111d • *Ascaris megalocephala*, ascaris du cheval, femelle, région des organes sexuels, c.t.
- Ne112d • *Ascaris megalocephala*, mâle, région des organes sexuels, c.t.
- Ne113d • *Ascaris megalocephala*, région œsophagienne, c.t.
- Ne121f • *Ascaris megalocephala*, pénétration des spermatozoïdes dans les ovules, c.t.
- Ne122f • *Ascaris megalocephala*, divisions de maturation (méioses), corpuscules polaires c.t.
- Ne123f • *Ascaris megalocephala*, pronucléus mâle et femelle c.t.
- Ne124f • *Ascaris megalocephala*, segmentation (mitose), stade précoce c.t.
- Ne125f • *Ascaris megalocephala*, segmentation (mitose), stade tardif c.t.
- Ne129d • *Ascaris lumbricoides*, parasite de l'homme, adulte femelle, coupe de la région des gonades, c.t.
- Ne130d • *Ascaris lumbricoides*, adulte mâle, coupe de la région des gonades, c.t.
- Ne1305e • *Ascaris lumbricoides*, adulte mâle et femelle, coupe des régions des gonades, c.t.
- Ne1306d • *Ascaris lumbricoides*, région œsophagienne, c.t.
- Ne131d • *Ascaris lumbricoides*, œufs dans les fèces, s.e..
- Ne1312d • *Ascaris lumbricoides*, œufs jeunes, s.e.
- Ne132e • *Ascaris lumbricoides*, cellules muscles isolées
- Ne1323f • *Ascaris lumbricoides*, c.t. du poumon de porc avec larves
- Ne235e • *Toxocara*, parasite du chien, œufs dans les fèces, s.e..
- Ne128f • *Rhabditis*, nématode vivant dans le lombric, œufs montrant des stades de segmentation
- Ne135f • *Enterobius vermicularis* (*Oxyuris*), mâle ou femelle, s.e.
- Ne1351g • *Enterobius vermicularis*, mâle adulte, s.e. \*
- Ne1352f • *Enterobius vermicularis*, femelle adulte, s.e.
- Ne136c • *Enterobius vermicularis*, œufs dans les fèces.
- Ne1362g • *Enterobius vermicularis*, c.t. d'appendice de l'homme avec parasites
- Ne137e • *Strongyloides*, adulte, s.e.
- Ne1373g • *Strongyloides*, larves filariformes, s.e. \*
- Ne1374g • *Strongyloides*, c.t. d'intestin avec parasites
- Ne1377g • *Strongylus* sp., c.t. du poumon avec parasites
- Ne1378g • *Strongylus* sp., larves dans les fèces, s.e.
- Ne1392s • *Ancylostoma caninum*, parasite du chien, adulte mâle, sujet entier
- Ne1393s • *Ancylostoma caninum*, adulte femelle, sujet entier
- Ne1394u • *Ancylostoma caninum*, adulte mâle et adulte femelle sûr la même préparation, sujet entier
- Ne1395i • *Ancylostoma caninum*, mâle et femelle en copulation
- Ne1396e • *Ancylostoma caninum*, œufs, s.e.
- Ne1397t • *Ancylostoma caninum*, larve rhabditiforme, s.e.
- Ne1398t • *Ancylostoma caninum*, larve filariforme, s.e. \*
- Ne143h • *Ancylostoma duodenale*, adulte mâle, s.e. \*
- Ne144h • *Ancylostoma duodenale*, adulte femelle, s.e. \*
- Ne1445k • *Ancylostoma duodenale*, adulte mâle et femelle sûr une préparation, sujet entier \*
- Ne145e • *Ancylostoma duodenale*, mâle et femelle, c.t.
- Ne146e • *Ancylostoma duodenale*, œufs dans les fèces
- Ne147h • *Ancylostoma duodenale*, larves, s.e. \*
- Ne1472h • *Ancylostoma duodenale*, larve filariforme, s.e.. \*
- Ne1491g • *Ancylostoma braziliense*, adulte mâle, s.e. \*
- Ne1492g • *Ancylostoma braziliense*, adulte femelle, s.e. \*
- Ne1512v • *Necator americanus*, adulte mâle, s.e. \*
- Ne1513v • *Necator americanus*, adulte femelle, s.e.. \*
- Ne1514f • *Necator americanus*, œufs dans les fèces.
- Ne1515h • *Necator americanus*, larve rhabditiforme, s.e.. \*
- Ne1516h • *Necator americanus*, larve filariforme, s.e. \*
- Ne152f • *Heterakis spumosa*, parasite du rat, s.e.
- Ne153f • *Heterakis papillosa*, parasite de la poule, s.e.
- Ne163d • *Trichinella spiralis*, larves dans le muscle, coupe

- Ne164e • *Trichinella spiralis*, larves dans le muscle, préparation par écrasement, sujet entier
- Ne1642e • *Trichinella spiralis*, larves calcifiées dans le muscle, sujet entier.
- Ne1643f • *Trichinella spiralis*, migration des larves dans le muscle, c.t.
- Ne161t • *Trichinella spiralis*, trichine, adulte mâle \*
- Ne162t • *Trichinella spiralis*, adulte femelle \*
- Ne165g • *Trichinella spiralis*, sujet adulte dans la paroi de l'intestin grêle \*\*
- Ne154h • *Trichuris trichiura*, trichocephale, sujet entier \*
- Ne155d • *Trichuris trichiura*, œufs dans les fèces, s.e.
- Ne1551f • *Trichuris trichiura*, coupe du côlon infesté montrant le parasite in situ
- Ne156g • *Trichostrongylus*, adulte, s.e. \*
- Ne231f • *Oesophagostomum radiatum*, parasite du bœuf, adulte, s.e. \*
- Ne232f • *Oesophagostomum columbianum*, parasite du mouton, adulte, s.e. \*\*
- Ne234f • *Haemonchus contortus*, parasite du bœuf, adulte, s.e.
- Ne158f • *Litomosoides carinii*, microfilaire, s.e.
- Ne1585s • *Dirofilaria immitis*, frottis de sang du chien avec les larves du parasite \*
- Ne1587k • *Dipetalonema perstans*, frottis du sang montrant des microfilaires, s.e.
- Ne1597g • *Microfilaria*, frottis du poumon d'oiseau avec le parasite. \*
- Ne159f • *Onchocerca volvulus*, filaire, coupe du tissu infesté
- Ne1592h • *Onchocerca volvulus*, frottis montrant des microfilaires, s.e. \*
- Ne138d • *Anguillula aceti*, plusieurs stades de développement, s.e.
- Ne221d • *Gordius*, nématode, c.t.
- Ne222f • *Gordius*, coupe d'insecte infesté avec nématodes, montrant le parasite in situ
- Ne250d • Nemertinea, marine espèce non pathogène, coupe de la région du trompe
- Ne170g • Œufs de parasites, *Ascaris*, *Ancylostoma*, *Trichuris*, *Taenia*, *Schistosoma japonicum*, mélange. \*

## ACANTHOCEPHALA - ACANTHOCÉPHALES

- At101e • *Macracanthorhynchus hirudinaceus*, coupe de l'intestin de porc, montrant la tête du parasite \*
- At103e • *Macracanthorhynchus hirudinaceus*, œufs, s.e.

## ANNELIDA - ANNÉLIDES

- An118e • *Nereis*, polychète marin, parapode, s.e.
- An119d • *Nereis*, c.t. de la tête
- An120f • *Nereis*, c.t. de la tête montrant le cerveau et les yeux
- An121d • *Nereis*, c.t. du corps
- An127d • *Arenicola*, c.t. du corps
- An128f • *Sabella*, polychète marin, c.t. du corps dans diverses régions
- An130f • *Magelona*, polychète marin, larve s.e.
- An122d • *Tubifex*, oligochète limnicole, s.e.
- An1264f • Trochophore larve, s.e.
- An1265g • Trochophore larve en métamorphose, s.e.
- An124d • *Hirudo medicinalis*, sangsue, c.t. de la région moyenne
- An1240d • *Hirudo medicinalis*, c.t. du suçoir buccale
- An1241d • *Hirudo medicinalis*, c.l. de la région antérieure montrant le suçoir
- An1242f • *Hirudo medicinalis*, c.l. de la région antérieure montrant les yeux
- An1243d • *Hirudo medicinalis*, c.l. de la région postérieure montrant la disque suçoir
- An123d • *Haemopsis sanguisuga*, sangsue du cheval, c.t.
- An1244f • *Hirudine*, espèce petite colorée, s.e. \*
- An131c • *Lumbricus terrestris*, ver de terre, c.t. du corps montrant l'intestin, les néphridies, typhlosolis etc.
- An132e • *Lumbricus terrestris*, c.t. montrant les soies
- An133c • *Lumbricus terrestris*, c. s. de la région médiane
- An134c • *Lumbricus terrestris*, c.t. de la région buccale
- An135e • *Lumbricus terrestris*, c.t. de la région du ganglion cérébral
- An1352g • *Lumbricus terrestris*, c.l. sagittale de extrémité antérieure montrant les ganglions
- An136f • *Lumbricus terrestris*, chaîne nerveuse ventrale
- An1365d • *Lumbricus terrestris*, c.t. de la région du pharynx
- An137c • *Lumbricus terrestris*, c.t. de l'œsophage
- An1375d • *Lumbricus terrestris*, c.t. de la région des cœurs
- An138c • *Lumbricus terrestris*, vésicules séminales, c.t.
- An1385d • *Lumbricus terrestris*, réceptacle séminal, c.t.
- An139e • *Lumbricus terrestris*, entonnoir séminal, c.t.
- An140e • *Lumbricus terrestris*, ovaires, c.t.
- An141f • *Lumbricus terrestris*, testicules, c.t.
- An1415d • *Lumbricus terrestris*, jabot, c.t.
- An142d • *Lumbricus terrestris*, estomac, c.t.
- An143c • *Lumbricus terrestris*, clitellum, c.t.
- An1435e • *Lumbricus terrestris*, coupe montrant les néphridiopores
- An1436h • *Lumbricus terrestris*, néphridie, s.e. \*\*
- An1437e • *Lumbricus terrestris*, montrant le entonnoir de néphridie, c.t..



- An144e • Lumbricus terrestris, extrémité antérieure avec organes génitaux, coupe sagittale
- An145g Lumbricus terrestris, extrémité antérieure avec organes génitaux, œsophage etc., c. s. médiane \*
- An147e Lumbricus terrestris, segments 1 à 9, bouche et œsophage, c. s.
- An148e Lumbricus terrestris, segments 9 à 16, organes génitaux et vésicules séminales, c. s.
- An149e Lumbricus terrestris, segments 16 à 23, appareil digestif, c. s.
- An150d Lumbricus terrestris, frottis de sang
- An151d Lumbricus terrestris, spermatozoïdes
- An1261d Lineus sp., németes, proboscis (trompe) c.t.
- An1262d Lineus sp., németes, c.t. de région moyenne
- An125d • Sagitta, chétognathe marine, s.e..
- An1252e Sagitta, chétognathe marine c.l.

## ONYCHOPHORA - ONYCHOPHORES

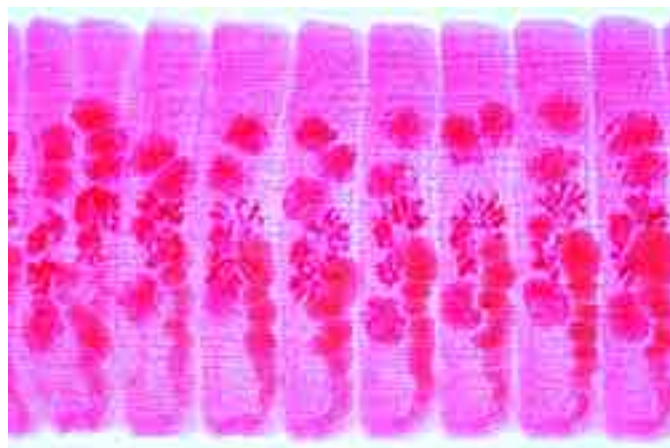
- On111f Peripatus, c.t. de la région antérieure avec extrémité \*
- On112f Peripatus, c.t. de la région des gonades \*
- On113f Peripatus, région de la tête, c. t \*
- On114g Peripatus, région antérieure, c. s. \*
- On115g Peripatus, région moyenne, c. s. \*

## ROTATORIA - ROTIFÈRES, BRYOZOA - BRYOZOAIRES

- Ro111d • Rotatoria, rotifères de plusieurs espèces
- Ro211e • Plumatella, bryozoaires, colonie, coupe ou s.e.
- Ro212d • Plumatella, bryozoaires, statoblasts, isolées
- Ro213e • Flustra foliacea, bryozoaire marin, coupe ou sujet entier
- Ro215e Flustrella hispida, bryozoaire marin, colonie, c.l.
- Ro214e • Membraniphora, bryozoaire marin, colonie, c.l.
- Ro217e Bugula, bryozoaire marin, colonie, s.e.
- Ro218e Pectinatella, bryozoaire marin, colonie, s.e.

## CRUSTACEA - CRUSTACÉS

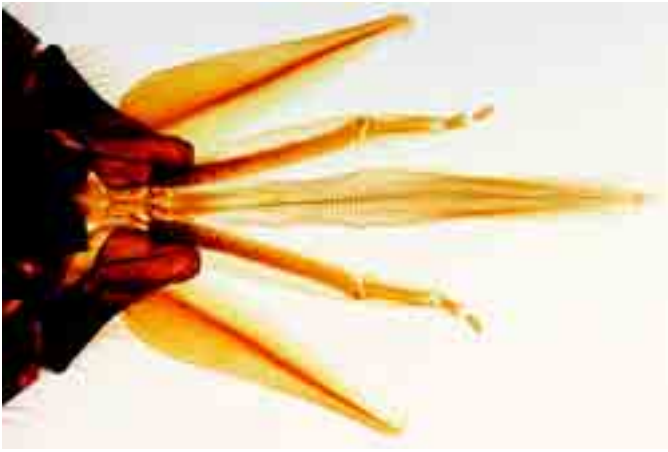
- Cr111c • Daphnia, puce d'eau, s.e.
- Cr112c Daphnia, puce d'eau, éphippies
- Cr1123c Daphnia, puce d'eau, montrant les œufs
- Cr113c • Cyclops, copépode d'eau douce, s.e.
- Cr114c • Cyclops, nauplius larves
- Cr120c • Petits crustacés du plancton, espèces diverses, mélange
- Cr119d Artemia salina, stades du développement, s.e..
- Cr115d • Balanus balanoides, gland de mer, nauplius.
- Cr122d Bosmina, copépode, s.e.
- Cr126d Bythotrephes, cladocère, s.e.
- Cr128e Caprella, amphipode, s.e.
- Cr117e • Carcinus maenas, crabe, larve, stade zoé \*\*
- Cr118e • Carcinus maenas, crabe, larve, stade mégalope \*
- Cr124d Cypris cirripèdes, stade cocon, s.e.
- Cr116e Gammarus, crevette d'eau douce, s.e.
- Cr160f Crevettes, petites espèces, s.e.
- Cr161d • Crevettes, petite espèce, c.l ou c.t..
- Cr168d • Lepas anatifera, bernacle, patte ravisseuse, s.e.
- Cr169e Lepidurus apus, branchiopode, s.e.
- Cr125d Leptodora, cladocère grande, s.e.
- Cr167f Lingula, brachiopode, c.t.
- Cr163e Mysis, crevette marine, s.e.
- Cr123d Podon et Evadne, du plancton marin, s.e.
- Cr150f Statocyste de crevette, organe de l'équilibre
- Cr135d • Astacus fluviatilis, écrevisse, muscle strié, c.l.
- Cr132c • Astacus fluviatilis, branchies, c.t.
- Cr142c • Astacus fluviatilis, estomac, c.t.
- Cr134c • Astacus fluviatilis, intestin, c.t.
- Cr137c • Astacus fluviatilis, foie, c.t.
- Cr136c • Astacus fluviatilis, glande d'antenne, c.t..
- Cr138d • Astacus fluviatilis, ovaire, c.t.
- Cr139e • Astacus fluviatilis, testicule montrant la spermatogenèse, c.t.
- Cr1391g • Astacus fluviatilis, testicule, c.t. pour démonstration des divisions cellulaires (mitose et méiose) \*
- Cr144c • Astacus fluviatilis, canal déférent, c.t.
- Cr131e • Astacus fluviatilis, écrevisse, œil, c. s. \*
- Cr141f • Astacus fluviatilis, ganglion cérébral, c.t. \*
- Cr133d • Astacus fluviatilis, antenne, c.t. (décalcifiée)
- Cr143e • Astacus fluviatilis, pince, c.t.
- Cr140d • Astacus frottis de sang
- Cr1445e • Astacus fluviatilis, sujet jeune, région thoracique, c.t.



- Cr1446e Astacus fluviatilis, sujet jeune, région ventrale, c.t.
- Cr1447f Astacus fluviatilis, sujet jeune, région moyenne, c. l. sagittale
- Cr165s Argulus foliaceus, s.e. \*\*

## ARACHNIDA - ARACHNIDES

- Ar111e • Araignée, sujet jeune, entier
- Ar112b • Araignée, patte, s.e.
- Ar113d • Araignée, filière, s.e.
- Ar114d Araneus, épeire diadème, filière, s.e.
- Ar123e Araignée, appareil buccale d'un mâle adulte, s.e.
- Ar124e Araignée, appareil buccale de la femelle adulte, s.e..
- Ar120f Araignée, épigyne de la femelle adulte, s.e. \*
- Ar125d Araignée, abdomen, c.l. sagittale
- Ar126e Araignée, abdomen avec filières, c.l.
- Ar127e • Araignée, abdomen avec poumon, c.l.
- Ar1272f • Araignée, abdomen avec épigyne et ovaires, c.l.
- Ar1273g • Araignée, abdomen avec vaisseau sanguin dorsal, c.l.
- Ar128f Araignée, c.t. du céphalothorax montrant le système nerveux central
- Ar1281f Araignée, c.l. sagittale du céphalothorax montrant le système nerveux central.
- Ar129g Salticus, araignée, coupe du céphalothorax, montrant les yeux \*\*
- Ar130b Araignée, toile d'araignée, s.e..
- Ar171d Opilio, faucheur, c. s. du corps
- Ar172e Opilio, faucheur, appareil buccale, s.e.
- Ar131c • Scorpion, sujet jeune, c.t.
- Ar132d • Scorpion, sujet jeune, c.l.
- Ar133e • Scorpion, coupe avec glandes à venin
- Ar134e Scorpion, coupe montrant le poumon
- Ar138g Scorpion, sujet jeune, entier \*
- Ar1545g Amblyomma americanum, tique, s.e. \*\*
- Ar141g Argas persicus, tique, parasite transmettant des spirochètes, sujet adulte, entier \*
- Ar142f Argas persicus, larve à 6 pattes, entière
- Ar154s Boophilus annulatus, tique, propageant la fièvre de Texas, s.e. \*\*
- Ar156g Dermacentor andersoni, tique propageant la fièvre tachetée, s.e. \*
- Ar157e Dermacentor andersoni, œufs, s.e. \*
- Ar158f Dermacentor andersoni, larve, s.e. \*
- Ar155s Dermacentor variabilis, tique du chien, s.e. \*
- Ar146g • Ixodes, tique, adulte, s.e. \*
- Ar147e Ixodes, tique, larve entière
- Ar144g Ornithodoros moubata, propageant la fièvre récurrente, adulte \*
- Ar1442g Ornithodoros, larve à 6 pattes, entière \*
- Ar159s • Rhipicephalus sanguineus, tique du chien, s.e. \*\*
- Ar153e • Demodex folliculorum, peau avec parasites, c.l.
- Ar145d • Dermanyssus gallinae, tique de poule, s.e.
- Ar1513d Hydrachnes, mites d'eau douce, s.e.
- Ar1512d Photia, mites de la bêtes, s.e..
- Ar148e • Sarcoptes scabiei (Acarus siro), parasite de la gale, coupe de peau infestée
- Ar149f Sarcoptes scabiei, sujet adulte, entier \*
- Ar1517g Syringophilus, mite de la volaille, s.e.
- Ar150c • Tyroglyphus farinae, mite de la farine, s.e..
- Ar151c Tyrolichus, mite de la fromage, s.e.
- Ar1515e • Varroa (Acarus siro), mite de la abeilles, s.e.
- Ar161g Pseudoscorpion, s.e. \*
- Ar180s Limulus, larve, s.e.; la larve est intéressante pour l'étude de la phylogénie \*



## MYRIAPODA - MYRIAPODES

- My111d Scolopendra, grand myriapode, c.t. de segment  
 My112e Scolopendra, tête avec des glandes à venin, c.t.  
 My115f Lithobius, tête avec crochet à venin, s.e. \*  
 My117e Lithobius, centipede, segment, s.e.  
 My118e Lithobius, tête, c.t.  
 My119d Lithobius, c.t. de corps, région moyenne  
 My211d Julus, millipede, c.t. de corps, région moyenne  
 My212e Julus, diplosegment avec les extrémités, s.e.  
 My213f Julus, tête avec pièces buccales, s.e. \*  
 My218d Glomeris, c. l. sagittale de l'animal entier \*  
 My220g Diplopode, c. l. sagittale, montrant la région de prolifération (anamorphose) \*  
 My230d Symphyla, sujet entier \*\*

## INSECTA - INSECTES

### I. Microscopie anatomique et Histologie

#### Tête et pièces buccales, sujets entières

- In111d • Musca domestica, mouche commune, tête et pièces buccales suceuses avec trompe, s.e.  
 In112e • Pieris brassicae, papillon, tête et pièces buccales suceuses avec trompe, s.e.  
 In1123d Pieris brassicae, papillon, tête et pièces buccales de la larve, s.e.  
 In121d Bombyx mori, bombyx du mûrier, pièces buccales d'adulte, s.e.  
 In1213d • Bombyx mori, bombyx du mûrier, pièces buccales de la larve, s.e.  
 In122d • Apis mellifica, abeille, pièces buccales de l'ouvrière, s.e.  
 In123e Apis mellifica, pièces buccales du faux-bourdon, s.e.  
 In114e Vespa, guêpe, pièces buccales broyeuses, s.e.  
 In118f • Periplaneta ou Blatta, blatte, pièces buccales disséquées, s.e.  
 In115f • Carabus, coléoptère, pièces buccales, disséquées, s.e. \*  
 In116f Melolontha, hanneton, pièces buccales disséquées, s.e.  
 In113e Gomphocerus, sauterelle, pièces buccales, s.e.  
 In1132g Gomphocerus, sauterelle, pièces buccales, disséquées, s.e.  
 In119d • Formica, fourmi, pièces buccales, s.e.  
 In1193e Leptinotarsa, bête du Colorado, pièces buccales broyeuses, s.e.  
 In131e Curculionidae spec., tête et pièces buccales, s.e.  
 In117e • Pyrrhocoris, hémiptère, tête et pièces buccales (suceur labial), s.e.  
 In120e Stomoxys calcitrans, pièces buccales et stylets, s.e.  
 In1201e Tabanus bovinus, taon, pièces buccales et stylets, s.e.  
 In1234d Volucella, diptère, tête et pièces buccales, s.e.  
 In124f • Anopheles, anophèle, tête et pièces buccales du mâle, s.e.  
 In125f • Anopheles, tête et pièces buccales de la femelle, s.e.  
 In126e • Culex pipiens, moustique, tête et pièces buccales du mâle, s.e.  
 In127e • Culex pipiens, tête et pièces buccales de la femelle, s.e.  
 In128h Culex pipiens, pièces buccales de la femelle, disséquées, s.e. \*  
 In130f Odonata spec., libellule, pièces buccales de la larve, s.e.  
 In132e Lymantria, tête et pièces buccales de la larve, s.e.  
 In1322f Coléoptère aquatique, tête et pièces buccales de la larve (digestion extra intestinale), s.e. \*  
 In1323e Simulium, moustique, tête et pièces buccales de la larve, s.e.

#### Tête et pièces buccales, coupes

- In273e Carausius, tête avec cerveau et appareil buccale, c.l. sagittale.  
 In274e Apis mellifica, abeille, tête et pièces buccales de l'ouvrière, c.l. sagittale.  
 In141e Musca domestica, mouche commune, pièces buccales, c.t. du suceur (trompe)  
 In148e Apis mellifica, abeille, pièces buccales de l'ouvrière, c.t.  
 In143e Pieris brassicae, papillon, pièces buccales, c.t.  
 In149g Culex pipiens, moustique, pièces buccales de la femelle, c.t. montrant mandibules, labre, maxilles, labium  
 In142e Tabanus bovinus, taon, pièces buccales, c.t.  
 In144e Hemiptera spec., pièces buccales, c.t.  
 In145g Aphaniptera spec., puceron, pièces buccales et stylets, c.t.

#### Antennes

- In213b • Pieris brassicae, papillon, antenne en forme de massue, s.e.  
 In206b • Carabus, coléoptère, antenne filiforme, s.e.  
 In203b • Periplaneta ou Blatta, blatte, antenne sétiforme, s.e.  
 In204b Tenebrio molitor, ténébrion, antenne filiforme, s.e.  
 In214b • Bombyx mori, bombyx du mûrier, antenne plumeuse, s.e.  
 In208b Chironomus, antenne plumeuse du mâle, s.e.  
 In205b Elateridae spec., antenne denticulée, s.e. \*  
 In207b Curculionidae spec., antenne genouillée, s.e.. \*  
 In209c Brachycera spec., antenne pour mesurer la vitesse \*  
 In211b • Melolontha, hanneton, antenne avec organes sensoriels, s.e.  
 In212b • Apis mellifica, abeille, antenne avec organes sensoriels, s.e.  
 In2125b Musca domestica, mouche, antenne, s.e.  
 In2142c Antennes de papillon (en forme de massue) et de bombyx du mûrier (plumeuse) s.e.  
 In2146u Antennes d'insectes, cinq types divers, pour la comparaison, s.e.

#### Pattes

- In217b • Musca domestica, mouche, patte avec ventouses, s.e.  
 In219b • Pieris brassicae, papillon, patte, s.e.  
 In220c Melolontha, hanneton, patte fouisseuse, s.e.  
 In215b • Apis mellifica, abeille, patte antérieure avec brosse, s.e.  
 In2152b Apis mellifica, patte moyenne, s.e.  
 In216b • Apis mellifica, patte avec peigne et corbeille, s.e.  
 In2161b Apis mellifica, patte postérieure du faux-bourdon, s.e.  
 In2162f Apis mellifica, patte antérieure, moyenne et postérieure de l'ouvrière pour comparaison, s.e.  
 In218b • Bombyx mori, ver à soie, patte abdominale, s.e.  
 In223c Gomphocerus, sauterelle, patte avec organe de stridulation, s.e.  
 In224d Ensiphera spec., patte antérieure avec organe tympanal, s.e.  
 In225d Mantis religiosa, mante religieuse, patte ravisseuse de larve, s.e. \*  
 In226b Insecte limicole, patte nageuse, s.e.

#### Ailes

- In235b • Musca domestica, mouche, aile, s.e.  
 In2351d Musca domestica, mouche, aile et haltère, s.e.  
 In231c • Apis mellifica, abeille, ailes antérieures et postérieures, s.e.  
 In234b • Culex pipiens, moustique, aile, s.e.  
 In2342b Anopheles, anophèle, aile, s.e.  
 In228c Chrysopa perla, chrysops, aile, s.e. \*  
 In227c Zygoptère spec., aile, s.e.  
 In229e Periplaneta, blatte, ailes chitineuses (au-dessus) et ailes membranées (au-dessous), s.e.  
 In2292d Gomphocerus, sauterelle, ailes antérieures et postérieures, s.e.  
 In2352d Forficula, perce-oreille, ailes antérieures et postérieures, s.e.  
 In230d Ensifera spec., aile avec organe de stridulation, s.e. \*  
 In232b • Papillon, aile, disposition des écailles, s.e.  
 In233b Papillon, écailles des ailes, isolées, s.e.  
 In2332e Morpho sp., papillon de Brésil, ailes avec écailles opaques, s.e.  
 In2334d Lepisma, lépisme, écailles du corps, s.e.

#### Cytologie

- In238f • Carausius, sauterelle, testicule montrant la spermatogenèse (mitose et méiose), c.t.  
 In245f • Chromosomes géants, glande salivaire de chironome, s.e.. Coloration de Feulgen \*  
 In2451e Chironomus, thorax de la larve avec chromosomes géants, c.t.  
 In246f Fibres musculaires striées dissociées d'insecte, s.e.  
 In247e • Muscles striés d'insecte, en coupe

#### Organes de métabolisme

- In241b • Trachée d'insecte, s.e.  
 In242c • Stigmate d'insecte, s.e.  
 In248d Ephemera, éphémère, branchies trachéenne de la larve, s.e.  
 In298c Odonata, libellule, branchies trachéenne de la larve, s.e.  
 In285d Odonata, libellule, rectum de larve avec organe respiratoire, c.t.  
 In2852d Culex pipiens, mosquito, trachées de la nymphe, s.e.  
 In2411h Trachée dans l'intestin d'insecte, préparation et coloration pour démonstration de la ramification \*



- In289e Carausius, sauterelle, frottis de sang  
 In254d • Apis mellifica, ouvrière, abdomen, c.t.  
 In270d • Carausius, abdomen, c.t.  
 In263d Culex pipiens, abdomen, c.t.  
 In266d Drosophila, abdomen, c.t.  
 In281d Carabus, estomac musculaire, c.t.  
 In2813e Locusta, sauterelle, estomac, s.e.  
 In239e • Periplaneta, blatte, estomac, c.t.  
 In282d Periplaneta, blatte, chyle et intestin avec tubes de Malpighi, c.l.  
 In284d • Periplaneta, rectum avec ampoules, c.t.  
 In287g Periplaneta, corps adipeux, coloration avec acide osmique, coupe  
 In288d Periplaneta, corps adipeux, coupe montrant cristalline acide urique  
 In283d Appendices de chyle et tubes de Malpighi, c.t.

### Système reproductif

- In255e • Apis mellifica, faux-bourdon, abdomen avec testicule, c.t.  
 In256e • Apis mellifica, reine, abdomen avec ovaires, c.t.  
 In236e Melolontha, hanneton, ovaire, c.t.  
 In2365e Carausius, sauterelle, abdomen avec ovaire, c.t.  
 In2367g Aedeagus de bête, organe mâle de copulation, s.e.  
 In290f Ovaire d'insecte montrant l'ovariole paniculée c.l.  
 In291f Ovaire d'insecte montrant l'ovariole télotrophique, c.l.  
 In292f Ovaire d'insecte montrant l'ovariole polytrophique, c.l.  
 In299e Oviscapte (tarière) de sauterelle, c.t.  
 In2912e Métamorphose incomplète (Insectes hémimétaboles): larve  
 In2913e Métamorphose incomplète (Insectes hémimétaboles): imago  
 In2914d Métamorphose complète (Insectes holométaboles): larve  
 In2915d Métamorphose complète (Insectes holométaboles): pupa  
 In2916d Métamorphose complète (Insectes holométaboles): imago

### Système nerveux et organes sensorielles

- In243c Cornée d'un œil à facettes d'insecte, s.e.  
 In2434c • Apis mellifica, abeille, cornée d'un œil à facettes, s.e.  
 In251e • Apis mellifica, œil à facettes et cerveau de l'ouvrière, c.t.  
 In252f Apis mellifica, faux-bourdon, tête et yeux, c.t. \*  
 In253f Apis mellifica, reine, tête et yeux, c.t. \*  
 In249d Apis mellifica, abeille, ocelles, s.e.  
 In2492e Ocelles d'insecte, coupe  
 In275e Apis mellifica, abeille, œil à facettes, c.l. tangent. des ommatidies  
 In261e Culex pipiens, moustique, tête avec yeux et cerveau, c.t.  
 In265e Drosophila, tête avec yeux et cerveau, c.t.  
 In2675e Musca domestica, mouche, coupe de la tête montrant l'œil composé  
 In276f Cloeon ou Baetis spec., éphémère, tête et yeux, c.t.  
 In2765f Melolontha, hanneton, coupe de la tête montrant l'œil composé  
 In271e Carausius ou Gryllus, c.l. frontale du cerveau montrant tout détail  
 In272e Vespa vulgaris, guêpe, c.l. frontale du cerveau montrant tout détail  
 In277h Carausius, coupe du cerveau montrant pars intercerebralis avec cellules neurosécrétoires  
 In278h Carausius, coupe de corpora cardiaca, organes de la sécrétion nerveuse  
 In2781h Carausius, corpora allata, glandes neuroendocrines, c.t.  
 In2784f Antenne d'insecte avec organes sensoriels, c.t.  
 In279k Organe de Johnston, coupe du organe auditif \*  
 In294f Phausis, organe luminescent, coupe  
 In295e Cicada spec., cigale, organe de stridulation, coupe \*  
 In2833f Système nerveux chez les insectes, sans centralisation. Larve, c.l. sagittale. \*  
 In2834f Système nerveux chez les insectes, moyenne centralisation. Adulte, c.l. sagittale. \*  
 In2835f Système nerveux chez les insectes, haute centralisation. Adulte, c.l. sagittale. \*

### Diverses

- In244d • Aiguillon et poche à venin d'abeille, s.e.  
 In260c • Apis mellifica, plaque cirière, s.e.  
 In237d • Bombyx mori, ver à soie, abdomen avec filières, c.t.  
 In2943d Forficula, perce-oreille, pinces de sujet mâle, s.e.  
 In258d • Apis mellifica, abeille, larve, c. s.  
 In259e • Apis mellifica, abeille, pupa, c. s.  
 In262d Culex pipiens, thorax, c.t.  
 In267f • Drosophile en c.l.; organes internes d'un insecte  
 In2993e Chenille d'insecte, coupe d'insecte infesté avec larves microgaster

## II. Préparation de Sujets entiers

### Apterygota et Ephemeroidea

- In348d • Collembola, collembole, adulte, s.e.  
 In3985d • Podura, adulte, s.e.  
 In3986d Thysanura sp., adulte, s.e.  
 In353e • Caenis, éphémère, adulte, s.e.  
 In354e Caenis, éphémère, subimago, s.e.  
 In355d Caenis, éphémère, larve, sujet entier



### Diptera

- In321f • Culex pipiens, moustique, mâle, sujet entier  
 In322f • Culex pipiens, moustique, femelle, sujet entier  
 In323d • Culex pipiens, pupa, sujet entier  
 In324d • Culex pipiens, larve, sujet entier  
 In3242d • Culex pipiens, œufs, sujet entier  
 In316g • Anopheles, anophèle, transmetteur de la malaria, mâle, sujet entier  
 In317g • Anopheles, femelle, sujet entier  
 In318f • Anopheles, pupa, sujet entier  
 In319f • Anopheles, larve, sujet entier  
 In3192e • Anopheles, œufs, sujet entier  
 In320g Les deux larves d'Anopheles et de Culex pipiens pour comparaison, sujet entier  
 In311d • Drosophila, mouche des fruits, mâle, sujet entier  
 In312d • Drosophila, mouche des fruits, femelle, sujet entier  
 In313d Drosophila, larve, sujet entier  
 In314d Drosophila, pupa, sujet entier  
 In387e Chironomus, chironome, adulte, sujet entier  
 In340d • Chironomus, chironome, larve, sujet entier  
 In341d Corethra, moucheron, larve, sujet entier  
 In389f Aedes, moustique, mâle, sujet entier  
 In390f Aedes, moustique, femelle, sujet entier  
 In391e Aedes, pupa, sujet entier  
 In392e Aedes, larve, sujet entier  
 In393e Aedes, œufs, sujet entier.  
 In397e Musca domestica, mouche commune, larve, sujet entier  
 In398d Musca domestica, œufs, sujet entier.  
 In394f Phlebotomus, moustique, transmetteur de la leishmaniose, mâle, sujet entier \*  
 In395f Phlebotomus, moustique, femelle, sujet entier \*  
 In3956f Culicoides, petit moustiques, sujet entier  
 In3957f Gasterophilus intestinalis, taon, œufs, sujet entier  
 In3294f Lipoptena, hippoboscidé, adulte, sujet entier \*

### Aphaniptera

- In3341e • Ctenocephalus canis, mâle ou femelle, sujet entier  
 In333e Ctenocephalus canis, puce du chien, adulte mâle, sujet entier  
 In334e Ctenocephalus canis, adulte femelle, sujet entier  
 In3365g Pulex irritans, puce de l'homme, adulte mâle, sujet entier  
 In3366g Pulex irritans, adulte femelle, sujet entier  
 In335g Xenopsylla cheopis, puce du rat (transmetteur de la peste), mâle  
 In336g Xenopsylla cheopis, femelle, sujet entier  
 In337e Nosophyllus fasciatus, puce du rat, adulte, sujet entier  
 In343e Ceratophyllus gallinulae, puce de poule, adulte, sujet entier

### Blattoidea et Hymenoptera

- In365g Mantis religiosa, mante religieuse, larve, sujet entier \*  
 In367f Isoptera sp., termites, ouvrière, sujet entier \*  
 In368f Isoptera sp., termites, soldat, , sujet entier \*  
 In315d • Lasius, fourmi, ouvrière, sujet entier  
 In3151e Lasius, mâle ailé, sujet entier  
 In3152d Lasius, femelle ailée, sujet entier  
 In385e Chalcididae, adulte, sujet entier \*

### Anoplura et Mallophaga

- In325f • Pediculus humanus, pou, mâle ou femelle, sujet entier  
 In3252f Pediculus humanus capitis, pou de tête, adulte, sujet entier  
 In3254f Pediculus humanus capitis, nymphe, sujet entier  
 In3255e Pediculus humanus capitis, œufs, sujet entier  
 In3256f Pediculus humanus corporis, pou du corps, adulte, sujet entier  
 In3258f Pediculus humanus corporis, nymphe, sujet entier  
 In3259e Pediculus humanus corporis, œufs, sujet entier  
 In326g Phthirus pubis, pou de pubis, adulte, sujet entier



- In3262s Phthirus pubis, œufs, sujet entier  
 In327e • Œufs de pou, combinés avec les cheveux, sujet entier  
 In328f • Haematopinus suis, pou du porc, sujet entier  
 In3282e Haematopinus suis, œufs, sujet entier  
 In3284f Haematopinus eurysternus, pou du bétail, adulte, sujet entier  
 In329f Haematopinus piliferus, pou du chien, sujet entier  
 In3271g Bovicola, pou du bœuf, sujet entier \*  
 In3275f Trichodectes canis, parasite du chien, sujet entier  
 In3272f • Lipeurus variabilis, adulte, sujet entier  
 In3273f Lipeurus caponis, adulte, sujet entier  
 In3274f • Menopon gallinae, parasite de la poule, sujet entier  
 In3276f Melophagus ovinus, parasite sans ailes du mouton, sujet entier \*  
 In381e Phthiraptera, pou du rat, diverses espèces, sujet entier \*

### Heteroptera et Homoptera

- In330f • Cimex lectularius, punaise des lits, adulte, sujet entier  
 In374d Naucoridae sp., pléocoptères, adulte, sujet entier  
 In375d Capsidae sp., puceron, adulte, sujet entier  
 In339c • Aphidae spec., pucerons adultes, sujet entier  
 In3394e Phylloxera sp., phylloxéra de vigne, adulte, sujet entier  
 In377d Psylla, puceron, adulte, sujet entier

### Diverses

- In338d Lepidoptera spec., chenille, sujet jeune.  
 In356d Nemura sp., pléocoptères, adulte, sujet entier  
 In357d Nemura sp., larve, sujet entier  
 In361g Embia sp., adulte, sujet entier \*  
 In362e Forficula auricularia, perce-oreille, adulte, sujet entier  
 In371d Thysanoptera, thrips, adulte, sujet entier

## MOLLUSCA - MOLLUSQUES

- Mo111e • Chiton, mollusque primitif, région moyenne, c.t.  
 Mo112e Chiton, entière, c.l. sagittale  
 Mo116e • Mya arenaria, moule, c.t. du sujet jeune  
 Mo117d Mya arenaria, foie, c.t.  
 Mo119d • Mya arenaria, branchies, c.t. et c.l.  
 Mo120d Mya arenaria, intestin, c.t.  
 Mo121d Mya arenaria, muscle, c.l.  
 Mo122d Mya arenaria, siphon c.t.  
 Mo123f Mya arenaria, estomac c.t.. \*  
 Mo191d Anodonta, moule, c.t. du sujet jeune  
 Mo192d Anodonta, branchies, sujet entier  
 Mo193d Anodonta, branchies, c.l.  
 Mo194d Anodonta, région intestinale c.t.  
 Mo195d Anodonta, foie, c.t.  
 Mo196d Anodonta, glochide larve, sujet entier  
 Mo1131e Embryologie des mollusques testacés (Lamellibranchiata), œufs fertilisés et non fertilisés, sujet entier \*\*  
 Mo1133e Embryologie des mollusques testacés, zygote, stade à deux et quatre cellules s.e. \*  
 Mo1135s Embryologie des mollusques testacés, zygote, stade précoce, corpuscule globaire, lobation globaire, segmentation spirale \*  
 Mo1137e Embryologie des mollusques testacés, blastula, s.e. \*  
 Mo1138e Embryologie des mollusques testacés, gastrula, s.e. \*  
 Mo1139f Embryologie des mollusques testacés, trochophore, s.e. \*  
 Mo1141s Embryologie des mollusques testacés, développement de la véligère larve, plusieurs stades s.e. \*  
 Mo1143e Embryologie des mollusques testacés, larve véligère adulte, s.e. \*  
 Mo115e • Embryologie des mollusques testacés, glochide (larve), s.e.  
 Mo123e Pisidium, petite moule limnocolle, coupe montrant embryons  
 Mo131e • Pecten opercularis, bord du manteau avec yeux, c.t.  
 Mo185f Haliotis, limace marine, simple type d'œil camériste, c.l. \*  
 Mo187e Patella, simple type d'œil, c.l.  
 Mo211f Patella, trochophore, s.e.  
 Mo212e Crepidula, limace marine, larve véligère, s.e. \*  
 Mo125f • Alloteuthis subulata, seiche, sujet jeune entier \* . \*

- Mo130e Alloteuthis subulata, abdomen d'un jeune animal, c.t..  
 Mo1301f • Alloteuthis subulata, jeune animal, s.e., c.l. sagittale  
 Mo126e Alloteuthis subulata, œil, c.l.  
 Mo127d Alloteuthis subulata, tentacules, c.t.  
 Mo1275f Alloteuthis, cœur et poche du noir c.l.  
 Mo128d Alloteuthis subulata, nageoires, c.t.  
 Mo129d Alloteuthis subulata, queue, c.t.  
 Mo141c • Sepia officinalis, poulpe, peau avec chromatophores, pièce du peau  
 Mo142c Sepia officinalis, peau avec chromatophores, c.l.  
 Mo143f Sepia officinalis, coupe du ganglion, montrant fibre géante  
 Mo132d • Octopus, poulpe, ventouse, c.t.  
 Mo151d • Limace, région médiane, sujet jeune, c.t.  
 Mo1515e Limace, région médiane, sujet jeune, c.l. sagittale  
 Mo152d • Limace, tête avec radula, c.l. sagittale  
 Mo153e Limace, radula, s.e.  
 Mo161c • Helix pomatia, escargot, pied, c. s.  
 Mo162c Helix pomatia, manteau, c. s.  
 Mo163c Helix pomatia, œsophage, c.t.  
 Mo164c • Helix pomatia, estomac avec glandes, c.t.  
 Mo165c Helix pomatia, intestin, c.t.  
 Mo166c • Helix pomatia, foie, c.t.  
 Mo167d Helix pomatia, glande à albumine, c.t.  
 Mo168d • Helix pomatia, glande hermaphrodite, c.t.  
 Mo169d Helix pomatia, spermoviduct, c.t.  
 Mo170d Helix pomatia, sac du dard et glandes  
 Mo171c Helix pomatia, pénis, c.t.  
 Mo172c Helix pomatia, flagellum, c.t.  
 Mo173d • Helix pomatia, rein (estival) et cœur, c.t.  
 Mo174d Helix pomatia, rein (hivernal) et cœur, c.t.  
 Mo175c • Helix pomatia, poumon, c.t.  
 Mo176f • Helix pomatia, tentacule avec œil, c.l. \*

## ECHINODERMATA - ÉCHINODERMES

- Ec111f • Asterias, Étoile de mer, jeune sujet entier \*  
 Ec113d • Asterias, bras avec diverticules digestifs et pédicellaires  
 Ec114e Asterias, sujet jeune, coupe horizontale  
 Ec115e Asterias, sujet jeune, coupe sagittale  
 Ec117d • Asterias, pédicellaires, s.e.  
 Ec251d Asterias, c.t. d'ovaire montrant des œufs en différents stades de développement  
 Ec252d Asterias, c.t. du testicule montrant le développement du sperme  
 Ec254e Asterias, sperme, frottis  
 Ec116e • Asterias, larve bipenné, s.e. \*  
 Ec1162f Asterias, larve brachéolaire, s.e. \*  
 Ec101h Asterina gibbosa, petite étoile de mer, s.e.  
 Ec102e Asterina gibbosa stades du développement, s.e.  
 Ec103e Asterina gibbosa, petite étoile de mer, c.l. horizontale avec les gonades  
 Ec131d Ophiura, étoile de mer serpentiforme, bras, c.t.  
 Ec132d Ophiura, base du bras, coupe montrant les gonades  
 Ec133d Ophiura, coupe horizontale du disque  
 Ec137f Ophiura, larve, s.e. \*  
 Ec118d • Echinus, oursin, sujet jeune, c.l. sagittale  
 Ec1183d Echinus, oursin, sujet jeune, c.l. radiale  
 Ec1184d Echinus, oursin, pédicellaires, s.e.  
 Ec1186f Echinus, oursin, épine c.t. \*  
 Ec121e Espèces d'Asterioidea, larves métamorphosantes, s.e.  
 Ec141d Cucumaria, petite holothurie, c.t. montrant structures typiques  
 Ec145e Holothurioidea spec., sclérites, s.e.  
 Ec147f Holothurioidea spec., larve, s.e. \*  
 Ec201d • Psammechinus miliaris, oursin de mer, œufs non fécondés, s.e.  
 Ec202d • Psammechinus miliaris, œufs fécondés, s.e.  
 Ec203d • Psammechinus miliaris, stade montrant 2 cellules  
 Ec204d • Psammechinus miliaris, stade montrant 4 cellules  
 Ec205d • Psammechinus miliaris, stade montrant 8 cellules  
 Ec206d • Psammechinus miliaris, stade montrant 16 cellules  
 Ec207d • Psammechinus miliaris, stade montrant 32 cellules  
 Ec208d • Psammechinus miliaris, morula  
 Ec209d • Psammechinus miliaris, blastula  
 Ec210d • Psammechinus miliaris, blastula, début de la gastrulation  
 Ec211d • Psammechinus miliaris, blastula, gastrulation avancée  
 Ec212d • Psammechinus miliaris, pluteus (larve)  
 Ec213e Psammechinus miliaris, plusieurs stades de développement, s.e.  
 Ec255e Asterias, stade de la vésicule germinative, s.e.  
 Ec256e Asterias, œufs non fécondés  
 Ec257e Asterias, œufs fécondés, avec la zygote et corpuscules polaires  
 Ec258e Asterias, stade montrant 2 cellules  
 Ec259e Asterias, stade montrant 4 cellules  
 Ec260e Asterias, stade montrant 8 cellules  
 Ec261e Asterias, stade montrant 16 cellules  
 Ec263e Asterias, stade montrant 32 cellules  
 Ec264e Asterias, stade montrant 64 cellules  
 Ec267e Asterias, blastula précoce et blastula avancée  
 Ec268e Asterias, gastrula précoce et gastrula avancée  
 Ec271f Asterias, larve bipennée précoce  
 Ec272f Asterias, larve bipennée avancée  
 Ec276s Asterias, larve brachéolaire  
 Ec278s Asterias, étoile de mer, jeune

## ENTEROPNEUSTA - ENTÉROPNEUSTES

Ep111g	Balanoglossus, c. s. du prosoma et du mesosoma *
Ep114f	Balanoglossus, région des branchies, c.t. *
Ep115f	Balanoglossus, région des gonades, c.t. *
Ep116f	Balanoglossus, région de la foie, c.t. *
Ep117f	Balanoglossus, région abdominal, c.t. *
Ep130f	Balanoglossus, larve, s.e. *

## TUNICATA - TUNICATES

Tu105g	Ascidia, ascidie, têtard nageant, s.e. *
Tu106g	Ascidia, métamorphose précoce, s.e. *
Tu107g	Ascidia, métamorphose avancée, s.e. *
Tu111d	Ascidia, adulte, c.t. de la région des branchies
Tu112d	Ascidia, adulte, c.t. de la région d'estomac
Tu121e	Ascidia, c.t. du manteau, montrant cellulose animale
Tu114e	Clavelina, tunicate, sujet petit, c.t.
Tu1142d	Clavelina, tunicate, branchies, c.t.
Tu1143d	Clavelina, tunicate, estomac, c.t.
Tu116f	Botryllus schlosseri, tunicate, colonie, s.e.
Tu117d	Botryllus, synascidie, c.t. d'une colonie
Tu118e	Botryllus, coupe mince, montrant les détails
Tu119e	Botryllus, coupe épaisse, donnant une vue d'ensemble
Tu211f	Salpa, sujet végétatif, entier *
Tu212f	Salpa, sujet génératif, entier *
Tu131e	Kovalevskaja ou Oikopleura (classe Appendicularia), s.e.
Tu214f	Phoronis, Actinotrocha larve, s.e.

## ACRANIA - PROCHORDÉS

Ac101f	• Branchiostoma lanceolatum (Amphioxus), sujet entier, une vue d'ensemble
Ac103d	• Branchiostoma, région moyenne avec fentes branchiales, cæcum hépatique et gonades, c.t.
Ac105d	• Branchiostoma, testicules, c.t.
Ac106d	• Branchiostoma, ovaires, c.t.
Ac107d	Branchiostoma, région buccale, c.t.
Ac108d	Branchiostoma, œsophage antérieur avec chorde, c.t.
Ac109d	Branchiostoma, œsophage postérieur avec cæcum hépatique, c.t.
Ac110d	• Branchiostoma, région d'intestin, c.t.
Ac111d	Branchiostoma, queue, c.t.
Ac113d	Branchiostoma, c.l. sagittale de la région moyenne du corps
Ac1135e	Branchiostoma, c.l. frontale montrant moelle épinière
Ac1142d	Branchiostoma, coupe avec cellules pigmentées et cellules de la vue
Ac1143f	Branchiostoma, c.l. sagittale de la région de la tête.
Ac115f	Branchiostoma, jeune larve, sujet entier *
Ac117s	Branchiostoma, lame composée, montrant c. t de la région buccale, du pharynx, d'intestin et de la queue
Ac151g	Branchiostoma, embryologie, œufs non fécondés, s.e. *
Ac156k	Branchiostoma, embryologie, deux à seize cellules, s.e. *
Ac159g	Branchiostoma, embryologie, 32 et 64 cellules, s.e. *
Ac162g	Branchiostoma, embryologie, blastula, s.e. *
Ac164g	Branchiostoma, embryologie, gastrula, s.e. *
Ac166g	Branchiostoma, embryologie, larve précoce, s.e. *
Ac168g	Branchiostoma, embryologie, larve avancée, s.e. *

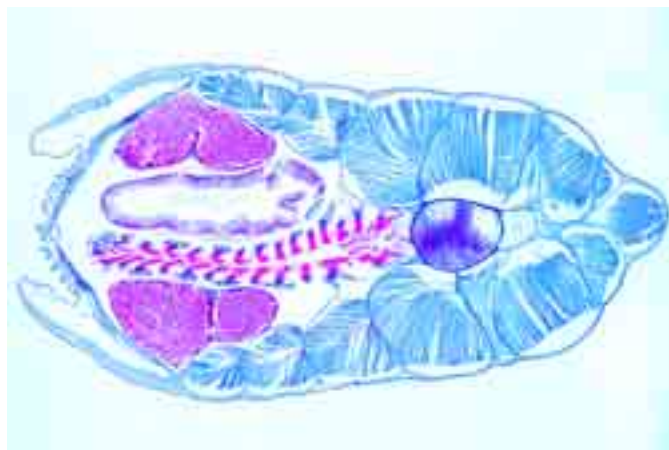
## PISCES - POISSONS

### Cyclostomata

Pi1271h	Ammocoetes, larve de la lamproie, petit sujet entier *
Pi1273f	Ammocoetes, région de la tête, c.t.
Pi1274f	Ammocoetes, région pharyngienne, c.t.
Pi1275f	Ammocoetes, région abdominale, c.t.
Pi1276f	Ammocoetes, région de la queue
Pi120d	Petromyzon, lamproie, tête, c. t
Pi121d	• Petromyzon, région des branchies, c.t.
Pi122d	• Petromyzon, région abdominale, c.t.
Pi123c	Petromyzon, région de la queue, c.t.
Pi124g	Petromyzon, région de la tête et des branchies, c.l. frontale
Pi1252f	Petromyzon, notochorde, c.l.
Pi1253f	Petromyzon, notochorde, c.t.
Pi1254c	Petromyzon, intestin, c.t.
Pi1255d	Petromyzon, région buccale, c.t.
Pi1256c	Petromyzon, rein c.t.
Pi1257d	Petromyzon, ovaire c.t.
Pi1258f	Petromyzon, cerveau c.t.
Pi1259d	Petromyzon, moelle épinière et notochorde, c.t.

### Selachii

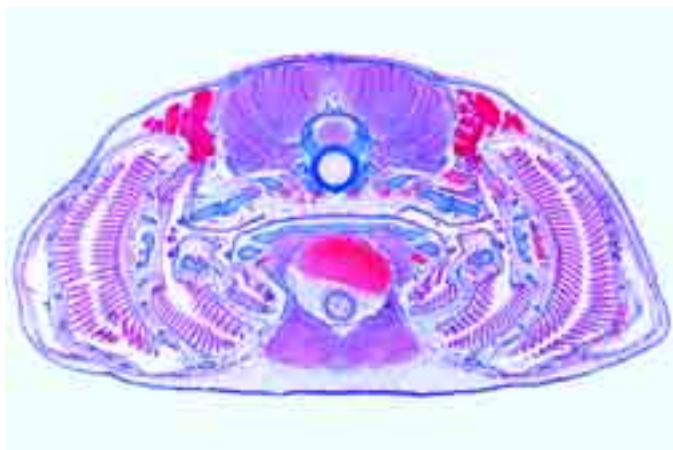
Pi109g	Scyllium, squal, sujet jeune, c.l. frontale de la région de la tête et des branchies *
Pi1095f	• Scyllium, c.t. de la région de la tête
Pi110f	• Scyllium, arc branchial, c.t.
Pi111f	• Scyllium, c. t de la région du thorax et des branchies



Pi112f	• Scyllium, c.t. au niveau de l'abdomen, avec intestin, foie et estomac
Pi113d	Scyllium, nageoire, c.t.
Pi114d	Scyllium, queue, c.t.
Pi115d	• Scyllium, peau avec écailles placoides, c.t.
Pi1152f	Scyllium, peau avec écailles placoides, s.e.
Pi1153f	Scyllium, maxillaire montrant les dents, c.t.
Pi1154f	Scyllium, cerveau c.l.
Pi1155f	Scyllium, muqueuse olfactive, c.t.
Pi1156f	Scyllium, organe de la ligne latérale, c.t.
Pi116d	Scyllium, cartilage, c.t.
Pi117e	• Scyllium, corps vertébral, avec moelle épinière et notochorde, c.t.
Pi118g	Scyllium, cœur, c. s. *
Pi119g	Scyllium, cerveau, c. s. *
Pi169e	Torpedo marmorata, torpille, organe électrique, c.t.

### Teleostei

Pi130g	Petit poisson d'eau douce, c. s. du petit sujet entier
Pi131d	Petit poisson d'eau douce, c.t. de la région buccale
Pi132e	• Petit poisson d'eau douce, tête avec yeux, c.t.
Pi1325f	• Petit poisson d'eau douce, tête avec cerveau, c.l. sagittale
Pi133d	• Petit poisson d'eau douce, région des branchies, c.t.
Pi134d	• Petit poisson d'eau douce, région du cœur, c.t.
Pi135d	Petit poisson d'eau douce, région des reins, du foie et de l'intestin, trois c.t.
Pi136d	• Petit poisson d'eau douce, région des gonades, c.t.
Pi137c	Petit poisson d'eau douce, région de la queue, c.t.
Pi138f	Petit poisson d'eau douce, c.l. frontale de la tête et des branchies
Pi139f	Petit poisson d'eau douce, rétine adaptée à l'obscurité, c.t. de la tête
Pi1392f	Petit poisson d'eau douce, rétine adaptée à la clarté, c.t. de la tête
Pi140e	Poisson d'eau douce, c.l. frontale d'œil et de la rétine
Pi141f	Poisson d'eau douce, c. l. du cœur
Pi160c	• Cyprinus, carpe, branchies, c.t.
Pi157d	Cyprinus, cœur, c.l.
Pi162c	• Cyprinus, frottis de sang
Pi164d	Cyprinus, rein céphalique, c.t.
Pi155c	• Cyprinus, estomac, c.t.
Pi154c	• Cyprinus, intestin grêle, c.t.
Pi151c	Cyprinus, carpe, foie, c.t.
Pi156c	Cyprinus, pancréas, c.t.
Pi158c	Cyprinus, vessie natatoire, c.t.
Pi159c	Cyprinus, rein, c.t.
Pi153c	• Cyprinus, ovaire, c.t.
Pi152c	• Cyprinus, testicule, c.t.
Pi161d	Cyprinus, cerveau, c.t.
Pi163c	• Cyprinus, peau, c.t.
Pi165d	• Cyprinus, organe tactile, c.t.
Pi1652f	Cyprinus, organe de la ligne latérale, c.t. *
Pi1661d	Trutta, truite, cœur, c.l.
Pi1662c	Trutta, branchies, c.t.
Pi1663c	Trutta, rein, c.t.
Pi1664d	Trutta, testicule, c.t.
Pi1665e	Trutta, cerveau, c.l.
Pi1666f	Trutta, cerveau, c.l., imprégnation des cellules pyramidales par l'argent (Golgi)
Pi1667f	Trutta, cerveau, c.t. de trois régions différentes (bulbi olfactorii, tectum opticum, cervelet)
Pi1668d	Trutta, colonne vertébrale et moelle épinière c.t.
Pi1671c	Gasterosteus, épine de mer, branchies, sujet entier
Pi1672e	Gasterosteus, épine de mer, œil, c.l.
Pi1674c	Gadus, petit morue, cerveau, c.t.
Pi180d	Pleuronectes, flet, peau avec chromatophores, sujet entier
Pi181e	Syngnathus ou Hippocampus, hippocampe rein, c.t.
Pi182d	Poisson, coupe de la maxillaire, montrant les dents
Pi183f	Lebistes, poisson, organe équilibreur c.t.
Pi1265d	Anguilla vulgaris, anguille, sujet jeune c.t. de corps
Pi171b	• Écaille cycloïde



- Pi172b • Écaille ctenoïde  
 Pi173b • Écaille placôïde  
 Pi174e Écaille ganoïde  
 Pi175f Écailles des poissons: les trois types dans une même préparation

## AMPHIBIA - AMPHIBIENS

- Am1021d Amphiuma, anguille, frottis de sang  
 Am1022d Amphiuma, cœur, c.t.  
 Am1023d Amphiuma, artère, c.t.  
 Am1025d Amphiuma, poumon, c.t.  
 Am1027d Amphiuma, œsophage, c.t.  
 Am1028d Amphiuma, estomac, c.t.  
 Am1029d Amphiuma, intestin, c.t.  
 Am1031d Amphiuma, gros intestin, c.t.  
 Am1033d Amphiuma, foie, c.t.  
 Am1034d Amphiuma, rate, c.t.  
 Am1036d Amphiuma, ovaire, c.t.  
 Am1037d Amphiuma, oviducte, c.t.  
 Am1039d Amphiuma, testicule, c.t.  
 Am1041d Amphiuma, vessie urinaire, c.t.  
 Am1043d Amphiuma, peau, c.l.  
 Am121e • Larve de Salamandre, coupes en série montrant des divisions cellulaires (mitoses) dans la peau  
 Larve de Salamandre, tête avec yeux, c.t.  
 Am111e • Larve de Salamandre, branchies externes, c.t.  
 Am112d • Larve de Salamandre, thorax et pattes antérieures, c.t.  
 Am113d Larve de Salamandre, région abdominale, c.t.  
 Am114d Larve de Salamandre, queue, c.t.  
 Am115c Larve de Salamandre, queue, c.t.  
 Am141d • Salamandra, foie c.t. montrant des cellules animales simples: noyau, cytoplasme, membrane  
 Am146e • Salamandra, testicule, c.t. montrant stades de mitose ou méiose  
 Am131d • Salamandra, salamandre, peau avec glandes à venin, c.t.  
 Am132c Salamandra, poumon, c.t.  
 Am133c Salamandra, frottis de sang (Giemsa)  
 Am142c Salamandra, rein, c.t.  
 Am143c Salamandra, estomac, c.t.  
 Am144c Salamandra, intestin grêle, c.t.  
 Am145d Salamandra, thyroïde, c.t.  
 Am147d Salamandra, ovaire, c.t.  
 Am148d Salamandra, queue ou patte, c.t.  
 Am151e Triturus, triton, sujet adulte, œil, c.l.  
 Am152e Triturus, triton, larve, œil, c.l.  
 Am153e Necturus, axolotl, branchies c.t.  
 Am201d • Rana, grenouille, épithélium pavimenteux, s.e.  
 Am2012c Rana, grenouille, épithélium pavimenteux, cellules isolées  
 Am2013c Rana, épithélium prismatique, cellules isolées  
 Am202d • Rana, épithélium cilié, cavité buccale, c.t.  
 Am2021c Rana, épithélium cilié, cellules isolées  
 Am203d Rana, os décalcifié, c.t.  
 Am204d Rana, tête du fémur (os et cartilage), c.t.  
 Am205d • Rana, cartilage hyalin de sternum, c.t.  
 Am206d • Rana, muscle strié, c.l.  
 Am207d Rana, muscle strié, c.t.  
 Am208d Rana, muscle strié dissocié  
 Am2083c Rana, muscle cardiaque, fibres dissociées.  
 Am209e • Rana, fibres nerveuses dissociées (acide osmique)  
 Am210d Rana, tissu adipeux, c.t.  
 Am211d Rana, patte, c.t. (artères, veines, os, nerfs)  
 Am212c • Rana, poumon, c.t.  
 Am2123e • Rana, poumon, contracté et en expansion, c.t. sûr la même préparation  
 Am213d • Rana, cœur c.l.  
 Am214c • Rana, frottis de sang (Giemsa)  
 Am215c • Rana, langue c.t.  
 Am2155f Rana, tête avec langue c.l.  
 Am216c Rana, œsophage c.t.

- Am217c • Rana, estomac c.t.  
 Am218c • Rana, intestin grêle, c.t.  
 Am219c Rana, côlon c.t.  
 Am220c • Rana, foie c.t.  
 Am221c Rana, pancréas c.t.  
 Am222c Rana, vésicule biliaire c.t.  
 Am223c • Rana, rate c.t.  
 Am224e Rana, thyroïde c.t.  
 Am225c • Rana, rein c.t.  
 Am2252c Rana, rein c.l.  
 Am226c Rana, vessie c.t. avec muscles lisses  
 Am235d Rana, uretère, c.t.  
 Am227d • Rana, ovaire c.t. développement des œufs  
 Am228c Rana, trompe utérine c.t.  
 Am229d • Rana, testicule montrant spermatogenèse c.t.  
 Am2292d Rana, spermatozoïdes, frottis  
 Am2295d • Rana, nerf, c.t.  
 Am230c • Rana, cerveau, c.t.  
 Am2305e Rana, cerveau, c.t. de trois régions différentes  
 Am231f Rana, cerveau c.l. sagittale  
 Am2312f Rana, cerveau c.l. sagittale, imprégnation par l'argent (Golgi)  
 Am232d • Rana, moelle épinière c.t.  
 Am233d • Rana, rétine c.t.  
 Am2331g Rana, œil, c.l. sagittale \*  
 Am234c • Rana, peau avec glandes c.l.  
 Am2343f Rana, peau avec vaisseaux sanguins injectés  
 Am251f Rana, sujet jeune, région buccale, c.l.  
 Am252f Rana, sujet jeune, tête, c.t.  
 Am253f Rana, sujet jeune, thorax c.t.  
 Am254f Rana, sujet jeune, abdomen c.t.  
 Am261e • Rana, têtard, tête et yeux c.t.  
 Am262d • Rana, têtard, thorax avec branchies, c.t.  
 Am2622d • Rana, têtard, région pulmonaire, c.t.  
 Am263d • Rana, têtard, abdomen c.t.  
 Am265d • Rana, têtard, peau montrant les cellules pigmentaires  
 Am270g Rana, têtards en 5 différents stades de développement c.l. sagittale  
 Am291f Rana (Grenouille), embryologie, œufs en segmentation c.t.  
 Am292f Rana (Grenouille), embryologie, blastula c.t..  
 Am293f Rana (Grenouille), embryologie, gastrula c.t.  
 Am294f Rana (Grenouille), embryologie, neurula c.t.  
 Am295f Rana (Grenouille), embryologie, jeune larve c.t.

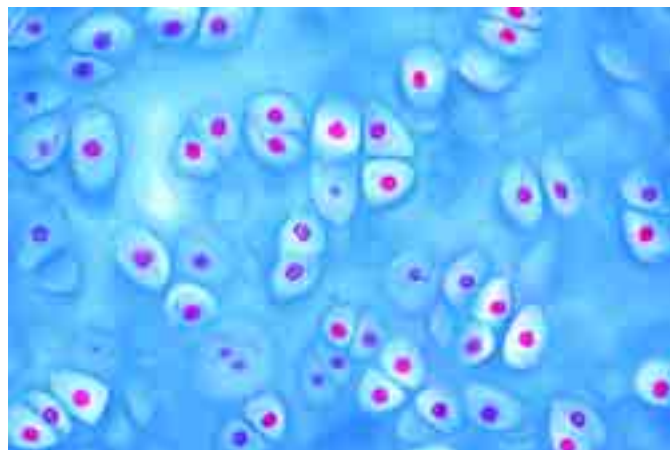
## REPTILIA - REPTILES

- Re121d Ophidia sp., serpent, peau avec écailles, s.e.  
 Re122d Ophidia sp., serpent, peau avec écailles, c.t.  
 Re151c Tropidonotus, couleuvre à collier, muscle strié, c.l.  
 Re153c Tropidonotus, trachée c.t.  
 Re154c Tropidonotus, poumon c.t.  
 Re152c Tropidonotus, intestin et testicule, c.t.  
 Re158c Tropidonotus, utérus c.t.  
 Re155d Tropidonotus, cerveau c.t.  
 Re157h Tropidonotus, terminaisons de cellules nerveuses motrices dans un muscle, s.e.  
 Re156h Tropidonotus, tête, c.t. avec organe de Jacobson \*  
 Re161d Anguis, orvet, embryon et placenta, c.t.  
 Re240f Tarentola, gecko, doigt de pied, c.l.  
 Re211c • Lacerta, lézard, frottis de sang  
 Re212d Lacerta, trachée c.t.  
 Re213c • Lacerta, poumon c.t.  
 Re214c Lacerta, rein c.t.  
 Re215c Lacerta, testicule montrant spermatogenèse c.t.  
 Re216c • Lacerta, intestin c.t.  
 Re217c Lacerta, foie c.t.  
 Re2173d Lacerta, cœur c.l.  
 Re218d Lacerta, ovaire c.t.  
 Re219d Lacerta, surrénale c.t.,  
 Re220d Lacerta, maxillaire montrant seconde dentition, c.t.  
 Re221d Lacerta, cerveau c.t.  
 Re231d • Lacerta, peau avec écailles c.l. sagittale  
 Re235f Lacerta, sujet jeune, tête, c.l. sagittale  
 Re237h Lacerta, sujet jeune, tête, c.l. sagittale avec œil pinéal \*  
 Re236e Lacerta, sujet jeune, tête, c.t.  
 Re251c Testudo, tortue, frottis de sang  
 Re252c Testudo, cœur, c.t.  
 Re254c Testudo, poumon, c.t.  
 Re256c Testudo, œsophage c.t.  
 Re258c Testudo, estomac c.t.  
 Re259c Testudo, intestin grêle, c.t.  
 Re260c Testudo, côlon c.t.  
 Re262c Testudo, foie c.t.  
 Re264d Testudo, thyroïde c.t.  
 Re266d Testudo, ovaire c.t.  
 Re267d Testudo, trompe de Fallope, c.t.  
 Re268d Testudo, testicule c.t.  
 Re270c Testudo, vessie, c.t.  
 Re272c Testudo, muscle strié c.l.  
 Re273c Testudo, muscle strié c.t.



## AVES - OISEAUX

- Av132b • Gallus, poule, plume (rémige), s.e.
- Av131b • Gallus, poule, plumule (duvet), s.e.
- Av165b • Colibri, poule, plumule (duvet), s.e.
- Av133b • Gallus, poule, plumule embryonnaire (filoplume), s.e..
- Av134c • Gallus, poule, plume (rémige) et plumule (duvet), s.e.
- Av1345d • Préparation composée avec plume, plumule et filoplume, s.e.
- Av103c • Anas, canard, membrane muqueuse montrant épithélium pavimenteux, c.t.
- Av161e • Anas, canard, corpuscules de Herbst dans la membrane du bec de canard. c.t.
- Av162e • Dryocopus, pic, langue avec corpuscules du toucher, c.t.
- Av150e • Oiseau chanteur, syringe c.l.
- Av152c • Columba, pigeon, jabot c.t.
- Av156e • Falco, faucon, rétine c.t.
- Av101g • Oiseau jeune, tête, c.l. sagittale
- Av102f • Oiseau jeune, tête avec yeux, c.t.
- Av111c • Gallus domesticus, poule, frottis de sang
- Av118c • Gallus, muscle cardiaque c.l.
- Av112c • Gallus, poumon c.t. (parabronchii)
- Av1123c • Gallus, trachée, c.t.
- Av128c • Gallus, rate c.t.
- Av129d • Gallus, thymus c.t.
- Av138d • Gallus, surrénale c.t.
- Av130d • Gallus, bursa fabricii c.t.
- Av121d • Gallus, langue c.t.
- Av113c • Gallus, œsophage c.t.
- Av114c • Gallus, estomac glandulaire c.t.
- Av127d • Gallus, gésier c.t.
- Av115c • Gallus, intestin grêle c.t.
- Av136c • Gallus, cæcum c.t.
- Av116c • Gallus, foie c.t.
- Av122d • Gallus, pancréas c.t.
- Av117c • Gallus, rein c.t.
- Av137c • Gallus, conduit mésonéphrique c.t.
- Av119d • Gallus, ovaire c.t. développement des œufs
- Av120d • Gallus, testicule c.t. montrant spermatogénèse
- Av123d • Gallus, cerveau c.t..
- Av1245c • Gallus, cervelet c.t.
- Av1247f • Gallus, cervelet c.t., imprégnation par l'argent (Golgi)
- Av139d • Gallus, œil, partie antérieure (iris, corps ciliaire, cornée), c.l. sag.
- Av140e • Gallus, œil, partie postérieure avec rétine, c.l. sagittale
- Av155e • Gallus, œil, rétine, c.l. horizontale
- Av135c • Gallus, crête d'un coq c.t.
- Av124d • Gallus, peau avec plumes c.t.
- Av125d • Gallus, peau avec plumes c.l. sagittale
- Av126d • Gallus, peau, plante de la patte c.t.
- Av211f • Gallus développement embryonnaire: 36 heures, c.t.
- Av212f • Gallus développement embryonnaire: 48 heures, c.t.
- Av213f • Gallus développement embryonnaire: 72 heures, c.t.



- Ma1124d • Épithélium pavimenteux stratifié, non kératinisé, œsophage c.t.
- Ma1125d • Épithélium pavimenteux stratifié, non kératinisé, vagin de porc c.t.
- Ma1127d • Épithélium pavimenteux stratifié, kératinisé, peau humaine (paume de la main), c.t.
- Ma113d • Épithélium prismatique, cellules isolées d'intestin
- Ma114c • Épithélium prismatique unistratifié, intestin grêle c.t.
- Ma1142e • Épithélium prismatique unistratifié, vésicule biliaire c.t.
- Ma1145d • Épithélium prismatique pseudostratifié, épидидyme c.t.
- Ma115d • Épithélium cilié, cellules isolées de la trachée
- Ma116d • Épithélium cilié unistratifié, trompe de Fallope, c.t.
- Ma1162d • Épithélium cilié pseudostratifié, trachée c.t.
- Ma117e • Endothélium, capillaires sanguins du mésentère, mis en évidence par l'argent.
- Ma118d • Épithélium cubique, rein c.t.
- Ma1182e • Épithélium cubique, thyroïde c.t.
- Ma120e • Épithélium de transition, deux c.t. de vessie, contracté et en expansion sûr la même préparation
- Ma1201d • Épithélium de transition, vessie de mouton, c.t.
- Ma1202d • Cellules muqueuses (gobelet), côlon de lapin c.t., coloration des cellules muqueuses
- Ma1203e • Cellules muqueuses (gobelet), intestin humaine c.t., coloration des cellules muqueuses avec PAS-HE
- Ma1204d • Glandes holocrines, glandes sébacées de peau humaine, c.t.
- Ma1205c • Glandes apocrines, glande lactéale de mouton, c.t..
- Ma1206e • Glandes eccrines, glande salivaire, c.t.
- Ma1207d • Glandes sudoripares, de peau humaine, c.t.

## Tissus conjonctifs et de soutien

- Ma121e • Tissu conjonctif fibrillaire, provenant du mésentère, coloration des fibres et des cellules
- Ma122d • Tissu tendineux, fibres dissociées
- Ma123d • Tissu tendineux c.l. Fibres parallèles
- Ma1231d • Tissu tendineux c.t.
- Ma1234f • Grand épiploon avec plasmocytes (système immunitaire)
- Ma124d • Tissu conjonctif élastique, ligament de la nuque, c.l.
- Ma1242e • Tissu conjonctif élastique, ligament de la nuque, c.t.
- Ma1244d • Tissu conjonctif élastique, fibres dissociées
- Ma125d • Tissu conjonctif réticulaire c.t..
- Ma1252f • Fibres en réseau. Fibres très fines du tissu du foie. Mise en évidence par imprégnation à l'argent
- Ma126d • Tissu conjonctif embryonnaire, embryon de mammifère, en coupe
- Ma127d • Tissu mésenchymateux (cordon ombilical), c.t.
- Ma1275f • Tissu mésenchymateux (cordon ombilical), c.t. coloration de la gelée de Wharton'
- Ma1278d • Tissu vésiculaire, notochorde de squal, c.t.
- Ma128c • Tissu adipeux, après élimination de la graisse, coloration cellules
- Ma129e • Tissu adipeux, non dégraissé, coloration des graisses de Sudan
- Ma1292e • Tissu adipeux, non dégraissé, coloration des graisses de acide osmique
- Ma1294c • Tissu adipeux brun, c.t.
- Ma130c • Cartilage hyalin, c.t.
- Ma1302c • Cartilage hyalin de chat, c.t.
- Ma1305d • Cartilage hyalin embryonnaire de souris, c.t.
- Ma131d • Cartilage élastique, coloration des fibres élastiques
- Ma1312d • Cartilage élastique, cartilage de l'oreille externe, c.t.
- Ma132d • Fibrocartilage de mammifère, c.t.
- Ma1323f • Fibrocartilage, disque intervertébral de l'homme c.t.
- Ma135d • Tissu osseux, substance compacte (os décalcifié), c.t. coloration des cellules et des canaux osseux
- Ma136d • Tissu osseux, substance compacte (os décalcifié), c.l. coloration des cellules et des canaux osseux
- Ma1365d • Os fibreux de mammifère, c.t.
- Ma1367f • Tissu osseux, substance compacte (non-décalcifié), lame mince \*
- Ma137e • Os et cartilage, c.t. (deux coupes)
- Ma138e • Ossification enchondrale, doigt d'embryon humain c.l.
- Ma139e • Ossification fibreuse, crâne d'embryon humain c.l..
- Ma140d • Moelle osseuse, c.t. .

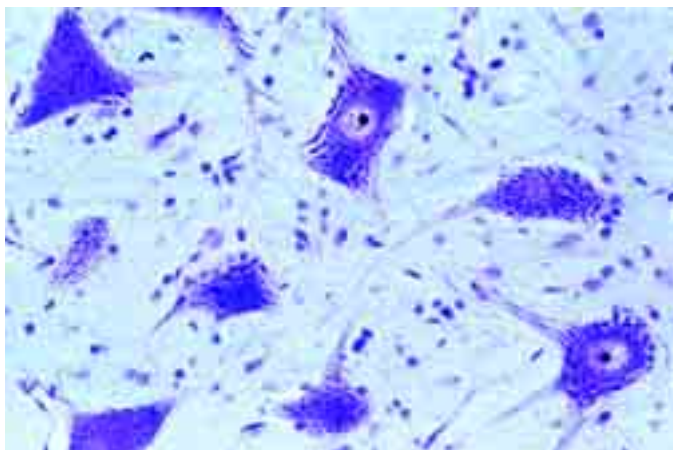
## HISTOLOGIE DES MAMMIFÈRES

### Cytologie

- Ma101d • Cellules animales simples montrant noyaux, protoplasme et membranes, coupe de foie de salamandre.
- Ma102f • Stades de mitose, moelle rouge c.t.
- Ma1023f • Stades de mitose, moelle rouge frottis
- Ma1021h • Stades de mitose, blastula de poisson montrant segmentation, c.t. \*
- Ma1033f • Stades de méiose, testicule de salamandre montrant spermatogénèse c.t., testicule, c.t. \*
- Ma103f • Stades de méiose, testicule de souris montrant spermatogénèse c.t., coloration à l'hématoxyline ferrique
- Ma1031f • Stades de méiose, testicule de souris montrant spermatogénèse frottis, coloration de Feulgen \*
- Ma104h • Chromosomes humains au cours de la métaphase, mâle, frottis \*
- Ma1041i • Chromosomes humains au cours de la métaphase, femelle, frottis \*
- Ma1045f • Chromatine sexuelle: Corpuscules de Barr d'une femme \*
- Ma105f • Mitochondries dans une coupe de foie ou rein d'amphibie.
- Ma1055g • Appareil de Golgi c.t. \*
- Ma1058e • Cellules pigmentées dans le peau de salamandre (larve)
- Ma1061e • Accumulation de glycogène dans les cellules du foie, coloration du glycogène et des noyaux
- Ma1063e • Glande mammaire, coloration des graisses avec Sudan
- Ma1065f • Glande mammaire, coloration des graisses avec acide osmique
- Ma1067f • Phagocytose des cellules étoilées de Kupffer. Mise en évidence par accumulation de trypan bleu, en injection

### Épithéliums

- Ma111c • Épithélium pavimenteux, cellules isolés de la muqueuse buccale de l'homme
- Ma1113d • Épithélium pavimenteux, cornée de l'œil, c.t.
- Ma112c • Épithélium pavimenteux stratifié, non kératinisé, de la muqueuse buccale, c.t.
- Ma1121c • Épithélium pavimenteux stratifié, non kératinisé, vagin de lapin, c.t.



- Ma141e Doigt d'embryon, c.l. sagittale, ébauches cartilagineuses des os du doigt (phalanges),  
Ma142e Articulation du genou, d'un embryon de mammifère, c.l. \*

### Tissu musculaire

- Ma151d • Muscle strié de mammifère c.l.  
Ma152d Muscle strié de mammifère c.t.  
Ma153d • Muscle strié de mammifère, fibres dissociées  
Ma1535f Muscle strié, c.l., montrant les myofibrilles \*  
Ma1537f Muscle strié, c.l. mince, coloration présente des striations transversales  
Ma154d • Muscle lisse de mammifère, c.l. et c.t..  
Ma1542d Muscle lisse de mammifère, c.l.  
Ma155d • Muscle lisse, cellules dissociées.  
Ma1555f Muscle lisse, c.l., coloration présente des striations transversales \*  
Ma156d • Muscle cardiaque de mammifère, c.l. et c.t.  
Ma158e • Muscle cardiaque de mammifère, fibres dissociées  
Ma157e Muscle cardiaque, coloration des disques intercalaires  
Ma159e Muscle cardiaque, coloration des cellules de Purkinje \*  
Ma160d Muscle-tendon connexion, c.l.  
Ma165f Types de muscles, préparation composée: muscle strié, muscle lisse et muscle cardiaque, c.l.

### Organes vasculaires

- Ma171d Artère de mammifère, c.t., coloration normale  
Ma172d • Artère de mammifère, c.t. coloration des fibres élastiques  
Ma1725f Artère de lapin, c.t. montrant les myofibrilles \*  
Ma173d Veine de mammifère, c.t., coloration normale  
Ma174d • Veine de mammifère, c.t. coloration des fibres élastiques  
Ma182e Valvule veineuse de lapin, coupe ou s.e. \*  
Ma175d Artères et veines de mammifère, c.t.  
Ma1752d Artère, veine et capillaires de cobaye, c.t.  
Ma1753e Artère, veine et nerve de cobaye, c.t.  
Ma176d • Aorte de lapin, c.t. coloration normale  
Ma1762d Aorte de lapin, c.t. coloration des fibres élastiques  
Ma178e • Capillaires sanguins dans le mésentère de lapin, s.e.  
Ma179f • Cœur de souris, c.l.  
Ma180d Cœur de souris, c.t.  
Ma181f Pavillon d'oreille de lapin c.t., vaisseaux sanguins injectés montrant les réseaux de capillaires  
Ma190c • Sang humain, frottis, coloration de Giemsa. Globules rouges (hématies) non nucléés, différentes formes globules blanc (leucocytes).  
Ma1902c Sang humain, frottis, coloration de Wright  
Ma195c Sang de lapin, frottis, coloration de Giemsa  
Ma196c Sang de chat, frottis, coloration de Giemsa  
Ma1963c Sang de chameau, frottis, coloration de Giemsa, érythrocytes elliptiques  
Ma1965c Sang de rat, frottis, coloration de Giemsa  
Ma197c • Sang de grenouille, frottis, coloration Giemsa, érythrocytes nucléés  
Ma1973c Sang de Amphiuma, frottis, coloration Giemsa, érythrocytes grandes

### Appareil respiratoire

- Ma211e • Région nasale de souris. Épithélium respiratoire et neuro-épithélium olfactif, c.t..  
Ma212e Larynx de souris, c.l. sagittale  
Ma213e Larynx de souris, c.l. frontale  
Ma214d Trachée de chat ou lapin, c.l., épithélium cilié  
Ma215d • Trachée de chat ou lapin, c.t.  
Ma2155e Bronche de chat, c.t.  
Ma216c • Poumon de chat, c.t., coloration d'Azan  
Ma217d Poumon de chat, c.t. coloration des fibres élastiques  
Ma218e Poumon de chat, c.t. imprégnation à l'argent  
Ma2183f Poumon de chat, c.t. vaisseaux sanguins injectés montrant les réseaux de capillaires  
Ma220d Poumon de chat, coupe épaisse, montrant les alvéoles  
Ma2185c Poumon de rat, c.t.

- Ma219d Poumon d'embryon humain, c.t.  
Ma222d Trachée et œsophage de lapin, c.t.  
Ma225e • Carcinome du poumon de l'homme, c.t.  
Ma226h Pathologie du poumon, quatre c.t. préparation composée. Poumon normal, anthracose, carcinome et emphyse

### Système lymphatique

- Ma231c • Ganglion lymphatique de cochon, c.t., coloration d'Azan  
Ma232f Ganglion lymphatique de cochon, c.t. montrant le tissu conjonctif \*  
Ma2323c Ganglion lymphatique de chat, c.t.  
Ma2325g Vaisseau lymphatique dans le mésentère de lapin, s.e. \*  
Ma233e • Amygdale palatine de l'homme, c.t.  
Ma234c • Rate de lapin c.t., capsule, pulpe, corpuscules de Malpighi  
Ma235f Rate de lapin, injectée pour mettre en évidence vaisseaux sanguins  
Ma2353c Rate de cobaye, c.t.  
Ma236d • Moelle osseuse rouge de mammifère c.t., cellules gantes, cellules de formation du sang  
Ma237d Moelle osseuse rouge de mammifère, frottis (Giemsa)  
Ma2375f Moelle osseuse rouge, frottis avec normoblastes \*  
Ma238f Thymus humain, c.t. montrant les corpuscules de Hassall  
Ma239d • Thymus de chat, animal jeune, c.t. montrant les corpuscules de Hassall  
Ma240d Thymus de bœuf, c.t.

### Glandes endocrines

- Ma252d • Glande thyroïde de bœuf, c.t., substance colloïde  
Ma2523d Glande thyroïde de chat, c.t..  
Ma2525e Trachée et thyroïde de rat, c.t.  
Ma270f Glande thyroïde, hypofonction, c.t.  
Ma271f Glande thyroïde, hyperfonction, c.t.  
Ma262f Thyroïde accessoire de porc, c.t.  
Ma263f Thyroïde accessoire et glande thyroïde de mammifère, c.t.  
Ma274f Glande carotidienne de porc, c.t.  
Ma253d • Corps surrénale de lapin, c.t., substance corticale et substance médullaire  
Ma2534f Corps surrénale de lapin, c.t., imprégnation des cellules nerveuses par l'argent  
Ma2535d Corps surrénale de chat, c.t.  
Ma254f • Îlots de Langerhans du pancréas de porc. c.t. Formation d'insuline. Coloration spécial montrant détails cellulaires  
Ma2543d Pancréas de chat avec îlots de Langerhans, c.t.  
Ma255e • Glande pituitaire (Hypophyse) de porc, c.l. avec lobe antérieur et postérieur; vue d'ensemble  
Ma259h Glande pituitaire (Hypophyse) c.t. infundibulum (neurosecrétion) \*  
Ma258g Glande pituitaire (Hypophyse) coupe mince de adénohypophyse illustrent les détails histologiques  
Ma257e • Épiphyse de bœuf c.t. Cellules pinéales, tissu glial.  
Ma2572d Épiphyse de mouton, c.t.  
Ma2574d Cellules de Leydig (cellules interstitielles), c.t. de testicule de souris

### Appareil digestif

- Ma310c • Lèvre de souris, c.l. sagittale  
Ma311d • Dent humaine, couronne c.t.  
Ma312d Dent humaine, racine c.t.  
Ma313f Dent humaine c.l. de sujet entier  
Ma314e Voûte palatine osseuse avec racines dentaires, c.l. sagittale  
Ma3142e Voûte palatine osseuse avec racines dentaires, c.t.  
Ma315e • Ébauche dentaire, stade jeune c.l.  
Ma316e • Ébauche dentaire, stade médiane, c.l.  
Ma317e • Ébauche dentaire, stade âgée, c.l..  
Ma321c Langue de souris, c.l. sagittale  
Ma322c Langue de souris, c.t.  
Ma323d • Langue du chat, c.t., kératinisation des papilles  
Ma326c • Voile du palais de lapin, c.t.  
Ma327c Voûte palatine osseuse de lapin, c.t.  
Ma331c • Œsophage de chat ou de chien, c.t.  
Ma3315c Œsophage de chat ou de chien, c.l.  
Ma3316c Œsophage de mouton, c.l.  
Ma3318e Œsophage -estomac jonction, c.l. de chat  
Ma333d • Estomac de chat, région cardiaque, c.t.  
Ma334d • Estomac de chat, région du fond, c.t.  
Ma335d • Estomac de chat, région pylorique, c.t.  
Ma3352s Estomac, préparation composée. c.t. région cardiaque, région du fond et région pylorique  
Ma3361f Estomac, c.t. de glandes gastriques  
Ma332f Estomac de chat, injecté pour la mise en évidence des vaisseaux sanguins  
Ma336f Estomac de rat, organe entier, c.t.  
Ma3368d Estomac de porc, c.t. région cardiaque,  
Ma3365e Estomac - duodénum jonction, c.l. de chat  
Ma337c • Duodénum de porc, c.t., glandes de Brunner  
Ma3371d Duodénum de porc, c.t., glandes de Lieberkühn  
Ma3373e Duodénum, c.t., coloration des cellules muqueuses (PAS-HE)  
Ma338c • Jéjunum de chat, c.t.  
Ma3383e Jéjunum, c.t., coloration des cellules muqueuses (PAS-HE)  
Ma339c Iléon de chat, c.t., plaques de Peyer  
Ma3393e Iléon, c.t., coloration des cellules muqueuses (PAS-HE)

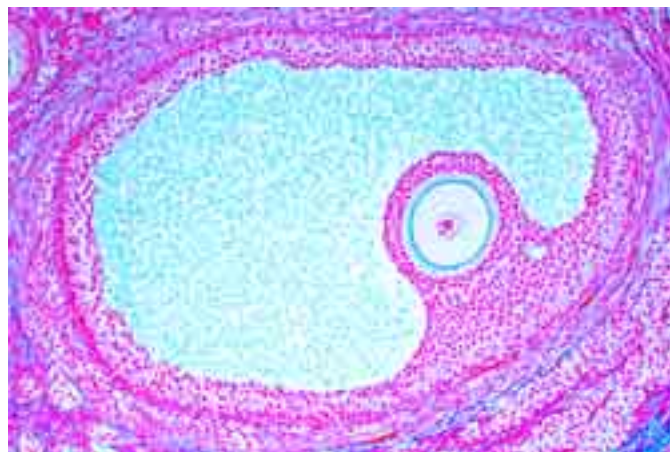
- Ma3395s Intestin grêle, préparation composée. c.t. duodénum, iléon et jéjunum
- Ma343f • Intestin grêle de chien, c.t., injecté pour la mise en évidence des vaisseaux sanguins
- Ma340d Intestin grêle de souris c.t.
- Ma3403c Intestin grêle de chat c.t.
- Ma3405d Intestin grêle de cheval, c.t.
- Ma341d • Appendice de l'homme, c.t.
- Ma342d Appendice de lapin, c.t.
- Ma344c • Cæcum de lapin, c.t.
- Ma345c Côlon (gros intestin) de chat, c.t.
- Ma346d • Côlon de lapin, c.t., coloration des cellules muqueuses
- Ma3463c Côlon de chat, c.t.
- Ma3465e Iléon - côlon jonction, c.l. de chat
- Ma347c Rectum de lapin ou de chat, c.t.
- Ma3472e Région anale et rectum de chat, c.l.
- Ma3474d Région anale de chien, c.t.
- Ma351d • Parotide, c.t., glande purement séreuse
- Ma352d • Glande sous-maxillaire, c.t. glande séreuse-muqueuse
- Ma353d • Glande sublinguale, c.t. glande purement muqueuse
- Ma3535f Glandes salivaires, préparation composée. c.t. de parotide, glande sous-maxillaire et glande sublinguale
- Ma354d • Pancréas c.t. montrant îlots de Langerhans
- Ma3542d Pancréas de mammifère, c.t. coloration à l'hématoxyline ferrique
- Ma3543f Pancréas de mammifère, c.t. injecté pour la mise en évidence des vaisseaux sanguins
- Ma357d • Foie de porc, c.t., tissu conjonctif interlobulaire bien développé
- Ma356d Foie de chat, c.t.
- Ma3562f Foie de chat, c.t. injecté pour la mise en évidence des vaisseaux
- Ma3564f Foie de chien, c.t. injecté pour la mise en évidence des vaisseaux
- Ma358d Foie de souris, embryonnaire, c.t.
- Ma359f • Foie de mammifère, injecté, montrant des cellules de Kupffer, c.t.
- Ma360e • Foie de mammifère, coloration du glycogène, c.t.
- Ma361f Foie de mammifère, coloration de Regaud (Mitochondrie), c.t.
- Ma3613f Foie de mammifère, c.t. coloration des canalicules biliaires \*
- Ma3614f Foie de mammifère, c.t. fibres en réseau, mise en évidence par imprégnation à l'argent
- Ma362c Canal cholédoque (biliaire) de lapin, c.t.
- Ma363d • Vésicule biliaire de lapin c.t. t.
- Ma3634c Vésicule biliaire de mouton c.t.
- Ma371d Panse de bœuf c.t.
- Ma372d Bonnet de bœuf c.t.
- Ma373d Feuillet de bœuf c.t.
- Ma374d Caillette de bœuf c.t.

### Appareil urinaire

- Ma411d • Rein de chat c.t., substance corticale avec pyramides de Malpighi et substance médullaire avec tubules
- Ma413e • Rein de souris c.l. sagittale (totale), substance corticale, substance médullaire, calices
- Ma414c Rein de souris c.t.
- Ma415f • Rein de souris c.t. coloration vitale avec trypan bleu
- Ma4156d Rein de chien, c.t.
- Ma4157d Rein de lapin, c.t.
- Ma416f Rein de souris c.t. coloration de Regaud montrant mitochondries
- Ma417f Rein, c.t. injecté pour la mise en évidence des vaisseaux sanguins
- Ma418c Papille rénale de chat, c.t.
- Ma4183d Bassinet rénale de chat, c.t.
- Ma419e Tumeur rénale de l'homme, c.t.
- Ma421c • Uretère de lapin ou chat, c.t.
- Ma4214d • Uretère de porc, c.t.
- Ma422c • Vessie de lapin ou chat, c.t.
- Ma423c Urètre de lapin, c.t.

### Organes génitaux

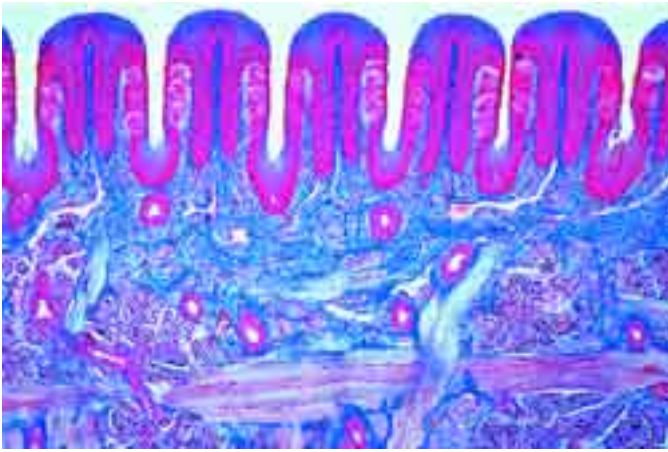
- Ma431d • Ovaire de chat, c.t. montrant structure générale avec follicules
- Ma433g Ovaire de mammifère, c.t. montrant disque proligère \*
- Ma4332f Ovaire de mammifère, c.t. montrant follicule de Graaf avec l'ovocyte
- Ma434d • Ovaire de mammifère, c.t. montrant le corps jaune
- Ma4341d Ovaire de lapin, c.t. montrant structure générale
- Ma4342e Ovaire de mammifère, sujet jeune, c.t.
- Ma435c • Trompe de Fallope de porc, c.t.
- Ma4353c Trompe de Fallope de chat, c.t.
- Ma4354c Trompe de Fallope de lapin, c.t.
- Ma4355d Trompe de Fallope, c.t. avec Infundibulum
- Ma437d • Utérus de mammifère, stade de repos c.t.
- Ma438d Utérus de mammifère, gravide c.t.
- Ma439d • Utérus de souris avec embryon, c.t.
- Ma4393d Utérus de mouton, c.t.
- Ma4394c Utérus de mammifère, sujet jeune, c.t.
- Ma440e • Placenta, de l'homme, c.t.
- Ma4405c Placenta de chat, c.t.
- Ma445f • Embryon de souris, sujet entier, c.l. sagittale
- Ma446d Embryon de souris, tête c.t.
- Ma447d Embryon de souris, thorax, c.t.
- Ma448d Embryon de souris, abdomen, c.t.
- Ma449e Embryon de porc, c.t.
- Ma451d • Vagin de porc, c.t.
- Ma4513c Vagin de lapin, c.t.



- Ma452d Vagin et urètre de lapin ou chat, c.t.
- Ma453d • Cordon ombilical de bœuf, c.t.
- Ma454d Cordon ombilical de porc, c.t..
- Ma461d • Testicule de souris, montrant la spermatogenèse, c.t.
- Ma4613d Testicule de rat, montrant la spermatogenèse, c.t.
- Ma4614d Testicule de lapin, montrant la spermatogenèse, c.t.
- Ma462d • Testicule de taureau, montrant la spermatogenèse, c.t.
- Ma4623f Testicule de mammifère, montrant hypofonction hormonale, c.t.
- Ma4624f Testicule de mammifère, montrant hyperfonction hormonale, c.t.
- Ma463d • Épидidyme de taureau, c.t.
- Ma4631d Épидidyme de taureau, c.t.
- Ma4632e Testicule et épидidyme de rat, c.t.
- Ma4634e Testicule et épидidyme de chat, c.t.
- Ma464d • Spermatozoïdes de taureau, frottis
- Ma4642d Spermatozoïdes de rat, frottis
- Ma466d • Canal déférent de pic ou lapin, c.t.
- Ma467d • Vésicule séminale de porc, c.t..
- Ma4672d Vésicule séminale de rat, c.t.
- Ma468d • Prostate de porc, c.t.
- Ma4683c Prostate de rat, c.t.
- Ma469d • Pénis de cobaye, c.t.
- Ma470d Pénis de lapin, c.t.

### Système nerveux

- Ma511d • Cerveau de chat, c.t. cortex, coloration normale
- Ma512f • Cerveau de chat, c.t. cortex, imprégnation des cellules pyramidales par l'argent (Golgi)
- Ma518f Cerveau de chat, c.t. cortex, coloration de Held montrant tissu névroglie.
- Ma562f Cerveau de chat, c.t. coloration de Weigert montrant les gaines myéliniques \*
- Ma514d • Cervelet de chat, c.t. coloration normale
- Ma515f • Cervelet de chat, c.t. imprégnation des cellules de Purkinje (Golgi)
- Ma5152f Cervelet de chat, c.t. imprégnation d'après Cajal
- Ma563f Cervelet de chat, c.t. coloration de Weigert montrant les gaines myéliniques \*
- Ma521e Cerveau de souris, sujet entier c.l. frontale
- Ma522e Cerveau de souris, sujet entier c.l. sagittale
- Ma523f Cerveau de souris, sujet entier c.t. dans trois régions, préparation composée
- Ma525d • Bulbe (Medulla oblongata) de lapin, c.t.
- Ma526d • Moelle épinière de chat, c.t. coloration normale
- Ma527e Moelle épinière de chat, c.t. coloration des corps de Nissl
- Ma528f Moelle épinière de chat, c.t., imprégnation à l'argent
- Ma5285f Moelle épinière de chat, c.t. coloration d'après Klüver-Barrera
- Ma529d Moelle épinière de chat, c.l. coloration normale
- Ma5293d Moelle épinière de porc, c.t.
- Ma5294e • Moelle épinière de bœuf, c.t. coloration corpuscules de Nissl dans les cellules nerveuses
- Ma5295c Moelle épinière de lapin, c.t.
- Ma5296d Vertèbres avec moelle épinière de rat, c.t.
- Ma531e Moelle épinière de l'homme, c.t. dans la région cervicale
- Ma532e Moelle épinière de l'homme, c.t. dans la région thoracique
- Ma533e Moelle épinière de l'homme, c.t. dans la région lombaire
- Ma564f Moelle épinière de chat, c.t. coloration de Weigert montrant les gaines myéliniques \*
- Ma534e Moelle épinière, c.t. montrant ganglions et de racine postérieure
- Ma542e • Ganglion sympathique c.t., cellules nerveuses multipolaires
- Ma543d Ganglion spinal de bœuf, c.t.
- Ma541e Ganglion Gasser (G. Semilun.) c.t., cellules nerveuses unipolaires \*
- Ma540f Ganglion de chat, c.t. coloration avec acide osmique
- Ma544c • Nerf périphérique de porc, c.t. coloration normale
- Ma545c • Nerf périphérique de porc, c.l. coloration normale
- Ma5453d Nerf périphérique de chat, c.l.
- Ma547e • Nerf périphérique, dissocié, traitée à l'acide osmique montrant les étranglements de Ranvier et des gaines de myéline
- Ma546e Nerf périphérique, c.t. traitée à l'acide osmique montrant des gaines de myéline



- Ma548e Nerf périphérique, c.l. traitée à l'acide osmique montrant des gaines de myéline et les étranglements de Ranvier
- Ma549c • Nerf optique de porc, c.t.
- Ma550f Nerf optique de porc, c.l. rétine avec entrée du nerf optique (papille optique) c.l.
- Ma551e • Cellules nerveuses motrices avec prolongements. frottis de moelle épinière de bœuf, coloration normale
- Ma5513f Cellules nerveuses motrices, frottis de moelle épinière de bœuf, coloration des corps de Nissl
- Ma552h • Terminaisons de cellules nerveuses motrices dans un muscle. Méthode au chlorure d'or pour la mise en évidence des plaquettes motrices \*
- Ma554e • Corpuscules de Pacini dans le pancréas ou le mésentère de chat
- Ma555e • Corpuscules de Herbst et de Grandry du bec de canard, c.t.
- Ma556e Cellules tactiles de Merkel, dans le groin de porc, c.t.
- Ma557f • Corpuscules de Meissner du doigt humain c.t.

### Organes des sens

- Ma601e • Œil de chat ou lapin, partie postérieure avec rétine c.t.
- Ma602e • Œil de chat ou lapin, p. antérieure avec iris, corps ciliaire, cornée c.t.
- Ma603g • Œil de cobaye, sujet entier, c.l. sagittale, vue générale
- Ma6031h Œil de cobaye, sujet entier, c.l. sagittale médiane, avec entrée du nerf optique \*
- Ma608e • Yeux d'un jeune embryon de mammifère en cours de développement, coupe
- Ma6034d • Rétine de chat. c.t. détails de structure
- Ma6035f Rétine avec entrée du nerf optique (papille optique) c.l.
- Ma605d Rétine, cônes et bâtonnets
- Ma606f Rétine de porc avec entrée du nerf optique (papille optique) c.l.
- Ma6062e Rétine de porc, c.l. horizontale montrant cônes et bâtonnets
- Ma6064e Rétine, sujet entier montrant les cellules pigmentées
- Ma607d • Cornée de mammifère, c.t. détails de structure
- Ma6066e • Glande lacrymale de chat, c.t.
- Ma609e • Cochlée l'oreille interne, limaçon, c.l. organe de Corti
- Ma610e Cochlée l'oreille interne, limaçon, c.t. organe de Corti
- Ma6103g L'oreille interne et externe, c.l.
- Ma6105t Crista ampullaris, c.t. \*
- Ma612d • Muqueuse olfactive de lapin, c.t.
- Ma6123d Muqueuse olfactive de chien, c.t.
- Ma6124d Muqueuse olfactive de chat, c.t.
- Ma614e • Bourgeons du goût, c.t. papilles foliées de la langue de lapin
- Ma6142e Bourgeons du goût, c.t. papilles foliées de la langue de lapin, coupe non coloré pour phase contraste
- Ma615d Bourgeons du goût, c.t. langue de rat, c.t.
- Ma617e • Poils tactiles dans le museau de bœuf c.l. ou c.t.

### Peau et téguments

- Ma632d • Peau humaine (paume de la main), glandes sudoripares, épithélium kératinisé, c.l. verticale
- Ma633d Peau humaine (paume de la main), glandes sudoripares, épithélium kératinisé, c.l. horizontale
- Ma6334d • Peau humaine du corps, Blanc, c.l. verticale
- Ma6335d Peau humaine du corps, Noir, c.l. verticale.
- Ma6336f Peau humaine du corps, Blanc et Noir, c.l. verticale
- Ma6337f Peau humaine, c.l. montrant les corpuscules de Pacini \*
- Ma6338f Peau humaine, c.l. montrant les corpuscules de Meissner \*
- Ma635d • Cuir chevelu humain c.l. verticale, racines des cheveux, glandes sébacées
- Ma636d • Cuir chevelu humain c.l. horizontale avec c.t. racines des cheveux
- Ma637d • Peau humaine embryonnaire, c.l.
- Ma638e • Extrémité du doigt de fœtus humain, c.l. développement de l'ongle
- Ma6382e Extrémité du doigt de fœtus humain, c.t. développement de l'ongle
- Ma639f Sabot de l'embryon de bœuf, c.l.
- Ma6404c • Peau de chat, peau de corps c.l., montrant les racines des cheveux
- Ma6405c Peau de chat, plante de pied c.l., montrant détails de la couche cornée de l'épiderme et des couches germinatives
- Ma641d Peau de porc, c.l.

- Ma642d Peau de porc, c.t.
- Ma6427e Peau de porc, c.l. horizontale, coloration des fibres élastiques
- Ma6422f Peau embryonnaire de porc, c.l. avec vaisseaux sanguins injectés
- Ma644d Peau de chien, c.l.
- Ma643f Peau de chien, c.l. avec vaisseaux sanguins injectés
- Ma6443d Peau de cobaye, c.l.
- Ma6425d Peau de museau de veau, c.l. horizontale
- Ma640c • Paupière de lapin, c.t.
- Ma6402c Paupière de chat, c.t. montrant les glandes de Meibom
- Ma647b • Cheveux de l'homme
- Ma649b Cheveu du porc, s.e.
- Ma6493b Cheveu de Ren, s.e.
- Ma652b Cheveu de chat, s.e.
- Ma653b Cheveu de chameau, s.e.
- Ma651d Cheveu des mammifères pour comparaison: lapin, rat musqué, vison, astrakan
- Ma645c • Glande mammaire, lapin ou souris, c.t., stade actif
- Ma646c Glande mammaire, lapin ou souris, c.t., stade inactif
- Ma6461e Glande mammaire, c.t., stade actif et inactif
- Ma6465f Glande mammaire, c.t., coloration des graisses de acide osmique
- Ma6468d Glande mammaire, vache, c.t., stade actif.
- Ma6469d Glande mammaire, vache, c.t., stade jeune
- Ma6467e Mamelon de glande mammaire, c.l.

### Histologie de mammifères, vue général

- Ma703g • Jeune souris, coupe sagittale d'un spécimen entier pour toutes les structures
- Ma704i Jeune souris, coupe sagittale médiane d'un spécimen entier
- Ma705g Jeune souris, coupe parasagittale d'un spécimen entier
- Ma706g • Jeune souris, coupe frontale d'un spécimen entier
- Ma708f Jeune souris, c.t. tête avec région olfactive
- Ma709f • Jeune souris, c.t., tête avec yeux
- Ma710f Jeune souris, c.t., tête avec cerveau
- Ma712e • Jeune souris, c.t. de la région pulmonaire.
- Ma713e • Jeune souris, c.t. de la région abdominale
- Ma714d Jeune souris, c.t. d'une extrémité.

### HISTOLOGIE HUMAINE NORMALE

#### Épithéliums et Cytologie

- Ho111c • Épithélium pavimenteux, cellules isolés de la muqueuse buccale de l'homme
- Ho1124e • Épithélium pavimenteux stratifié, non kératinisé, œsophage de l'homme c.t.
- Ho1127d Épithélium pavimenteux stratifié, kératinisé, peau humaine (paume de la main), c.t.
- Ho114e • Épithélium prismatique unistratifié, intestin grêle de l'homme c.t.
- Ho1143e • Épithélium prismatique unistratifié, vésicule biliaire de l'homme c.t.
- Ho116e • Épithélium cilié unistratifié, trompe de Fallope de l'homme, c.t.
- Ho1163e • Épithélium cilié pseudostratifié, trachée de l'homme c.t.
- Ho118e Épithélium cubique, thyroïde de l'homme c.t.
- Ho120e • Épithélium de transition, vessie de l'homme, c.t.
- Ho1202e Cellules muqueuses (gobelet), côlon de l'homme c.t., coloration des cellules muqueuses
- Ho1213d Glandes holoclines, glandes sébacées de peau humaine, c.l.
- Ho1214e Glandes eccrines, glande salivaire de l'homme, c.t.
- Ho1215e Cellules muqueuses (gobelet), intestin humaine c.t., coloration des cellules muqueuses avec PAS-HE
- Ho1204e Mésothélium, c.t. de mésentère humaine
- Ho1205g • Appareil de Golgi de l'homme c.t. \*
- Ho104h • Chromosomes humains au cours de la métaphase, mâle, frottis
- Ho1041i • Chromosomes humains au cours de la métaphase, femelle, frottis
- Ho1045f • Chromatine sexuelle: Corpuscules de Barr d'une femme \*

#### Tissus conjonctifs et de soutien

- Ho121e • Tissu conjonctif fibrillaire, provenant du mésentère humaine, coloration des fibres et des cellules
- Ho123f Fibres en réseau. Fibres très fines du tissu du foie ou rate. Mise en évidence par imprégnation à l'argent
- Ho126d • Tissu conjonctif embryonnaire humaine, embryon en coupe
- Ho127e • Tissu mésenchymateux (cordon ombilical) de l'homme, c.t.
- Ho128e • Tissu adipeux de l'homme, après élimination de la graisse, coloration des cellules
- Ho1282e Tissu adipeux de l'homme, non dégraissé, coloration des graisses de Sudan
- Ho1292e • Tissu tendineux de l'homme c.l. Fibres parallèles
- Ho1293e Tissu tendineux de l'homme c.t.
- Ho1295e Péritoine de l'homme, c.t.
- Ho130e • Cartilage hyalin de l'homme, c.t.
- Ho1305e Cartilage hyalin de l'embryon humain c.t.
- Ho133e Cartilage sternale, de l'homme, c.t.
- Ho131e • Cartilage élastique de l'homme, c.t., coloration des fibres élastiques
- Ho1312e Cartilage élastique, de l'embryon humain c.t.
- Ho132f Fibrocartilage de l'homme, c.t.
- Ho1322f Fibrocartilage, disque intervertébral de l'homme c.t.
- Ho135e • Tissu osseux, substance compacte (os décalcifié) de l'homme, c.t., coloration des cellules et des canaux osseux



- Ho136e Tissu osseux, substance compacte (os décalcifié) de l'homme, c.l., coloration des cellules et des canaux osseux
- Ho1365e • Os fibreux de l'homme c.t.
- Ho1368h Tissu osseux, de l'homme, substance compacte (os non-décalcifié), lame mince \*
- Ho138e • Ossification enchondrale, doigt d'embryon humain c.l.
- Ho139e • Ossification fibreuse, crâne d'embryon humain c.l.
- Ho141e Articulation d'un embryon de l'homme, c.l.

### Tissu musculaire

- Ho151e • Muscle strié, de l'homme c.l.
- Ho1512f Muscle strié, de l'homme c.l., coloration présente des striations transversales
- Ho152e • Muscle strié, de l'homme c.t.
- Ho1522g Muscle strié, , fibres dissociées. Méthode au chlorure d'or
- Ho1524e Muscle strié de l'embryon humain , c.l.
- Ho154e • Muscle lisse de l'homme c.l. et c.t.
- Ho156e • Muscle cardiaque de l'homme c.l. et c.t.
- Ho160f Muscle-tendon connexion de l'homme c.l.
- Ho165g Types de muscles de l'homme, préparation composée: muscle strié, muscle lisse et muscle cardiaque, c.l.

### Organes vasculaires

- Ho171e Artère de l'homme, c.t. coloration normale
- Ho172e • Artère de l'homme, c.t. coloration des fibres élastiques
- Ho1726e Artère coronaire de l'homme c.t.
- Ho170e Valvule d'artère de l'homme c.l. \*
- Ho173e Veine de l'homme, c.t. coloration normale
- Ho174e • Veine de l'homme, c.t. coloration des fibres élastiques
- Ho1743e Vena cava de l'homme c.t.
- Ho175e Artère et veine de l'homme c.t. coloration normale
- Ho1751e Artère et veine de l'homme c.t. coloration des fibres élastiques
- Ho176e Aorte de l'homme, c.t. coloration normale
- Ho1762e • Aorte de l'homme, c.t. coloration des fibres élastiques
- Ho1765e Valvule d'artère de mouton, c.t. \*
- Ho180c • Sang humain, frottis, coloration de Giemsa
- Ho1802c Sang humain, frottis, coloration de Wright

### Appareil respiratoire

- Ho214f • Trachée de l'homme c.t.
- Ho215f Trachée de l'homme c.l.
- Ho2152e Trachée de l'embryon humain c.t.
- Ho2153f Larynx de l'embryon humain, c.t.
- Ho213f Épiglottite de l'homme c.t..
- Ho2134f Corde vocale de l'homme c.t.
- Ho220e Bronche de l'homme, c.t.
- Ho216e • Poumon de l'homme, c.t. coloration normale
- Ho217e Poumon de l'homme, c.t. coloration des fibres élastiques
- Ho2183f Poumon de l'homme c.t. vaisseaux sanguins injectés montrant les réseaux de capillaires
- Ho219e Poumon de l'embryon humain c.t.

### Système lymphatique

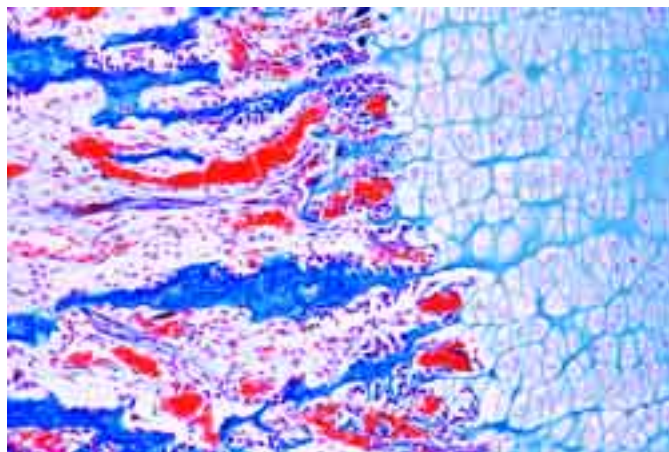
- Ho231e • Ganglion lymphatique de l'homme c.t.
- Ho232e Ganglion lymphatique de l'embryon humain c.t.
- Ho233e • Amygdale palatine de l'homme, c.t.
- Ho234e • Rate de l'homme c.t.
- Ho2352e Rate de l'embryon humain c.t.
- Ho236e • Moelle osseuse rouge de l'homme c.t.
- Ho2363e Moelle osseuse rouge de l'embryon humain, c.t., coloration Giemsa
- Ho237f Moelle osseuse rouge, de l'homme, frottis coloration de Giemsa
- Ho2372e Foie de l'embryon humain, c.t. avec cellules de formation du sang
- Ho2376e Thymus de l'embryon humain , sec.
- Ho238f • Thymus de l'homme jeune, c.t.
- Ho239f Thymus de l'homme adulte, c.t.

### Glandes endocrines

- Ho252e • Glande thyroïde (Gl. thyreoidea), de l'homme c.t., avec colloïde
- Ho2523f Glande parathyroïde (Gl. parathyreoidea), de l'homme c.t. \*
- Ho253f • Corps surrénale (Gl. suprarenalis), de l'homme c.t.
- Ho255f • Glande pituitaire (Hypophysis), de l'homme c.t. \*
- Ho257f • Épiphyse (Épiphyes), de l'homme c.t. \*
- Ho254f • Pancréas de l'homme avec îlots de Langerhans, c.t.

### Appareil digestif

- Ho310f • Lèvre de l'homme c.t.
- Ho3102e Lèvre de l'embryon humain, c.t.
- Ho311e • Dent humaine, couronne c.t.
- Ho312e Dent humaine, racine c.t.
- Ho313f Dent humaine c.l. de sujet entier
- Ho3137g Dent humaine, lame mince, c.t. \*
- Ho3138k Dent humaine, lame mince, c.l. \*
- Ho315f Ébauche dentaire de l'embryon humain, stade jeune c.l.
- Ho316f • Ébauche dentaire de l'embryon humain, stade médiane, c.l.
- Ho317f Ébauche dentaire de l'embryon humain, stade âgée, c.l..
- Ho322e • Langue de l'homme, c.t.



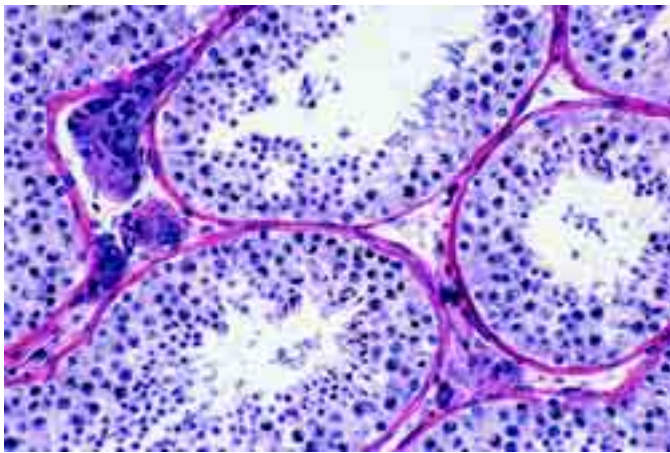
- Ho3234f Langue de l'homme, c.t. avec papilles filiformes
- Ho3235f Langue de l'homme, c.t. avec papilles fungiformes
- Ho324e Langue de l'embryon humain , c.t.
- Ho326e • Voile du palais de l'homme c.t.
- Ho327e Voûte palatine osseuse de l'homme c.t.
- Ho331e • Œsophage de l'homme c.t.
- Ho333e Estomac de l'homme, région cardiaque c.t.
- Ho334e • Estomac de l'homme, région du fond, c.t.
- Ho335e Estomac de l'homme, région pylorique, c.t.
- Ho3361e Estomac de l'embryon humain , c.t.
- Ho3365f Estomac - duodénum jonction, de l'homme, c.l.
- Ho337e • Duodénum de l'homme c.t.
- Ho3373f Duodénum de l'homme c.t. coloration cellules muqueuses (PAS-HE)
- Ho338e Jéjunum de l'homme c.t.
- Ho339e Iléon de l'homme c.t.
- Ho340e Intestin grêle de l'embryon humain, c.t.
- Ho341e • Appendice de l'homme c.t.
- Ho345e • Côlon (gros intestin) de l'homme c.t.
- Ho347e Rectum de l'homme c.t.
- Ho3472f Région anale et rectum de l'homme c.l.
- Ho351e • Parotide (Gl. parotis) de l'homme c.t.
- Ho352e • Glande sous-maxillaire (Gl. submandibularis), de l'homme c.t.
- Ho353e • Glande sublinguale, (Gl. sublingualis), de l'homme c.t.
- Ho354e • Pancréas de l'homme c.t.
- Ho3543e Pancréas de l'embryon humain , c.t.
- Ho357e • Foie de l'homme c.t.
- Ho359e Foie de l'embryon humain c.t.
- Ho3592f Foie de l'embryon humain c.t., injecté des vaisseaux sanguins
- Ho360f Foie de l'homme c.t., coloration du glycogène
- Ho362e • Vésicule biliaire de l'homme c.t.

### Appareil urinaire

- Ho411e • Rein de l'homme c.t.
- Ho418e Papille rénale de l'homme c.t.
- Ho419e Rein de l'embryon humain c.t.
- Ho4195f Rein de l'homme, c.t., injecté des vaisseaux sanguins
- Ho421e • Urètre de l'homme c.t.
- Ho422e • Vessie de l'homme c.t.
- Ho4225e • Urètre de l'homme, c.t.
- Ho423e Urètre de l'homme, partie prostatique c.t.

### Organes génitaux

- Ho428f Ovaire de l'embryon humain, c.t. \*
- Ho429f • Ovaire de l'homme, stade actif, c.t.
- Ho430f Ovaire de l'homme, stade inactif, c.t.
- Ho434f • Ovaire de l'homme avec corpus luteum c.t.
- Ho4343f Ovaire de l'homme avec corpus albicans c.t.
- Ho435e • Trompe de Fallope c.t. (ampoule)
- Ho4352e Trompe de Fallope c.t. (franges)
- Ho4365f Utérus de l'embryon humain, c.t.
- Ho4368e • Utérus de l'homme, c.t. montrant structure générale
- Ho437f Utérus de l'homme, prolifération c.t.
- Ho438f Utérus de l'homme, sécrétion c.t.
- Ho439f Utérus de l'homme, desquamation c.t.
- Ho4395f Utérus de l'homme, gravide, c.t.
- Ho4397f Col de l'utérus, de l'homme c.l.
- Ho440e • Placenta de l'homme c.t.
- Ho4402f Placenta de l'homme c.t. implantation
- Ho4404e • Cordon ombilical de l'homme c.t.
- Ho445h Embryon de l'homme, c.l.
- Ho450e • Vagin de l'homme c.t.
- Ho460f Testicule de l'homme, stade jeune c.t.
- Ho461f • Testicule de l'homme, stade adulte c.t.
- Ho4628e Testicule de l'homme, tubes efferentes c.t.
- Ho463e Épididyme de l'homme c.t.
- Ho464e • Spermatozoïdes de l'homme, frottis
- Ho466e • Canal déférent (Ductus deferens), de l'homme c.t.



- Ho4663e Canal déférent (Ampulla Ductus deferens), de l'homme c.t.  
 Ho467e • Vésicule séminale (Gl. vesiculosa), de l'homme c.t.  
 Ho4678e Prostate de l'homme, stade jeune c.t.  
 Ho468e • Prostate de l'homme, stade adulte c.t.  
 Ho469g Pénis de l'embryon humain , c.t. \*

### Système nerveux

- Ho511e • Cerveau de l'homme, c.t. coloration normale  
 Ho512g Cerveau de l'homme, c.t. imprégnation des cellules pyramidales par l'argent  
 Ho518g Cerveau de l'homme, c.t. color. de Held montrant tissu névroglieue  
 Ho5125e Cerveau de l'embryon humain , c.t. coloration normale  
 Ho5126g Cerveau de l'embryon humain , c.t. imprégnation des cellules pyramidales par l'argent  
 Ho514e • Cervelet de l'homme, c.t. coloration normale  
 Ho515g Cervelet de l'homme, c.t. imprégnation des cellules de Purkinje par l'argent  
 Ho5155e Cervelet de l'embryon humain , c.t. coloration normale  
 Ho5156g Cervelet de l'embryon humain , c.t. imprégnation des cellules de Purkinje par l'argent  
 Ho5158f Cervelet de l'homme, c.t., coloration de Weigert montrant les gaines myéliniques  
 Ho516g Cerveau et cervelet de l'homme, c.t. coloration normale  
 Ho5163g Cerveau et cervelet de l'embryon humain c.l.  
 Ho517g Tronc cérébral de l'homme c.t.  
 Ho5368f Chiasma opticum de l'homme c.t.  
 Ho5232f Chiasma opticum, de l'homme, coloration d'après Klüver-Barrera  
 Ho5233f Corpus callosum de l'homme, coloration d'après Klüver-Barrera  
 Ho5235f Pont de l'homme, c.t. coloration normale  
 Ho5236g Pont de l'homme, c.t. imprégnation par l'argent  
 Ho5238f Thalamus de l'homme, coloration d'après Klüver-Barrera  
 Ho5239f Pendunculus cerebri de l'homme, coloration d'après Klüver-Barrera  
 Ho5251f • Medulla oblongata (bulbe) de l'homme, c.t. coloration normale  
 Ho5251f Medulla oblongata (bulbe) de l'homme c.t., Klüver-Barrera  
 Ho5252t Medulla oblongata (bulbe) de l'homme, c.t. imprégnation par l'argent  
 Ho5254f Medulla oblongata (bulbe) de l'embryon humain , c.t.  
 Ho530e • Moelle épinière de l'homme, c.t. montrant structure générale  
 Ho534g Moelle épinière de l'homme, c.t. imprégnation par l'argent  
 Ho535e Moelle épinière de l'homme, c.l. coloration normale  
 Ho531e Moelle épinière de l'homme, c.t. région cervicale, coloration normale  
 Ho5315f Moelle épinière de l'homme, c.t. région cervicale, Klüver-Barrera  
 Ho532e Moelle épinière de l'homme, c.t. région thoracique, color. normale  
 Ho5325f Moelle épinière de l'homme, c.t. région thoracique, Klüver-Barrera  
 Ho533e Moelle épinière de l'homme, c.t. région lombaire, coloration normale  
 Ho5335f Moelle épinière de l'homme, c.t. région lombaire r, Klüver-Barrera  
 Ho5365f Dorsal ganglion de l'homme c.t. coloration normale  
 Ho5366g Dorsal ganglion de l'homme c.t. imprégnation par l'argent  
 Ho542f • Ganglion sympathique de l'homme c.t. coloration normale  
 Ho5423g Ganglion sympathique de l'homme c.t. imprégnation par l'argent  
 Ho543f Ganglion spinal de l'homme c.t. coloration normale  
 Ho5432g Ganglion spinal de l'homme c.t. imprégnation par l'argent  
 Ho544e • Nerf périphérique de l'homme c.t.  
 Ho545e Nerf périphérique de l'homme c.l.  
 Ho5453f Nerf périphérique de l'homme c.t. et c.l.  
 Ho549e • Nerf optique de l'homme c.t.

### Organes des sens

- Ho605f • Rétine de l'homme c.t. \*  
 Ho607e • Cornée de l'homme c.t.  
 Ho610f Bourgeons du goût de l'homme c.t. \*  
 Ho612f • Muqueuse olfactive de l'homme c.t.  
 Ho6103g L'oreille interne de l'embryon humain, c.t. \*  
 Ho5572t Peau humaine, c.l. montrant les corpuscules tactiles, imprégnation par l'argent \*  
 Ho5573f • Corpuscules de Pacini de l'homme, c.t. coloration normale  
 Ho5574t Corpuscules de Meissner de l'homme, c.t. imprégnation des cellules par l'argent \*

### Peau et téguments

- Ho632e • Peau humaine (paume de la main), glandes sudoripares, épithélium kératinisé, c.l. verticale  
 Ho633e Peau humaine (paume de la main), glandes sudoripares, épithélium kératinisé, c.l. horizontale  
 Ho6334d • Peau humaine du corps, Blanc, c.l. verticale  
 Ho6335d Peau humaine du corps, Noir, c.l. verticale  
 Ho6336f Peau humaine du corps, Blanc et Noir, c.l. verticale  
 Ho634e Peau humaine avec glandes apocrines, vertical c.l.  
 Ho635d • Cuir chevelu humain c.l. verticale, racines des cheveux, glandes sébacées  
 Ho636d • Cuir chevelu humain c.l. horizontale montrant c.t. racines des cheveux  
 Ho637e Peau humaine embryonnaire, c.l.  
 Ho638e • Extrémité du doigt de l'embryon humain, c.l. montrant le développement de l'ongle  
 Ho639f Ongle de l'homme c.t.  
 Ho640e Paupière de l'homme, c.t.  
 Ho645e • Glande mammaire de l'homme, stade actif, c.t.  
 Ho646e Glande mammaire de l'homme, stade inactif, c.t.  
 Ho648e Glande mammaire de l'homme, stade sénile, c.t.

## PATHOLOGIE HUMAINE

### Poumon et trachée

- Pa4101e Tuberculosis miliaris pulmonaire (tuberculose miliaire)  
 Pa4102e Anthracosis pulmonaire (anthracose)  
 Pa4152e Tuberculosis et anthracosis pulmonaire  
 Pa4103e Pneumonie crouposa (pneumonie croupale)  
 Pa4104e Caverne pulmonaire chronique tuberculeuse avec bacilles \*  
 Pa4105e Induration cyanotique des poumons  
 Pa4106e Pneumonie chronique  
 Pa4107e Emphysème pulmonaire chronique  
 Pa4108e Infarctus hémorragique pulmonaire  
 Pa4109e Nécrose caséeuse du poumon  
 Pa4110e Grippe pulmonaire  
 Pa4180e Pneumonie  
 Pa4250e Abscessus lumbalis  
 Pa4153e Carcinome pulmonaire  
 Pa4182f Diphtérie, trachée coupe \*

### Sang, rate et système lymphatique

- Pa4112e Infarctus de la rate  
 Pa4115e Dégénérescence amyloïde de la rate  
 Pa4123e Érysipèle de la rate  
 Pa4113g Malaria-melanemia de la rate  
 Pa4111e Tumeur myéloïde de la rate (sarcome)  
 Pa4117e Leucémie myéloïde chronique de la rate  
 Pa4124e Tuberculose lympho-glandulaire du cou  
 Pa4121e Lymphangio-endothéliome du cou  
 Pa4126e Tumeur myéloïde (sarcome) des ganglions lymphatiques  
 Pa4120e Lymphosarcome médiastinal  
 Pa4167e Tonsillitis, amygdale palatine de l'homme  
 Pa4122e Myxoma mandibulae  
 Pa4162g Leucémie, frottis de sang \*  
 Pa4163g Anémie, frottis de sang \*

### Cœur et organes vasculaires

- Pa4114e Myocardite chronique récidivante  
 Pa4116e Dégénérescence graisseuse du cœur  
 Pa4118e Callosité myocardique  
 Pa4119e Cor villosum  
 Pa4160e Artériosclérose

### Glandes

- Pa4129e Struma colloïdes (goitre colloïde)  
 Pa4165e Struma nodosa, glande thyroïde  
 Pa4164e Adénome, glande thyroïde  
 Pa4125e Carcinome de la thyroïde  
 Pa4127e Tumeur mixte (fibro-épithéliome) de la parotide  
 Pa4128e Carcinoma solidum medullare glandulae  
 Pa4232e Fibroadénome du sein  
 Pa4237e Fibrome intercanaliculaire du sein  
 Pa4234e Carcinoma scirrhosum mammae  
 Pa4247e Carcinome du sein  
 Pa4159e Adénome, glande surrénale

### Appareil digestif

- Pa4147e Œsophagite nécrosant  
 Pa4155e Carcinome, estomac  
 Pa4154e Carcinome, côlon  
 Pa4137e Adénocarcinome du gros intestin  
 Pa4184e Épaississement intestinale  
 Pa4185f Intestin après l'intoxication avec sublimé  
 Pa4166e Inflammation, appendice  
 Pa4132e Carcinoma gelatinosum recti  
 Pa4138e Colitis dysenterica Shiga-Kruse

**Foie**

- Pa4130e Tuberculosis miliaris hepatis (granulie du foie)  
 Pa4172e Dégénérescence graisseuse du foie  
 Pa4133e Dégénérescence parenchymateuse et graisseuse (stéatose) du foie  
 Pa4148e Dégénération parenchymateuse du foie (tuméfaction trouble)  
 Pa4143e Dégénérescence amyloïde du foie  
 Pa4203e Cirrhose du foie  
 Pa4134e Cirrhose pigmentaire du foie  
 Pa4141e Atrophie cyanotique du foie (foie en muscade)  
 Pa4144e Atrophia hepatica rubra  
 Pa4142e Nécrose hémorragique du foie dans l'éclampsie  
 Pa4135e Hemosiderosis hepatis  
 Pa4146e Ictère hépatique (jaunisse)  
 Pa4149e Hémangiome cavernosum hepatis  
 Pa4173e Carcinome du foie  
 Pa4140e Carcinoma hepatis, primaire  
 Pa4136e Métastases dans le foie  
 Pa4174e Péritonéal métastasis de hépatome  
 Pa4201e Métastases dans le foie d'un mélanosarcome du rectum  
 Pa4145e Leucémie lymphatique du foie  
 Pa4191e Vésicule biliaire, inflammation  
 Pa4202e Tumeur maligne de la vésicule biliaire  
 Pa4150f Syphilis congénitale du foie \*  
 Pa4131g Syphilis congénitale du foie (les spirochètes en évidence par l'argent)\*  
 Pa4139f Cirrhosis hepatis luetica \*

**Appareil urinaire**

- Pa4213e Tuberculose des reins  
 Pa4215e Dégénérescence parenchymateuse du rein  
 Pa4207e Maladie amyloïde du rein  
 Pa4218e Maladie glycolytique du rein  
 Pa4216e Néphrite aiguë  
 Pa4217e Néphrite aiguë hémorragique  
 Pa4206e Glomérulonéphrite chronique  
 Pa4210e Néphrite septique et embolique  
 Pa4205e Rein cardiaque  
 Pa4219e Atrophie granulaire du rein  
 Pa4221e Hypernéphrome du rein  
 Pa4175g Syphilis du rein  
 Pa4181e Papillome de la vessie

**Organes reproductifs**

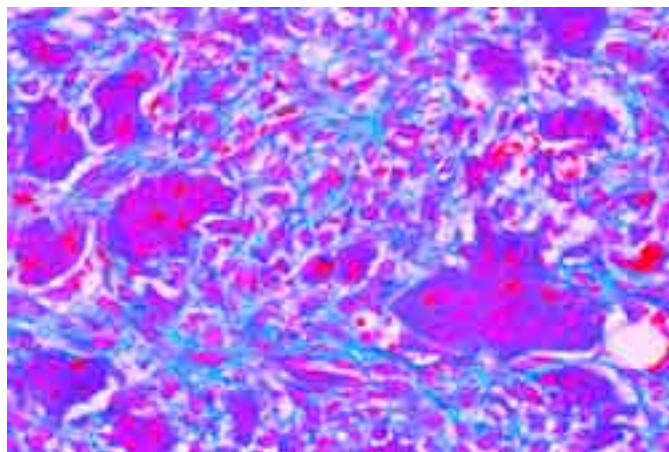
- Pa4224e Kyste de l'ovaire  
 Pa4211e Adénome papillaire de l'ovaire  
 Pa4220e Adénome de l'ovaire  
 Pa4222e Tumeur ovarienne maligne  
 Pa4169e Tératome de l'ovaire  
 Pa4204e Myome utérin  
 Pa4226e Fibrome de l'utérus  
 Pa4209e Carcinome du col utérin  
 Pa4212e Carcinome papillaire de l'utérus  
 Pa4188e Atrophie du testicule  
 Pa4214f Ectopie inguinale du testicule, montrant l'hyperplasie des cellules interstitielles de Leydig  
 Pa4187e Ictère (jaunisse) du testicule  
 Pa4223e Sarcome du testicule  
 Pa4208f Gomme du testicule  
 Pa4189f Inhibition de la spermatogénèse, testicule \*  
 Pa4225e Hypertrophie prostatique adénomateuse  
 Pa4190e Carcinoma de la prépuce

**Système nerveux**

- Pa4227e Gliome cérébral  
 Pa4228e Ganglioneurome mycélium (neurome)  
 Pa4161f Méningites

**Peau et téguments, appareil locomoteur**

- Pa4231e Hémangiome simple hypertrophique sous-cutané  
 Pa4230e Granulome au tour d'un corps étranger avec cellules géantes et hémosidérine  
 Pa4229e Thrombose d'une veine du mollet  
 Pa4248e Embolie graisseuse après fracture de la jambe  
 Pa4244e Dégénérescence (Zenker) du muscle grand droit antérieur de l'abdomen (influenza)  
 Pa4242e Myxofibrome de la paroi abdominale  
 Pa4241e Myxome de la cuisse  
 Pa4239e Sarcome de la cuisse  
 Pa4240e Fibrome de la peau  
 Pa4245e Basaloma (épithéliome épidermique basocellulaire)  
 Pa4235e Chondrome du pubis  
 Pa4238e Mélanosarcome de la peau  
 Pa4156e Carcinoma épithélial de la peau  
 Pa4233e Sarcome fuso-cellulaire  
 Pa4236f Sarcome à cellules géantes de la mâchoire supérieure (épulide)\*  
 Pa4243e Athérome capitis (kyste sébacé, loupe, tanne)\*  
 Pa4249g Pustules de la variole \*  
 Pa4246e Tissu cicatriciel

**EMBRYOLOGIE****Embryologie des mollusques (Bivalvia)**

- Em211e Embryologie des mollusques testacés (Lamellibranchiata), œufs fertilisés et non fertilisés, s.e. \*  
 Em213e Embryologie des mollusques testacés, zygote, stade à deux et quatre cellules s.e. \*  
 Em215s Embryologie des mollusques testacés, zygote, stade précoce, corpuscule globaire, lobation globaire, segmentation spirale \*  
 Em217e Embryologie des mollusques testacés, blastula, s.e.  
 Em218e Embryologie des mollusques testacés, gastrula, s.e. \*  
 Em219f Embryologie des mollusques testacés, trochophore, s.e. \*  
 Em221s Embryologie des mollusques testacés, développement de la véligère larve, plusieurs stades s.e. \*  
 Em223e Embryologie des mollusques testacés, larve véligère adulte, s.e. \*  
 Em225e Embryologie des mollusques testacés, glochide (larve), s.e.

**Embryologie des insectes**

- Em301g Acheta, grillon, œuf montrant division de maturation. \*  
 Em302g Acheta, œuf, clivage superficiel \*  
 Em3021g Acheta, œuf, premier clivage. \*  
 Em303g Acheta, œuf, clivage superficiel, noyaux se déplacent vers la surface \*  
 Em304g Acheta, œuf, feuillet germinatif \*  
 Em305g Acheta, œuf, montrant germe jeune \*  
 Em306g Acheta, œuf, blastokinèse jeune \*  
 Em307g Acheta, œuf, blastokinèse médiane \*  
 Em308g Acheta, œuf, blastokinèse âgée \*  
 Em309f Insecte, c.t. œuf, clivage superficiel, noyaux vers la surface  
 Em310f Insecte, c.t. œuf, clivage superficiel de blastoderme  
 Em311f Insecte, c.t. œuf, germe jeune avec ligne primitive  
 Em312f Insecte, c.t. œuf, germe jeune avec amnios et serosa  
 Em313f Insecte, c.t. œuf, germe jeune avec enveloppes embryonnaires  
 Em314f Insecte, c.t. œuf, germe âgée avec ectoderme et mésoderme  
 Em315f Insecte, c.t. œuf, germe âgée, région de la tête  
 Em316g Carausius, sauterelle, germe avec tête, tube neural, coelome s.e. \*  
 Em317f Carausius, c.l. sagittale, œuf, germe jeune  
 Em318f Carausius, c.l. sagittale, œuf, germe médiane  
 Em319f Carausius, c.l. sagittale, œuf, germe âgée  
 Em320f Carausius, c.l. sagittale, œuf, germe mûr, embryon pouvant éclore

**Embryologie. Oursin de mer (Psammechinus miliaris)**

- Em411d Psammechinus, développement embryonnaire. Œufs non fécondés  
 Em412d Psammechinus (Oursin de mer). Œufs fécondés  
 Em413d Psammechinus (Oursin de mer). Stade des 2 cellules  
 Em414d Psammechinus (Oursin de mer). Stade des 4 cellules  
 Em415d Psammechinus (Oursin de mer). Stade des 8 cellules  
 Em416d Psammechinus (Oursin de mer). Stade des 16 cellules  
 Em417d Psammechinus (Oursin de mer). Stade des 32 cellules.  
 Em418d Psammechinus (Oursin de mer). Morula  
 Em419d Psammechinus (Oursin de mer). Blastula  
 Em420d Psammechinus (Oursin de mer). Début de la gastrulation  
 Em421d Psammechinus (Oursin de mer). Gastrulation avancée  
 Em422d Psammechinus (Oursin de mer). Pluteus larve

**Embryologie. Étoile de mer (Asterias rubens)**

- Em431d Asterias (Étoile de mer), c.t. d'ovaire montrant des œufs en différents stades de développement  
 Em432d Asterias (Étoile de mer), c.t. du testicule montrant le développement du sperme  
 Em434e Asterias (Étoile de mer), sperme, frottis  
 Em435e Asterias (Étoile de mer), stade de la vésicule germinative



### Embryologie. Poule (*Gallus domesticus*)

- Em436e Asterias (Étoile de mer), œufs non fécondés  
 Em437e Asterias (Étoile de mer), œufs fécondés, montrant la zygote et corpuscules polaires  
 Em438e Asterias (Étoile de mer), stade montrant 2 cellules  
 Em439e Asterias (Étoile de mer), stade montrant 4 cellules  
 Em440e Asterias (Étoile de mer), stade montrant 8 cellules  
 Em441e Asterias (Étoile de mer), stade montrant 16 cellules  
 Em443e Asterias (Étoile de mer), stade montrant 32 cellules  
 Em444e Asterias (Étoile de mer), stade montrant 64 cellules  
 Em447e Asterias (Étoile de mer), blastula précoce et blastula avancée  
 Em448e Asterias (Étoile de mer), gastrula précoce et gastrula avancée  
 Em451f Asterias (Étoile de mer), larve bipinnée précoce s.e.  
 Em452f Asterias (Étoile de mer), larve bipinnée avancée s.e.  
 Em456s Asterias (Étoile de mer), larve brachéolaire, s.e.  
 Em458s Asterias (Étoile de mer), étoile de mer, jeune s.e.

### Embryologie. Amphioxus (*Branchiostoma*)

- Em511g Branchiostoma, embryologie, œufs non fécondés, s.e. \*  
 Em516k Branchiostoma, embryologie, deux à seize cellules, s.e. \*  
 Em519g Branchiostoma, embryologie, 32 et 64 cellules, s.e. \*  
 Em522g Branchiostoma, embryologie, blastula, s.e. \*  
 Em524g Branchiostoma, embryologie, gastrula, s.e. \*  
 Em526g Branchiostoma, embryologie, larve précoce, s.e. \*  
 Em528g Branchiostoma, embryologie, larve avancée, s.e. \*

### Embryologie. Grenouille (*Rana*)

- Em601f Rana (Grenouille), embryologie, œuf fécondé, c.t.  
 Em602f Rana (Grenouille), embryologie, stade montrant 2 cellules, c.t.  
 Em603f Rana (Grenouille), embryologie, stade montrant 4 cellules, c.t.  
 Em604f Rana (Grenouille), embryologie, stade montrant 8 cellules, c.t.  
 Em6045f Rana (Grenouille), embryologie, stade montrant 16 cellules, c.t.  
 Em605f Rana (Grenouille), embryologie, morula c.l.  
 Em606f Rana (Grenouille), embryologie, blastula c.l.  
 Em607f Rana, jeune gastrula c.l. formation des feuilletts germinatifs  
 Em608f Rana, gastrula tardive (stade du bouchon vitellin),  
 Em609f Rana, jeune neurula, c.t. plaque médullaire avec crêtes neurales  
 Em610f Rana, médian neurula, c.t. plaque neurale  
 Em611f Rana, vieille neurula, c.t. tube neural, région intestinal  
 Em612f Rana, vieille neurula, c.t. tube neural, région frontale  
 Em613f Rana, vieille neurula, c.l. sagittale Tube neural  
 Em614f Rana, stade du bourgeon caudal jeune, c.t. tête,  
 Em615f Rana, stade du bourgeon caudal jeune, c.t. région abdominale  
 Em616f Rana, stade du bourgeon caudal jeune, c.l. sagittale  
 Em617g Rana, stade du bourgeon caudal jeune, médiane c.l. sagittale \*  
 Em618f Rana, stade du bourgeon caudal vieille, c.t. tête  
 Em619f Rana, stade du bourgeon caudal vieille, c.t. région abdominale  
 Em6195f Rana, stade du bourgeon caudal vieille, c.t. région de pronephros  
 Em620f Rana, stade du bourgeon caudal vieille, frontale c.l.  
 Em621f Rana, embryon pouvant éclore, c.t. région de la tête  
 Em622f Rana, embryon pouvant éclore, c.t. région du cœur  
 Em623f Rana, embryon pouvant éclore, c.t. région abdominale  
 Em624f Rana, embryon pouvant éclore, c.l. sagittale  
 Em625e Rana, jeune têtard, c.t. région de la tête  
 Em626e Rana, jeune têtard, c.t. région de branchies  
 Em627e Rana, jeune têtard, c.t. région abdominale  
 Em628f Rana, jeune têtard, c.l. sagittale  
 Em629f Rana, jeune têtard, frontale c.l.  
 Em630e Rana, têtard âgée, c.t. région de la tête  
 Em631e Rana, têtard âgée, c.t. région de branchies  
 Em632e Rana, têtard âgée, c.t. région bronchiale avec poumon  
 Em633e Rana, têtard âgée, c.t. région abdominale  
 Em6333f Rana, têtard âgée, c.l. sagittale  
 Em634f Rana, têtard âgée, pied c.t.

- Em701f Gallus (poule) embryologie, disque germinatif âgé de 12 heures, c.t.  
 Em702g Gallus (poule), disque germinatif âgé de 12 - 24 heures, c.l. \*  
 Em703f Gallus (poule) embryologie, 12 - 24 heures, c.t. avec plate neural  
 Em704f Gallus (poule), 24 heures, c.t. avec plaque médullaire, somites  
 Em7042f Gallus (poule) embryologie, 24 heures, c.t. région de la tête  
 Em7043f Gallus (poule) embryologie, 24 heures, c.t. région abdominale  
 Em7044f Gallus (poule) embryologie, 24 heures, c.t. primordium du cœur.  
 Em7047f Gallus (poule) embryologie, 24 heures, c.l.  
 Em705f Gallus (poule) embryologie, 36 heures, c.t. région abdominale. Tube neural, chorda, myotome et splanchnotome  
 Em706f Gallus (poule) embryologie, 36 heures, c.t. primordium du cœur  
 Em708g Gallus (poule) embryologie, 36 - 48 heures, c.l. sagittale, formation des somites \*  
 Em709f Gallus (poule) embryologie, 48 heures, c.t. région de la tête  
 Em710f Gallus (poule) embryologie, 48 heures, c.t. région du cœur  
 Em711f Gallus (poule) embryologie, 48 heures, c.t. tube neural, mesoderme  
 Em712g Gallus (poule) embryologie, 48 heures, c.l. sagittale nœud primitif, formation de coelome, Vena terminalis \*  
 Em713g Gallus (poule) embryologie, 48 - 60 heures, horizontale c.l. primordium du cerveau, cœur, somites \*  
 Em714f Gallus (poule) embryologie, 60 heures, c.t. région de la tête  
 Em715f Gallus (poule) embryologie, 60 heures, c.t. région du cœur  
 Em716f Gallus (poule) embryologie, 60 heures, c.t. région abdominale  
 Em717f Gallus (poule) embryologie, 72 heures, c.t. région du cerveau  
 Em718f Gallus (poule) embryologie, 72 heures, c.t. région de la tête avec primordium des yeux  
 Em719f Gallus (poule) embryologie, 72 heures, c.t. région du cœur caudale  
 Em720f Gallus (poule) embryologie, 72 heures, c.t. région abdominale  
 Em722g Gallus (poule) embryologie, 72 heures, horizontale c.l.  
 Em723f Gallus (poule) embryologie, 4 - 5 jours, c.t. région de la tête  
 Em724f Gallus (poule), 4 - 5 jours, c.t. région du cœur et des yeux  
 Em725f Gallus (poule) embryologie, 4 - 5 jours, c.t. région abdominale  
 Em726g Gallus (poule) embryologie, 4 - 5 jours, c.l. sagittale \*  
 Em727f Gallus (poule) embryologie, 8 jours, c.t. région du cerveau  
 Em728f Gallus (poule) embryologie, 8 jours, c.t. région des yeux  
 Em729f Gallus (poule) embryologie, 8 jours, c.t. région arc branchial  
 Em730f Gallus (poule) embryologie, 8 jours, c.t. région cœur et poumon  
 Em731f Gallus (poule) embryologie, 8 jours, c.t. région abdominale avec foie  
 Em732f Gallus (poule) embryologie, 8 jours, c.t. région abdominale avec reins  
 Em733g Gallus (poule) embryologie, 8 jours, c.l. sagittale de sujet entière\*  
 Em751h Gallus (poule) embryologie, 16 heures, sujet entier \*  
 Em752h Gallus (poule) embryologie, 18 heures, sujet entier \*  
 Em753i Gallus (poule) embryologie, 21 heures, sujet entier \*  
 Em754i Gallus (poule) embryologie, 24 heures, sujet entier \*  
 Em756g Gallus (poule) embryologie, 28 heures, sujet entier \*  
 Em758i Gallus (poule) embryologie, 33 heures, sujet entier \*  
 Em760g Gallus (poule) embryologie, 40 heures, sujet entier \*  
 Em761i Gallus (poule) embryologie, 43 heures, sujet entier \*  
 Em762i Gallus (poule) embryologie, 48 heures, sujet entier \*  
 Em764h Gallus (poule) embryologie, 56 heures, sujet entier \*  
 Em766t Gallus (poule) embryologie, 66 heures, sujet entier \*  
 Em768k Gallus (poule) embryologie, 72 heures, sujet entier \*  
 Em770t Gallus (poule) embryologie, 80 heures, sujet entier \*  
 Em772k Gallus (poule) embryologie, 96 heures, sujet entier \*

### Embryologie. Porc (*Sus scrofa*)

- Em811h Sus scrofa (porc) embryologie, 4 mm, c.l. sagittale \*  
 Em813g Sus scrofa (porc) embryologie, 4 mm, c.t. \*  
 Em821h Sus scrofa (porc) embryologie, 6 mm, c.l. sagittale \*  
 Em823g Sus scrofa (porc) embryologie, 6 mm, c.t. \*  
 Em831h Sus scrofa (porc) embryologie, 8 mm, c.l. sagittale  
 Em833g Sus scrofa (porc) embryologie, 8 mm, c.t.  
 Em841g Sus scrofa (porc) embryologie, 11 - 12 mm, c.l. sagittale  
 Em843k Sus scrofa (porc) embryologie, 11 - 12 mm, c.l. sagittale médiane \*  
 Em845g Sus scrofa (porc) embryologie, 11 - 12 mm, c.l. frontale  
 Em846f Sus scrofa (porc) embryologie, 11 - 12 mm, c.t.  
 Em847h Sus scrofa (porc) embryologie, 11 - 12 mm, 3 c.t. typiques: tête, thorax et abdomen  
 Em848k Sus scrofa (porc) embryologies, 6, 8, and 11 mm, 3 c.t. typiques\*  
 Em849k Sus scrofa (porc) embryologies, 6, 8, and 11 mm, 3 c.l. sagittales typiques \*  
 Em851g Sus scrofa (porc) embryologie, 15 mm, c.l. sagittale  
 Em852k Sus scrofa (porc) embryologie, 15 mm, c.l. sagittale médiane \*  
 Em853g Sus scrofa (porc) embryologie, 15 mm, c.l. frontale  
 Em854f Sus scrofa (porc) embryologie, 15 mm, tête c.t.  
 Em855f Sus scrofa (porc) embryologie, 15 mm, thorax c.t.  
 Em856f Sus scrofa (porc) embryologie, 15 mm, abdomen c.t.  
 Em858i Sus scrofa (porc) embryologie, 15 mm, 3 c.t. typiques: tête, thorax et abdomen  
 Em861g Sus scrofa (porc) embryologie, 20 - 25 mm, c.l. sagittale  
 Em862i Sus scrofa (porc) embryologie, 20 - 25 mm, c.l. sagittale médiane  
 Em863g Sus scrofa (porc) embryologie, 20 - 25 mm, c.l. frontale  
 Em865f Sus scrofa (porc) embryologie, 20 - 25 mm, tête c.t.  
 Em866f Sus scrofa (porc) embryologie, 20 - 25 mm, thorax c.t.  
 Em867f Sus scrofa (porc) embryologie, 20 - 25 mm, abdomen c.t.  
 Em869i Sus scrofa (porc) embryologie, 20 - 25 mm, 3 c.t. typiques: tête, thorax et abdomen



## BACTERIA - BACTÉRIES

### Coques (formes sphériques)

- Ba117e • *Diplococcus pneumoniae*, microbe de la pneumonie lobaire
- Ba118d *Gaffkya tetragena*, frottis de culture
- Ba113d *Micrococcus roseus*, frottis de culture
- Ba110e *Neisseria catarrhalis*, frottis de culture
- Ba111f • *Neisseria gonorrhoeae*, gonocoques \*
- Ba1113e • *Neisseria meningitidis* (intracellularis), méningites, frottis de culture\*
- Ba114d • *Sarcina lutea*, microbes aérobies, bâtonnets chromogènes, frottis de culture
- Ba112d • *Staphylococcus aureus*, staphylocoques, microbe du pus, frottis de culture
- Ba1123d *Staphylococcus epidermidis*, frottis de culture
- Ba1163d *Streptococcus faecalis*, frottis de culture
- Ba116d • *Streptococcus lactis*, frottis de lait, avec chaînes courtes
- Ba115e • *Streptococcus pyogenes*, microcoques en chaîne
- Ba1151d *Streptococcus pyogenes*, frottis de culture, avec chaînes courtes
- Ba1165f *Streptococcus* hémolytiques, empoisonnement du sang, frottis du sang

### Bacilles (formes de tige), non sporifères, gram positif

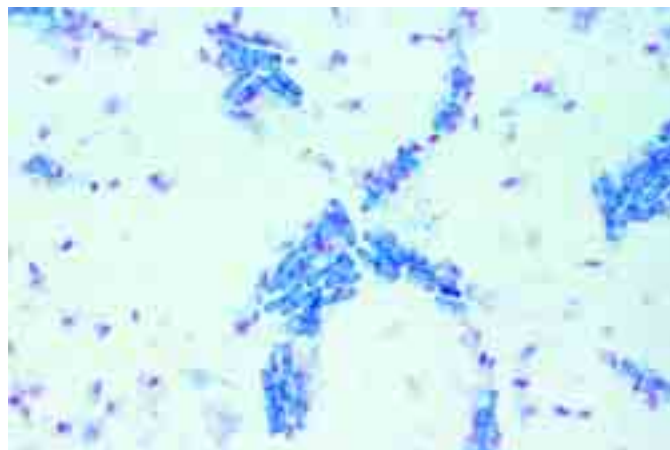
- Ba136d • *Corynebacterium diphtheriae*, bacille de la diphtérie, (Löffler)
- Ba137f *Corynebacterium diphtheriae*, coloration des corpuscules polaires
- Ba127d • *Lactobacillus bulgaricus* (Thermobac.), bacille du lait caillé (yoghourt)
- Ba1272e *Lactobacillus casei*, bactéries du fromage et du lait
- Ba135h *Mycobacterium leprae*, bacille de la lèpre, frottis ou coupe \*
- Ba131d *Mycobacterium tuberculosis*, frottis de culture
- Ba132e • *Mycobacterium tuberculosis*, frottis d'expectoration positive. Coloration double de Ziehl-Neelsen
- Ba133g *Mycobacterium tuberculosis*, coupe de tissu pathologique \*

### Bacilles (formes de tige), non sporifères, gram négatif

- Ba153d • *Acetobacter aceti*, bacille du vinaigre
- Ba1385d *Aerobacter aerogenes*, frottis de culture
- Ba155d • *Azotobacter*, bactéries du sol, frottis
- Ba139e *Bacterium erysipelas*, de l'érysipèle, frottis \*
- Ba151d *Bacterium prodigiosum*
- Ba1502d • *Brucella abortus*, agent pathogène de maladie de Bang (Brucellose),
- Ba144d • *Eberthella typhi*, bacille de la typhoïde, frottis
- Ba1416e *Erwinia amylovora*, maladie de fruits, frottis
- Ba1417e *Erwinia caratovora*, maladie de légumes, frottis
- Ba1418e *Erwinia caratovora*, tissu de l'hôte avec bactéries, c.t.
- Ba143d • *Escherichia coli*, colibacilles, frottis
- Ba150d • *Hemophilus influenzae*, bacille de la grippe
- Ba138e • *Klebsiella pneumoniae*, bacille de Friedländer
- Ba158f *Pasteurella* (*Yersinia*) *pestis*, peste, frottis
- Ba1505d *Pasteurella pseudotuberculosis*, frottis de culture
- Ba142d • *Proteus vulgaris*, bactéries de la putréfaction, frottis
- Ba1425d *Pseudomonas aeruginosa*, frottis de culture
- Ba1426e *Pseudomonas solanacearum*, maladie de tabac, frottis
- Ba1427e *Pseudomonas solanacearum*, tissu de l'hôte avec bactéries, c.t.\*
- Ba141d • *Rhizobium radicum*, frottis
- Ba140d *Rhizobium radicum*, (nodosités des légumineuses), coupe
- Ba146d • *Salmonella enteritidis*, bacille de Gärtner
- Ba145d • *Salmonella paratyphi*, bacille de la fièvre paratyphoïde
- Ba147d *Salmonella pullorum*, bacille de la dysenterie des poussins
- Ba149d • *Shigella dysenteriae*, bacille de la dysenterie
- Ba1493d *Shigella sonnei*, frottis de culture
- Ba1428e *Xanthomonas phaseoli*, maladie de haricots, tissu de l'hôte avec bactéries, c.t.

### Bacilles (formes de tige), sporifères

- Ba1263d • *Bacillus anthracis*, frottis de culture
- Ba125f *Bacillus anthracis*, bacille du charbon, frottis de rate infectée
- Ba1265f *Bacillus anthracis*, coloration de spores \*
- Ba126g *Bacillus anthracis*, coupe d'un tissu pathologique \*
- Ba120d *Bacillus cereus*, bactéries du sol, frottis de culture
- Ba1202f *Bacillus cereus*, coloration de spores
- Ba134d *Bacillus larvae*, pathogène des abeilles
- Ba124d *Bacillus megaterium*, bactéries du sol, frottis de culture
- Ba123d • *Bacillus mesentericus*, frottis
- Ba122d • *Bacillus mycoides*, bactéries du sol, grandes organismes
- Ba121d • *Bacillus subtilis*, frottis avec bacilles et spores
- Ba1303e • *Clostridium botulinum*, intoxication, frottis
- Ba1285d *Clostridium perfringens*, gangrène, frottis
- Ba1287f *Clostridium perfringens*, frottis coloration de spores
- Ba128d *Clostridium septicum*, bactérie de la septicémie, frottis
- Ba130f • *Clostridium tetani*, coloration des spores de Ziehl
- Ba129e *Clostridium septicum*, bactérie de la septicémie, frottis



### Spirilles et spirochètes

- Ba164f • *Vibrio comma*, bacille du choléra, frottis
- Ba161e • *Spirillum volutans*, très grands organismes
- Ba162d *Spirillum serpens*, dans l'eau croupie
- Ba163d *Spirillum undula*, dans l'eau
- Ba165d • *Rhodospirillum rubrum*, (putréfaction), culture
- Ba167g • *Spirochaeta duttoni*, (fièvre récurrente), frottis de sang, col. de Giemsa
- Ba170h • *Treponema pallidum*, spirochète de la syphilis, coupe imprégnée à l'argent, suivant Levaditi

### Groupes divers

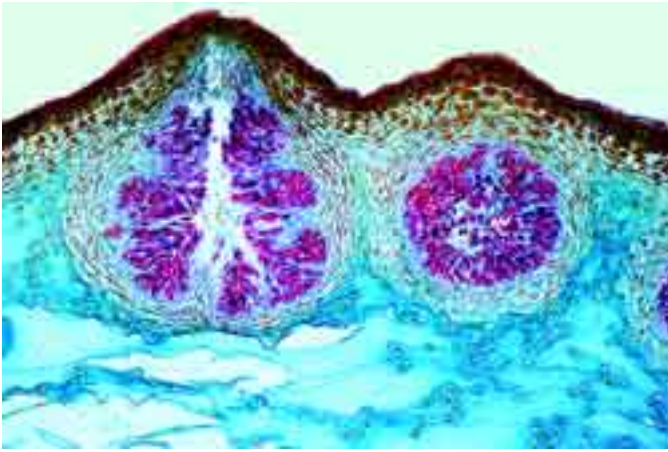
- Ba1528d *Actinomyces alni*, racine avec bactéries symbiotiques, c.t.
- Ba1526f *Actinomyces bovis*, actinomycose, tissu de l'hôte avec bactéries
- Ba1525e *Actinomyces*, actinomycose, frottis
- Ba157e *Caulobacter*, frottis
- Ba193d *Galionella*, ferrobactéries, frottis
- Ba191d *Methanobacterium*, méthane, frottis
- Ba190d • *Sphaerotilus natans*, microbes des eaux d'égout en chaîne, frottis
- Ba152d • *Streptomyces griseus*, streptomycine
- Ba192d *Thiocystis* ou *Lamprocystis*, sulfobactéries, frottis
- Ba250e *Tobacco mosaïque*, virus, tissu de l'hôte c.t.\*

### Bactéries typiques, préparations composées

- Ba171d • Bactéries du dépôt dentaire. Flore buccale montrant des bactéries Gram positives et négatives
- Ba201e • Types de bactéries: 3 frottis montrant des coques, des bacilles et des spirilles, dans une même préparation
- Ba203e • Types de bactéries: mélange de cultures différentes
- Ba2061d Cocci, coques, Gram-negative, frottis
- Ba2062d Cocci, coques, Gram-positive, frottis
- Ba2071d Cocci, coques en chaîne (streptococcies), frottis
- Ba2072d Cocci, coques en morceau (staphylococcies), frottis
- Ba2051d Bacilli, Gram negative, frottis
- Ba2052d Bacilli, Gram-positive, frottis
- Ba2065d Bacilli, spirilles en chaîne (streptobacilles), frottis
- Ba209d Spirilli, spirilles, frottis
- Ba181d Bactéries de levain, frottis
- Ba182d Bactéries de fromage, frottis ou coupe
- Ba183d Bactéries du lait caillé, frottis
- Ba184d Bactéries de l'intestin humain, frottis
- Ba185d Bactéries du Yoghourt, frottis
- Ba186d Bactéries de la choucroute, frottis
- Ba187d Bactéries de l'eau croupie, mélange

### Cytologie et colorations spéciales

- Ba2081d Bactéries typiques, montrant Gram-positive et Gram-negative microbes, frottis
- Ba210g Lophotriche flagella, *Spirillum*, coloration spéciale \*
- Ba212g Monotriche flagella, *Vibrio* ou *Pseudomonas*, coloration spéciale \*
- Ba211g Peritriche flagella, *Salmonella* ou *Proteus*, coloration spéciale \*
- Ba221f Coloration des capsules (*Klebsiella pneumoniae*), frottis coloration spéciale
- Ba224g Coloration des noyaux (*Bacillus cereus*), frottis coloration spéciale (DNA) \*
- Ba225t Division cellulaire (*Bacillus cereus*), coloration de Feulgen \*
- Ba229f Granules métachromatiques (*Corynebacterium diphtheriae*), frottis coloration spéciale
- Ba226f Coloration des spores (*Bacillus subtilis*), coloration double des bacilles et des spores centrales
- Ba228f Coloration des spores (*Clostridium botulinum*), coloration double des bacilles et des spores subterminales



## ALGAE - ALGUES

### Cyanophyceae - Cyanophycées (Algues bleues)

- Ag111c • Oscillatoria, algue bleue filiforme  
 Ag112d Oscillatoria, coupe mince  
 Ag1123c Oscillatoria, coloration des gaines gélatineuses  
 Ag113c • Nostoc, cyanophycée, colonies filiformes avec hétérocystes et gaines gélatineuses  
 Ag114d Nostoc, coupe mince  
 Ag1146f Nostoc, coloration de Feulgen\*  
 Ag1145d Nostoc gunnerae, algues symbiotiques, c.t. tige de Gunnera  
 Ag1147c Nostoc zetterstettii, filaments  
 Ag1148c Nostoc caeruleum, filaments  
 Ag1151f Anabaena ou Oscillatoria, coloration des chromidies (équivalent du noyau).  
 Ag115c • Anabaena, algue bleue filiforme avec hétérocystes  
 Ag1156d Aphanizomenon, algue bleue filiforme  
 Ag1157d Aphanothece, algues bleues unicellulaires  
 Ag1153d Arthrospira, filaments  
 Ag1205c Beggiatoa, algue bleue sans chlorophylle  
 Ag117c • Chroococcus, algue bleue unicellulaire  
 Ag1162d Cylindrospermum, algue bleue avec hétérocystes.  
 Ag1152d Fischerella (Hapalosiphon), filaments avec ramifications  
 Ag116c • Gloeocapsa, petites colonies en gaines gélatineuses  
 Ag119c • Gloeotrichia, algue bleue  
 Ag1166d Lyngbya, filaments avec gaines gélatineuses.  
 Ag1164d Merismopedia, colonies  
 Ag1176c • Microcystis, colonies  
 Ag1207d Ophridium versatile, algue bleue avec hétérocystes  
 Ag118c Rivularia, algue bleue  
 Ag120c Scytonema, algue bleue  
 Ag1172d Spirulina, algue bleue  
 Ag1174d Stigonema, filaments avec ramifications.  
 Ag1155c Tolypothrix, filaments avec faux embranchement.  
 Ag1201d Algues bleues, mélange de plusieurs espèces.

### Diatomeae - Diatomées

- Ag121c • Diatomées d'eau douce, actuelles  
 Ag122c • Diatomées d'eau douce, fossiles  
 Ag123c • Diatomées marines, actuelles  
 Ag124c • Diatomées marines, fossiles  
 Ag131d • Diatomées, coloration des chromatophores  
 Ag1321d Diatomées d'eau douce, coloration des chromatophores  
 Ag1322d Diatomées marines, coloration des chromatophores  
 Ag133c Kieselguhr (silice), mélange de plusieurs espèces fossiles  
 Ag141f Pleurosigma angulatum, diatomées-tests  
 Ag142f Surirella gemma, diatomées-tests  
 Ag143d Synedra ulna, diatomées d'eau douce  
 Ag144e Arachnoidiscus, diatomées marines  
 Ag1441e Coscinodiscus, diatomées marines  
 Ag1442e Triceratium and Tricnaria, diatomées marines  
 Ag149d Silicoflagellates, Distephanus etc.

### Conjugatae - Conjuguées

- Ag151c • Spirogyra, chloroplastes spiralés, état végétatif  
 Ag1512d Spirogyra, état végétatif, espèce grande  
 Ag1513d Spirogyra, état végétatif, espèce petite  
 Ag152e • Spirogyra, conjugaison scalariforme et zygotes suivant une conjugaison, p.e.  
 Ag153e Spirogyra, montrant formation de zygotes  
 Ag154e Spirogyra, conjugaison latérale\*  
 Ag1542e Spirogyra, conjugaison scalariforme et zygotes suivant une conjugaison, espèce grande

- Ag155c • Zygnema, chloroplastes étoilés, état végétatif  
 Ag156e Zygnema, en conjugaison, formation des zygotes  
 Ag1565c Mougeotia, filaments végétatifs  
 Ag158d Cosmarium, desmidiales  
 Ag157d • Closterium, desmidiales  
 Ag159d Mesothaenium, desmidiales  
 Ag160d • Micrasterias, desmidiales  
 Ag161d Staurastrum, desmidiales  
 Ag162d Hyalotheca, desmidiales  
 Ag165e • Desmidiales, mélange de plusieurs espèces

### Chlorophyceae - Chlorophycées (Algues vertes)

- Ag1923e Acetabularia, algues marines  
 Ag1925d Bryopsis, algues marines vertes  
 Ag1722d Bulbochaete, algues sessiles  
 Ag1725d Carteria, algues vertes unicellulaires avec flagelles  
 Ag1907d Chaetophora, filaments avec ramifications  
 Ag171c • Chlamydomonas, algues vertes unicellulaires  
 Ag1711f Chlamydomonas, coloration spécial montrant flagella \*  
 Ag191c • Chlorella, algue verte unicellulaire  
 Ag1902d Chlorococcus  
 Ag182c • Cladophora, filaments ramifiés avec cellules multinuclées  
 Ag1904d Coelastrum, colonies de cellules  
 Ag1908d Coleochaete, une espèce de sol  
 Ag183c • Cladophora, filaments ramifiés avec cellules multinuclées  
 Ag1723d Dysmorphococcus, flagellates avec coques  
 Ag192d • Enteromorpha, algue marine, en tubes non cloisonnés Characées  
 Ag1757d Eremosphaera, algues unicellulaires  
 Ag174d • Eudorina elegans, colonies sphériques, la plupart de 32 cellules  
 Ag172d • Gonium pectorale, colonies en forme de disque  
 Ag1721f Gonium sp., coloration spécial montrant flagella \*  
 Ag1715c • Haematococcus, algues unicellulaires rouges  
 Ag180d • Hydrodictyon, colonies en réseau  
 Ag184c • Oedogonium, algues en filaments non ramifiés  
 Ag188d Oedogonium, avec oospores  
 Ag189d Oedogonium, avec androspores  
 Ag173d • Pandorina, colonies sphériques, la plupart de 16 cellules  
 Ag177d • Pediastrum, colonies plates  
 Ag1724d Pithophora, algue tropical  
 Ag1743d Platydorina, cénobies avec flagella  
 Ag1742d Pleodorina, colonies  
 Ag179c • Pleurococcus, algues vertes des écorces d'arbres  
 Ag1905d Protosiphon, thalle avec rhizoïdes  
 Ag178d • Scenedesmus, systèmes cellulaires en files  
 Ag1832d Stigeoclonium, filaments avec ramifications  
 Ag1756d Tetracystis, colonies de quatre cellules  
 Ag1755d Tetraspora, cellules à enveloppe colloïde  
 Ag181c • Ulothrix, filaments non ramifiés, avec chloroplastes en ceinture  
 Ag185d • Ulva lactuca, laitue de mer, thalle  
 Ag1852d Ulva lactuca, laitue de mer, thalle avec gamètes  
 Ag1862e • Vaucheria geminata, avec organes reproducteurs  
 Ag186d Vaucheria' algue d'eau douce en filaments non cloisonnés  
 Ag175e • Volvox, algues en sphère, avec colonies filles  
 Ag1752f Volvox, coloration spéciale montrant flagella  
 Ag1916d Flagellates, mélange, espèces diverses  
 Ag1915d Algues vertes, mélange, espèces diverses

### Chrysophyceae - Chrysophycées

- Ag195d • Dinobryon, chrysophycées à colonies  
 Ag197d Hydrurus, chrysophycées à enveloppe colloïde  
 Ag199d Ochromonas, chrysophycées montrant flagella  
 Ag198d Tribonema, chrysophycées, filaments

### Charophyceae - Charophycées

- Ag211d • Chara, thalle avec organes reproducteurs  
 Ag212c Chara, thalle, c.t.  
 Ag2121e Chara, thalle avec organes reproducteurs c.l.  
 Ag2122e Chara, anthéridie avec tissu spermatogène, p.e.  
 Ag2125f Chara, apex de la tige végétative c.l. \*  
 Ag213d Nitella, avec organes reproducteurs

### Phaeophyceae - Phéophycées

- Ag221d • Fucus vesiculosus, varech, conceptacle mâle avec anthéridies, c.t.  
 Ag222d • Fucus vesiculosus, conceptacle femelle avec oogones, c.t.  
 Ag2224e Fucus vesiculosus, conceptacle mâle et conceptacle femelle c.t.  
 Ag223d Fucus platycarpus, conceptacle hermaphrodite c.t.  
 Ag2234d Fucus serratus, conceptacle mâle avec anthéridies, c.t.  
 Ag2235d Fucus serratus, conceptacle femelle avec oogones, c.t.  
 Ag2236e Fucus serratus, conceptacle mâle et conceptacle femelle c.t.  
 Ag237g Fucus, apex de la tige végétative c.l. \*  
 Ag239d Ascophyllum nodosum, conceptacle mâle c.t.  
 Ag233e Dictyota, thalle avec tétraspores c.t. \*  
 Ag234e Dictyota, thalle avec oogones c.t. \*  
 Ag235e Dictyota, thalle avec anthéridies c.t. \*  
 Ag238g Dictyopteris, apex de la tige végétative c.l. \*



- Ag225d • Ectocarpus, algue en filaments, gamétanges multiloculaires
- Ag2252d • Ectocarpus, sporanges uniloculaires \*
- Ag2393d • Elachista fucicola, sporanges uniloculaires
- Ag231d • Himanthalia lorea, conceptacle mâle, c.t.
- Ag232d • Himanthalia lorea, conceptacle femelle, c.t.
- Ag228c • Laminaria, thalle c.t.
- Ag230d • Pylaiella litoralis, sporanges uni- et multiloculaires
- Ag2302d • Pylaiella litoralis, montrant formation de zoospores
- Ag229d • Sargassum, thalle avec conceptacles c.t.
- Ag2395d • Sphacelaria sp., thalle avec bulbes

### Rhodophyceae - Rhodophycées

- Ag241d • Polysiphonia ou Rhodomela, algue rouge marine, anthéridies
- Ag242d • Polysiphonia ou Rhodomela, cystocarpes
- Ag243d • Polysiphonia ou Rhodomela, tétraspores
- Ag250d • Audouinella, algue rouge d'eau douce
- Ag251d • Bangia, algue rouge d'eau douce. \*
- Ag246d • Batrachospermum, algue en frai de grenouilles, algue rouge d'eau douce
- Ag244d • Ceramium, thalle avec tétraspores
- Ag2445d • Corallina, algue rouge marine
- Ag254d • Dasya, algue rouge marine avec filaments ramifiés
- Ag255d • Furcellaria, algue rouge marine
- Ag253d • Lemanea, algue rouge d'eau douce
- Ag245d • Nematium, thalle, avec organes reproducteurs
- Ag252d • Porphyridium, c.t.
- Ag256c • Porphyra, algue rouge d'eau douce

## FUNGI - CHAMPIGNONS

### Myxomycetes - Myxomycètes

- Fu112d Arcyria, myxomycètes, avec corpuscules reproducteurs
- Fu1182e Ceratiomyxa, myxomycète primitive \*
- Fu118e Dictydium, corpuscule reproducteur
- Fu115e • Fuligo, myxomycètes, corpuscule reproducteur t.s. \*
- Fu113d Hemitrichia, myxomycètes, corpuscule reproducteur. \*
- Fu114d Lycogola, myxomycètes, corpuscule reproducteur
- Fu119g Myxoflagellatae, myxamoebae et plasmodia \*
- Fu117e Physarum, corpuscule reproducteur
- Fu116e • Spongospora subterranea, maladie de la pomme de terre c.t.
- Fu111d • Stemonitis, capillitium, entier

### Phycomycetes - Phycomycètes

- Fu1253e Achlya, champignon inférieur aquatique avec oogones, anthéridies et zoosporanges
- Fu127d • Albugo candida (Cystopus), rouille blanche des crucifères, formation de conidies sur une bourse-à-pasteur, c.t.
- Fu128d Albugo candida, oogones et zygotes, c.t.
- Fu140d Candida albicans, maladie de l'homme
- Fu138e • Empusa muscae, parasite des insectes c.t.
- Fu129c • Mucor mucedo, mucorinée, moisissure, mycélium et sporanges
- Fu1291e • Mucor mucedo, moisissure, formation de zygospores
- Fu124d • Peronospora parasitica, parasite des crucifères
- Fu1242e Peronospora tabacina, maladie de tabac, tissu avec sporanges
- Fu135d • Phytophthora infestans, maladie de la pomme de terre c.t.
- Fu133e Pilobolus, mycélium et sporanges \*
- Fu121c • Plasmodiophora brassicae, agent de la hernie du chou, tissu de l'hôte. avec spores, c.t.
- Fu123d • Plasmopara viticola, mildiou de la vigne, feuille avec conidies, c.t. .
- Fu130c • Rhizopus, moisissure, mycélium et sporanges.
- Fu131d • Rhizopus, formation de zygospores
- Fu132f Rhizopus, sporanges et zygospores
- Fu136e Rhizophyidium pollinis, à grains de pollen de Pinus \*
- Fu125d • Saprolegnia, siphomycète aquatique, stades sexués
- Fu122d • Synchytrium endobioticum, cancer de la pomme de terre, c.t.

### Ascomycetes - Ascomycètes

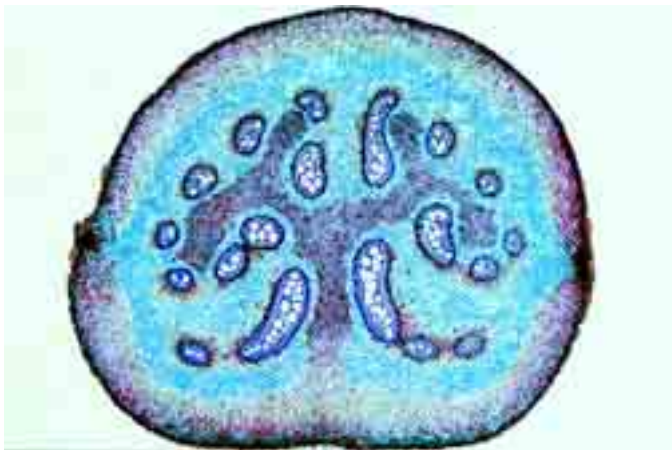
- Fu163c • Aspergillus, moisissure en forme de goupillon
- Fu1631d Aspergillus, périthèces (cleistothèces)
- Fu172c Botrytis allii, parasite de l'oignon, c.t.
- Fu180d Cladosporium, deutéromycète, à fibres textiles
- Fu149c • Claviceps purpurea, agent de l'ergot du seigle, sclérote, c.t.
- Fu150e • Claviceps purpurea, stroma avec périthèces et asques, c.t.
- Fu142e • Erysiphe pannosa, parasite du rosier, conidies, c.t.
- Fu144e Erysiphe sp. périthèces p.e.
- Fu1441d Erysiphe sp., feuille infecté avec périthèces c.t. \*
- Fu154c Lachnea, apothécie avec asques c.t.
- Fu158c • Morchella edulis, morille, stroma avec asques et spores, c.t.
- Fu177c Morchella, asques et ascospores dissociées p.e.
- Fu161c • Penicillium, moisissure, mycélium et conidiophores p.e.
- Fu162d Penicillium, tissu infecté avec mycélium et conidiophores
- Fu153c • Peziza, apothécie avec asques, c.t.
- Fu143d Podospaera leucotricha, agent de l'oïdium du pommier, c.t.
- Fu171c • Rhytisma acerinum, parasite de l'éradle, sclérotés, c.t.
- Fu164b • Saccharomyces cerevisiae, levure
- Fu1643d Saccharomyces octosporus, levure, asques et ascospores \*



- Fu1644d Saccharomyces sp., levure, stades de division sexuel \*
- Fu179e Moisissures, préparation composée: Aspergillus, Rhizopus et Penicillium
- Fu155c • Sclerotinia fructigena (Monilia albicans), agent de la moniliose des arbres fruitiers, formation des conidies, c.t.
- Fu178e Sordaria fimicola, type sauvage. Périthèces et spores
- Fu1781e Sordaria fimicola, type mutant brun. Périthèces et spores
- Fu1782e Sordaria fimicola, type mutant gris. Périthèces et spores
- Fu148d Sphaerotheca mors uvae, agent de l'oïdium du groseille à maquereau, fruit hôte avec périthèces c.t.
- Fu141d • Exoascus pruni (Taphrina), agent de la cloque du prunier tissu de l'hôte avec asques, c.t.
- Fu1413e Taphrina deformans, feuille infecté avec asques et ascospores c.t.
- Fu1415d Taphrina sp., feuille infecté c.t.
- Fu152c • Tuber rufum, truffe, fructification avec hyménium et asques
- Fu146d • Uncinula necator (Oidium tuckeri) agent de l'oïdium de la vigne, c.t.
- Fu145d Uncinula salicis, sur une feuille de saule, c.t.
- Fu156c • Venturia pirinum (Fusicladium), agent de la tavelure du poirier, conidies, c.t.
- Fu157d Venturia sp., feuille infecté avec périthèces \*

### Basidiomycetes - Basidiomycètes

- Fu227c • Boletus edulis, bolet comestible, chapeau, c.t.
- Fu2271c Boletus edulis, bolet comestible, chapeau, c.t.
- Fu233d Coleosporium tussilaginis, écidies sur un tussilage, c.t.
- Fu228c • Coprinus, chapeau c.t. avec basides typiques et spores
- Fu229d Coprinus, sujet entier. c.t.
- Fu2461e Cronartium ribicola, c.t. de écorce de Pinus, montrant pycnides
- Fu2462e Cronartium ribicola, c.t. de feuille de Ribes, montrant téléutospores
- Fu2463e Cronartium ribicola, c.t. de tige de Pinus, montrant écidies
- Fu236d Cryptomyces pteridis, spores sur la fougère grand aigle, c.t.
- Fu240d Geaster, corpuscule reproducteur c.t.
- Fu222d Gymnosporangium sabinae, agent de la rouille du poirier, téléutospores, c.t.
- Fu223d Gymnosporangium sabinae, pycnides sur une feuille, c.t.
- Fu224d Gymnosporangium sabinae, écidies sur une feuille, c.t.
- Fu2242f Gymnosporangium sabinae, écidies et pycnides dans le même préparation, c.t.
- Fu245d Hydnum, basidiocarpe et spores, c.t.
- Fu230c • Lycoperdon bovista (vesse-de-loup), c.t.
- Fu231c Lycoperdon gemmatum, corpuscule reproducteur c.t.
- Fu2452d Phragmidium, téléutospores c.t.
- Fu244d • Polyporus, corpuscule reproducteur jeune, c.t.
- Fu226c • Psalliota campestris (champignon de couche), chapeau, c.t.
- Fu2263d Psalliota campestris, corpuscule reproducteur jeune l.s.
- Fu215d • Puccinia graminis, agent de la rouille du blé, urédospores sur une tige de blé, c.t.
- Fu216d • Puccinia graminis, téléutospores sur une tige de blé, c.t.
- Fu217e Puccinia graminis, urédospores et téléutospores, c.t.
- Fu218d • Puccinia graminis, écidies et pycnides sur une feuille d'épine-vinette, c.t.
- Fu2195s Puccinia graminis, c.t. de 4 préparations: urédospores, téléutospores, écidies et pycnides
- Fu221d Puccinia coronifera, la rouille de l'avoine, téléutospores, c.t.
- Fu225d • Scleroderma vulgare, sujet jeune, c.t.
- Fu250d Scleroderma sp., mycélium isolé pour montrer la formation de basides très clairement \*
- Fu235d Uromyces pisi, agent de la rouille du pois
- Fu211d • Ustilago zeae, agent du charbon du maïs, prolifération du tissu de l'hôte avec spores, c.t.
- Fu212b Ustilago zeae. spores, entières
- Fu213b Ustilago tritici, agent du charbon du blé, spores, entières
- Fu214b Ustilago avenae, agent du charbon de l'avoine, prolifération du tissu de l'hôte avec spores, c.t.
- Fu2141d Ustilago avenae, tige infecté, c.t.
- Fu243f Bois infecté avec champignon, c.t. montrant hyphes et mycélium
- Fu219f Téléutospores germinatives avec basides et spores p.e. \*



## LICHENES - LICHENS

- Li103d • Physcia, lichen, thalle avec algues symbiotiques, c.t.
- Li104d • Physcia, lichen, apothécies avec asques et spores, c.t.
- Li105d • Xanthoria, lichen, thalle avec algues symbiotiques, c.t.
- Li106d • Xanthoria, lichen, apothécies avec asques et spores, c.t.
- Li124d Cladonia, lichen polaire, thalle c.t.
- Li125d Cladonia, lichen polaire, apothécies avec asques et spores, c.t.
- Li115d Usnea barbata, fructification, c.t.
- Li117d Usnea barbata, apothécie, c.t.
- Li112d Lobaria pulmonaria, thalle avec rhizoïdes, c.t.
- Li114d Peltigera, thalle ou apothécie, c.t.
- Li120c Lichen sp., sorédia p.e.
- Li121e Lichen sp., sorédia c.t.
- Li130d Lichen sp., sorédia isolées avec algues circulaires \*
- Li131d Lichen sp., sorédia isolées avec algues filiformes \*

## BRYOPHYTA - BRYOPHYTES

### Hepaticae - Hépatiques

- Br101f • Anthoceros, hépatique, sporogone, c.l.
- Br102e Anthoceros, thalle avec anthéridies, c.l.
- Br1025c Anthoceros, thalle c.t.
- Br108d Conocephalum, hépatique, thalle c.t.
- Br1085e Conocephalum, anthéridies, c.l. \*
- Br109e Conocephalum, sporophyte c.l. montrant spores avec élatères
- Br120c Jungermanniales sp., tige et feuilles p.e.
- Br1193g Pellia epiphylla, hépatique, anthéridies c.l. \*
- Br1194h Pellia epiphylla, hépatique, archégonies c.l. \*
- Br1195f Pellia epiphylla, sporophyte c.l.
- Br1093f Porella, hépatique, porte-anthéridies c.l.
- Br1094f Porella, porte-archégonies c.l.
- Br1095e Porella, sporophyte jeune c.l. \*
- Br1096e Porella, sporophyte âgé c.l. \*
- Br104d Riccia natans, hépatique, thalle p.e.
- Br105e Riccia natans, thalle avec anthéridies \*
- Br106g Riccia natans, thalle avec archégonies \*
- Br107e Riccia natans, sporophyte l.s.\*
- Br1075e Ricciocarpus, hépatique, thalle c.t. avec organes sexuels
- Br1076e Ricciocarpus, thalle c.t. avec sporophyte
- Br111c • Marchantia, hépatique, thalle avec chambres d'air c.t.
- Br118c Marchantia, rhizoïdes, s.e.
- Br112d • Marchantia, cupule avec cayeux, c.t.
- Br113d Marchantia, cayeu, s.e.
- Br114d • Marchantia, porte-archégonies, avec archégonies, c.l.
- Br1141h Marchantia, c.l. médiane de archégonie jeune \*
- Br1142g Marchantia, c.l. médiane de archégonie âgé \*
- Br115d • Marchantia, porte-anthéridies avec anthéridies, c.l.
- Br1151g Marchantia, c.l. médiane de anthéridie \*
- Br1152d Marchantia, c.l. horizontale de anthéridies
- Br1153f Marchantia, porte-archégonies et porte-anthéridies, c.l.
- Br1154e Marchantia, spermatozoïdes \*
- Br116d • Marchantia, sporulation d'un sporophyte jeune, c.l.
- Br117d • Marchantia, sporophyte plus âgé avec spores mûres, c.l.
- Br1171f Marchantia, c.l. médiane de sporophyte plus âgé \*
- Br1185g Marchantia, hépatique, c.t. de 4 préparations: cupule avec cayeux, anthéridies, archégonies et sporophyte

## Musci - Mousses

- Br129d Mnium, mousse, tige, c.t. : voie de conduction centrale et tissu de l'écorce
- Br130d • Mnium, voie de conduction centrale, c.l.
- Br131d • Mnium, feuille avec chloroplastes, c.t.
- Br132d • Mnium, feuille avec chloroplastes, c.t. vue par-dessus
- Br125e • Mnium, anthéridies c.l.
- Br1251g Mnium, c.l. médiane de anthéridie \*
- Br1252e Mnium, anthéridies isolées p.e.
- Br1254e Mnium, mousse, spermatozoïdes \*
- Br126e • Mnium, archégonies c.l.
- Br1261g Mnium, c.l. médiane de archégonies \*
- Br1262e Mnium, archégonies isolées p.e.
- Br1265d • Mnium, sporophyte avec spores, c.l.
- Br1266d • Mnium, sporophyte avec spores, c.t.
- Br127d • Polytrichum ou Mnium, protonéma p.e.
- Br1275e Mnium, tige jeune avec feuilles p.e. \*
- Br1325t Mnium, mousse, 4 préparations: anthéridies c.l., archégonies c.t., sporophyte c.l. et protonéma p.e.
- Br121c • Polytrichum, mousse, tige, c.t., voie de conduction et tissu de l'écorce
- Br1212d Polytrichum, tige avec feuilles c.l.
- Br1214c Polytrichum, seta c.t.
- Br122d • Polytrichum, feuilles, c.t.
- Br1223e Polytrichum, anthéridies c.l.
- Br1226e Polytrichum, archégonies c.l.
- Br123d Polytrichum, sporogone avec spores, c.l.
- Br124d Polytrichum, sporogone avec spores, c.t.
- Br1242d Polytrichum, sporogone jeunes avec spores, c.l.
- Br1244c • Polytrichum, péristome (zone buccale)
- Br1246d Polytrichum, protonéma
- Br134c • Sphagnum, sphaigne, feuille avec cellules chlorophylliennes et hyalines, s.e.
- Br135d Sphagnum, tige avec feuilles c.t.
- Br136e Sphagnum, anthéridies c.l.\*
- Br137f Sphagnum, archégonies c.l.\*
- Br138d Sphagnum, sporogone jeunes avec spores, c.l.
- Br133d Tortula, mousse, gamétophyte et sporophyte jeune, p.e.
- Br1331d Tortula, mousse, gamétophyte et sporophyte âgé, péristome, p.e.

## PTERIDOPHYTA - PTERIDOPHYTES

### Psilotales - Psilopsids

- Pt101d • Psilotum, archétype d'une fougère, tige avec feuilles en forme d'écaille, c.t.
- Pt102e • Psilotum, c.t. sporange
- Pt103e Psilotum, c.l. tige et sporange
- Pt1032d Psilotum, c.t. rhizome
- Pt1034d Tmesipteris, tige aquatique c.t.
- Pt1035d Tmesipteris, feuilles c.t.
- Pt1036e Tmesipteris, sporange c.t.

### Lycopodiatae - Lycopodes

- Pt104f • Isoètes, lycopode, tige avec feuilles et racines, c.l.
- Pt105e Isoètes, microsporophylle, c.t.
- Pt106e Isoètes, macrosporophylle, c.t.
- Pt107d Isoetes, tige c.t.
- Pt110d Lycopodium, lycopode, tige, c.l.
- Pt111c • Lycopodium, tige, c.t.
- Pt1115d • Lycopodium, rhizome c.t.
- Pt112e • Lycopodium, sporophylle avec isospores, c.t. ou c.l.
- Pt113e Lycopodium, sporophylle jeune avec spores en développement c.l.
- Pt114b • Lycopodium, spores mûres
- Pt1145d Lycopodium, sporophylle jeune p.e.
- Pt115f Lycopodium, tige avec région apical c.l.
- Pt116c • Selaginella, sélaginelle, tige avec siphonostèle, c.t.
- Pt1163c Selaginella, rhizophore c.t.
- Pt117e • Selaginella, disposition des sporophylles avec micro- et macrosporanges, c.l.
- Pt118f Selaginella, strobile (cône) s.e. \*
- Pt119d Selaginella, tige avec feuilles c.l.
- Pt1193c Selaginella, feuilles c.t.

### Equisetatae - Prêles

- Pt125d Equisetum, prêle, racine, c.t.
- Pt1245d • Equisetum, rhizome c.t.
- Pt124c • Equisetum, tige, c.t.
- Pt126d • Equisetum, haut de la pousse avec cône végétatif et germes des feuilles, c.l.
- Pt120d Equisetum, prêle, disposition des sporophylles jeunes avec formation des spores, c.l.
- Pt121d • Equisetum, disposition des sporophytes avec sporanges, c.t.
- Pt122d • Equisetum, disposition des sporophytes avec sporanges, c.l.
- Pt1223e Equisetum, spores avec élatères, s.e.
- Pt123b • Equisetum, spores avec élatères, p.e.
- Pt127e Equisetum, prothalle p.e. \*



## Filicatae - Fougères

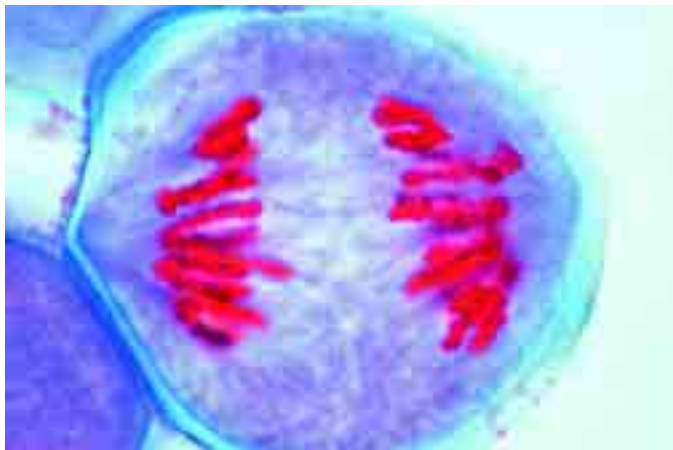
- Pt1835d Adiantum, fougère, feuilles avec sores, sporanges et spores, p.e.  
 Pt1836d Adiantum, feuilles avec sores, indusies, sporanges et spores, c.l.  
 Pt1837d Adiantum, rhizome c.t. montrant amphiphloic siphonostèle  
 Pt1831d Angiopteris, racine c.t.  
 Pt1832d Angiopteris, rhizome avec dictyostèle c.t.  
 Pt130c • Aspidium, fougère mâle, racine c.t.  
 Pt132c • Aspidium, rhizome, c.t.  
 Pt131c • Aspidium, tige, c.t.  
 Pt133d • Aspidium, feuilles avec sores, indusies, sporanges et spores, c.l.  
 Pt134d Aspidium, petite feuille avec sores, p.e.  
 Pt136d Aspidium, feuilles avec sores, c.t. stades de développement  
 Pt135b • Aspidium, sporanges et spores, s.e.  
 Pt1841d Athyrium, feuilles avec sporanges et spores, p.e.  
 Pt1776c Blechnum spicant, feuilles, stériles et fertiles, c.t.  
 Pt1851d Botrychium, fougère, tige c.t.  
 Pt1852d Botrychium, sporanges c.t.  
 Pt1861d Dennstaedtia, rhizome avec amphiphloic siphonostèle c.t.  
 Pt1863d Dennstaedtia, feuille avec sores et sporanges c.t.  
 Pt151d • Prothalle de fougère, stade jeune et filiforme  
 Pt152e Prothalle de fougère, avec anthéridies, sujet entier  
 Pt153e Prothalle de fougère, avec archégonas, sujet entier  
 Pt154f • Prothalle de fougère, avec anthéridies et archégonas, sujet entier \*  
 Pt155d • Prothalle de fougère, coupe longitudinale, avec anthéridies  
 Pt156e • Prothalle de fougère, coupe longitudinale, avec archégonas \*  
 Pt157g Prothalle de fougère, stade plus âgé, avec sporophyte jeune et formation de la racine, sujet entier \*  
 Pt1353d Fougère, spores germinatives de Aspidium ou Pteridium, sujet entier  
 Pt1575e Fougère, spermatozoïdes \*  
 Pt159t Fougère, 4 préparations: feuille avec sores et sporanges c.t., rhizome c.t., prothalle de fougère avec organes sexuels, sujet entier et prothalle de fougère stade plus âgé avec sporophyte jeune  
 Pt1871d Gleichenia, fougère tropical, rhizome c.t.  
 Pt191f Huperzia, c.l. de sporanges  
 Pt1875d Lygodium, feuille avec sores et sporanges c.t.  
 Pt175c Marattia, fougère tropical, racine c.t.  
 Pt176c Marattia, rhizome c.t.  
 Pt177e Marattia, synangium c.t.  
 Pt1881d Marsilea, fougère, rhizome, c.t.  
 Pt1882c Marsilea, pétiole c.t.  
 Pt1883d Marsilea, feuille c.t.  
 Pt1884e Marsilea, sporocarpe, c.t..  
 Pt1672d Ophioglossum, racine c.t.  
 Pt167c Ophioglossum, rhizome c.t.  
 Pt165c Ophioglossum, tige, c.t.  
 Pt1675c Ophioglossum, feuille c.t.  
 Pt1676e Ophioglossum, sporocarpe avec spores c.t.  
 Pt166e Ophioglossum, sporocarpe avec spores c.l.  
 Pt1673c Ophioglossum, éléments de xylème, isolées, p.e.  
 Pt181c Osmunda, racine c.t.  
 Pt180c Osmunda, rhizome avec ectophloic siphonostèle c.t.  
 Pt1803c Osmunda, tige, c.l.  
 Pt1824c Osmunda, tige, c.t.  
 Pt1825c Osmunda, feuille c.t.  
 Pt182d Osmunda, sporanges et spores c.t.  
 Pt1821d Osmunda, feuille avec sores et sporanges c.t.  
 Pt1822c Osmunda, éléments de xylème, isolées, p.e.  
 Pt161d Phyllitis scolopendrium, feuille avec sores, c.t.  
 Pt1612d Phyllitis scolopendrium, rhizome c.t.  
 Pt147c Platycerium, feuille stérile, c.t.  
 Pt1891d Polypodium, rhizome avec dictyostèle c.t.  
 Pt1893d • Polypodium, feuille avec sores et sporanges, p.e.  
 Pt1894c Polypodium, feuilles avec sores, sporanges et spores c.t.  
 Pt1895d Polystichum, feuille avec sores et sporanges p.e.  
 Pt144d Pteridium (Pteris), fougère aigle, racine, c.t.  
 Pt140d • Pteridium, fougère aigle, rhizome avec vaisseaux scalariformes c.l.  
 Pt141d • Pteridium, rhizome, c.t.  
 Pt139d Pteridium, éléments de rhizome, isolées, avec vaisseaux en escaliers p.e.  
 Pt142c Pteridium, tige, c.t.  
 Pt143c Pteridium, feuilles avec sores, c.t.  
 Pt1433d • Pteridium, feuilles avec sores, sporanges et spores, p.e.  
 Pt1422c Pteridium, éléments de xylème, isolées, p.e.  
 Pt145c • Salvinia natans, feuille, c.t.  
 Pt146d • Salvinia natans, micro- et macrosporanges, c.t.



- Gy1116c Ginkgo biloba, brout jeune, c.t.  
 Gy1114d Ginkgo biloba, tige avec région apical c.l.  
 Gy1124e Ginkgo biloba, bois, c.t., r.c.l., t.c.l.  
 Gy1123c Ginkgo biloba, éléments de xylème, isolées, p.e.  
 Gy111c Ginkgo biloba, feuilles, c.t.  
 Gy105d Ginkgo biloba, fleur mâle pollen, c.t.  
 Gy1051d Ginkgo biloba, strobile mâle avec pollen c.t.  
 Gy1055e Ginkgo biloba, strobile femelle jeune, c.l.  
 Gy106f Ginkgo biloba, archégonas avant la fécondation, c.l.  
 Gy107f Ginkgo biloba, archégonas après la fécondation, c.l. \*  
 Gy108e Ginkgo biloba, germes de semence, c.l.  
 Gy109g Ginkgo biloba, archégonas avec proembryon, c.l. \*  
 Gy110f Ginkgo biloba, embryon, stade plus âgé, c.l. \*  
 Gy113c Taxus baccata, if commun, tige jeune, c.t.  
 Gy114c Taxus baccata, racine, c.t.  
 Gy115c Taxus baccata, feuilles c.t.  
 Gy121c • Pinus, pin, racine d'un jeune plant, c.t.  
 Gy122c • Pinus, racine plus âgée et ligneuse, c.t.  
 Gy123e Pinus, cône végétatif avec tissus du méristème, formation des feuilles etc., c.l.  
 Gy1234c Pinus, brout jeune avec aiguilles, c.t.  
 Gy124c • Pinus, rameau d'un an, c.t.  
 Gy125c • Pinus, rameau plus âgé avec cernes et canaux de la résine, c.t.  
 Gy1255d Pinus, tige d'un an et de deux années, c.t.  
 Gy126d • Pinus, bois, c.t. coupe radiale et coupe tangentielle  
 Gy1265c Pinus, bois, coupe tangentielle, coloration des trachéides  
 Gy127c • Pinus, aiguilles, c.t.  
 Gy1271c Pinus monophylla, 1 aiguilles, c.t.  
 Gy1272c Pinus nigra, Autrichien pin, 2 aiguilles, c.t.  
 Gy1273c Pinus australis, 3 aiguilles, c.t.  
 Gy1274c Pinus strobus, 5 aiguilles, c.t.  
 Gy128d Pinus, strobile mâle avec pollen c.t.  
 Gy129d • Pinus, strobile mâle avec pollen, c.l.  
 Gy1291d Pinus, strobile mâle avec pollen développement, c.l.  
 Gy1295e Pinus, strobile mâle avec pollen, c.l. et c.t.  
 Gy130b • Pinus, grains de pollen, mûrs  
 Gy1301d Pinus, grains de pollen germinatives p.e.  
 Gy131d • Pinus, strobile femelle jeune, c.l.  
 Gy132e Pinus, strobile femelle à l'époque de la dispersion, c.l.  
 Gy1322g Pinus, ovule c.l. montrant cellule mère mégaspore, c.l. \*  
 Gy1324k Pinus, ovule c.l. montrant division méiotique de cellule mère c.l. \*  
 Gy133f • Pinus, strobile femelle pendant l'hiver suivant, c.l.  
 Gy134h Pinus, archégonas jeune, avant séparation de l'œuf c.l. \*  
 Gy135f • Pinus, germes de semence avec archégonas, c.l.  
 Gy1351h Pinus, archégonas avec noyau de l'œuf et les cellules du col c.l. médiane \*  
 Gy1355k Pinus, archégonas avec première division du noyau de l'œuf fécondé c.l. médiane \*  
 Gy1357i Pinus, archégonas avec noyaux de proembryon \*  
 Gy136g Pinus, archégonas avec proembryon, stade jeune, c.l.  
 Gy1361h Pinus, archégonas, proembryon jeune, stade à quatre noyaux c.l. \*  
 Gy1362h Pinus, archégonas, proembryon jeune, stade à seize noyaux c.l. \*  
 Gy137g Pinus, archégonas avec proembryon, stade plus âgé, c.l.  
 Gy138e Pinus, embryon jeune c.l.  
 Gy139e • Pinus, embryon avec endosperme, c.l.  
 Gy1391f Pinus, embryon avec endosperme, c.l. médiane  
 Gy140e • Pinus, embryon avec endosperme, c.t.  
 Gy141f Pinus, semence c.l.  
 Gy145d Pinus, tige de plusieurs années, c.t. et c.l.  
 Gy146b Pinus, cellules ligneuses, macérées  
 Gy147c Pinus, bourgeon de feuilles, c.t.  
 Gy1478e Pinus, 3 préparations: tige c.t., aiguilles c.t. et strobile femelle jeune, c.l.  
 Gy151c • Abies, sapin, aiguilles (feuilles) c.t.  
 Gy1514d Abies, extrémité d'un rejeton avec tissus du méristème, formation des feuilles, c.l.  
 Gy1515d Abies, bois, c.t., r.c.l., t.c.l.  
 Gy1512c Abies grandis, aiguilles (feuilles) c.t.

## GYMNOSPERMAE - GYMNOSPERMES

- Gy1041e Cycas, bois, c.t., r.c.l., t.c.l.  
 Gy1042d Cycas, feuille c.t.  
 Gy1048f Cycas, semence, c.t.  
 Gy101d Zamia (cycadée), racine c.t.  
 Gy102e Zamia, tige c.t.  
 Gy1021d Zamia, feuille c.t.  
 Gy1022e Zamia, strobile mâle avec pollen c.t. \*  
 Gy103f Zamia, strobile femelle jeune, c.l. \*  
 Gy1031g Zamia, germes de semence avec archégonas, c.l. \*  
 Gy112c Ginkgo biloba, tige, c.t.



- Gy152c • *Picea*, épicéa, aiguilles, c.t. i  
 Gy153c *Picea*, extrémité d'un rejeton avec aiguilles, c.t.  
 Gy1520e *Picea*, embryon avec endosperme c.t.  
 Gy1536c *Picea asperata*, aiguilles c.t.  
 Gy1533c *Picea breweriana*, aiguilles c.t.  
 Gy1535c *Picea glauca*, aiguilles c.t.  
 Gy1537c *Picea orientalis*, aiguilles c.t.  
 Gy1532c *Picea polita*, aiguilles c.t.  
 Gy1534c *Picea pungens*, aiguilles c.t.  
 Gy251c • *Larix*, mélèze, aiguilles c.t.  
 Gy253d *Larix*, c.l. strobile mâle avec pollen  
 Gy255e *Larix*, c.l. strobile femelle avec ovules  
 Gy211c *Ephedra*, tige c.t.  
 Gy215e *Ephedra*, strobile mâle c.t.  
 Gy216e *Ephedra*, strobile femelle c.t.  
 Gy2165f *Ephedra*, strobile femelle mûr c.l.  
 Gy217c *Ephedra*, éléments de xylème, isolées, p.e.  
 Gy221c *Gnetum*, feuille c.t.  
 Gy2213c *Gnetum*, éléments de xylème, isolées, p.e.  
 Gy1549c *Arbor-vitae*, feuilles c.l.  
 Gy1565c *Cedrus deodora*, cedar, feuilles c.t.  
 Gy156c *Cephalotaxus fortunei*, feuilles c.t.  
 Gy157c *Chamaecyparis nootkatensis*, feuilles c.t.  
 Gy155c *Cryptomeria japonica*, feuilles c.t.  
 Gy1582c *Juniperus communis*, genévrier, feuilles c.t.  
 Gy158c *Juniperus virginiana*, feuilles c.t.  
 Gy159c *Librocedrus decurrens*, feuilles c.t.  
 Gy1595c *Metasequoia*, feuilles c.t.  
 Gy160c *Pseudotsuga menziesii*, feuilles c.t.  
 Gy1575c *Taxodium distichum*, cyprès, feuilles c.t.  
 Gy162c *Thuja plicata*, feuilles c.t.  
 Gy161c *Tsuga canadensis*, feuilles c.t.

## ANGIOSPERMAE - ANGIOSPERMES

### I. Cellules végétales et tissus

#### Cellules, division de la cellule, chromosomes

- As111c • Épiderme d'*Allium* (oignon): cellules végétales simples avec membranes, noyaux cellulaires et cytoplasme p.e.  
 As1125d Épiderme d'*Allium* (oignon): cellules végétales simples avec membranes, noyaux cellulaires et cytoplasme, sans coloration pour contraste de phase p.e.  
 As1127s Épiderme d'*Allium* (oignon): montrant plasmolyse p.e.  
 As114d • Mitoses à différents stades, extrémité d'une racine d'*Allium*, c.l. Tous les stades dans la même préparation. Coloration hématoxyline ferrique  
 As1141d Mitoses à différents stades, extrémité d'une racine d'*Allium*, c.l. coloration quadruple  
 As1142e Mitoses à différents stades, extrémité d'une racine d'*Allium*, c.l. coloration fuchsine et fast green  
 As115d • Mitoses à différents stades, extrémité d'une racine d'*Allium*, c.t.  
 As1155g Mitoses à différents stades, extrémité d'une racine d'*Allium*, préparation contuse (squash) coloration Feulgen \*  
 As1157f Mitoses à différents stades, extrémité d'une racine d'*Allium*, c.l. coloration Feulgen \*  
 As1158g Mitoses à différents stades, extrémité d'une racine d'*Allium*, préparation contuse (squash) coloration orceine  
 As1159h Mitoses à différents stades, extrémité d'une racine d'*Allium*, préparation contuse (squash), colchicine à stades de métaphase, coloration orceine \*

- As116d Mitoses à différents stades, extrémité de racine de *Vicia faba*, c.l.  
 As1165g Mitoses à différents stades, extrémité d'une racine d'*Allium*, préparation contuse (squash) coloration \*  
 As1166e • Mitoses à différents stades, extrémité d'une racine de *Hyacinthus*, c.l. coloration quadruple  
 As1169g • ADN et ARN, extrémité d'une racine d'*Allium*, coloration vert de méthyle pyronine montrant l'ADN et l'ARN colorés différemment \*  
 As117f • Divisions de maturation (méioses): développement des cellules mères du pollen chez le lis (*Lilium*), c.t.

#### Organelles cellulaires

- As112g Épiderme d'*Allium*, coloration des mitochondries \*  
 As119g • Mitochondries, extrémité d'une racine d'*Allium*. Coupes longitudinales très minces  
 As148d • Chloroplastes grandes, *Elodea*, feuille, s.e.  
 As1481d Chloroplastes, brout de *Tradescantia*  
 As1485c Chromoplastes, pétale de *Viola* (violet)  
 As1486c Chromoplastes, c.t. racine de *Daucus carota* (carotte)  
 As1487c Chromoplastes, pétale de *Tropaeolum*  
 As1488e Plasmodesmes, c.t. semence de palmier (*Phytelephas*)

#### Inclusions: Substances nutritives de réserve

- As131c • Grains d'aleurone, endosperme de ricin, c.t.  
 As6611d Grains d'aleurone, endosperme de *Evonymus* c.t.  
 As132c • Grains d'amidon, tubercule de pomme de terre, c.t.  
 As1321c Grains d'amidon, c.t. cotylédons de *Vicia faba* (haricot)  
 As1322c Grains d'amidon, c.t. semence de *Avena* (avoine)  
 As1323b Grains d'amidon, frottis de *Euphorbia*  
 As1324b Grains d'amidon, mélange  
 As1325b Corrosion à grains d'amidon, tubercule de pomme de terre  
 As133d • Huile, endosperme de noisette, c.t.  
 As146d • Cellulose en réserve, noyau de datte, c.t.

#### Inclusions: Cristaux et substances métaboliques

- As135d • Cristaux d'inuline, bulbe de *Dahlia*, c.t.  
 As136d • Substance coriace, écorce du rosier, c.t.  
 As137b • Cristaux d'oxalate de calcium, pelure d'oignon sèche  
 As138c • Raphides, feuille d'*Impatiens*, c.t.  
 As1381c Raphides, feuille d'*Oxalis* c.t.  
 As1382d Cellules de raphides à extrémité d'une racine de *Hyacinthus* c.l.  
 As1383c • Cellules cristallifères, c.t. feuille de *Solanum tuberosum* (pomme de terre)  
 As1384d Cellules cristallifères, c.t. tige de *Opuntia*  
 As459c • Cystolithes, c.t. feuille de *Ficus elastica* (arbre à caoutchouc),

#### Tissus du méristème

- As121e • Tissus du méristème et cône végétatif (formation des feuilles) d'*Elodea*, c.l.  
 As1215f Tissus du méristème et cône végétatif (formation des feuilles) d'*Elodea*, c.l. médiane\*  
 As122d • Tissus du méristème et cône végétatif d'*Asparagus*, c.l.  
 As123e Tissus du méristème et cône végétatif d'*Hippuris*, c.l.  
 As124e Tissus du méristème et cône végétatif de *Coleus* c.l.  
 As1145e Extrémité d'une racine d'*Allium* et cône végétatif c.l. médiane \*  
 As1146f Extrémité d'une racine de *Hyacinthus* et cône végétatif c.l. médiane \*

#### Tissu de soutien

- As140c • Cellules lignifiées, préparées par macération  
 As141e • Tyloses, bois de *Robinia*, c.t. et c.l.  
 As1431c Tissu palissadique (sclérides), c.t. de semence de *Phaseolus* (haricot)  
 As145c • Collenchyme, *Coleus*, tige, c.t.  
 As1451c • Collenchyme laminaire, c.t. tige de *Sambucus*  
 As1452c • Collenchyme lacunar, c.t. tige de *Petasites* or *Lactuca*  
 As147b • Fibres de sclérenchyme, isolées  
 As1471d Fibres de sclérenchyme de phloème, c.t. et c.l. tige de *Linum*  
 As1472d Fibres de sclérenchyme de xylème, c.t. et c.l. tige de *Hypericum*  
 As150b • Cellules de brou du coco  
 As1505b Cellules libériennes, isolée

#### Tissu conducteur

- As151d • Vaisseaux annelés, c.l.  
 As1525d Vaisseaux spiralés, c.l.  
 As153d • Vaisseaux scalariformes, c.l.  
 As1535d Vaisseaux scalariformes isolées  
 As154d • Vaisseaux ponctués, c.l.  
 As1545d Vaisseaux ponctués, isolées  
 As1547d Trachéides avec ponctuation aréolées. Bois de pin en coupe tangentielle  
 As155d • Vaisseaux réticulés  
 As1554d Vaisseaux annelés, spiralés, et scalariformes, isolées



- As160d • Vaisseaux criblés et lames criblées, courge, tige, c.l.
- As161c • Tubes et plaques criblés. Cucurbita, faisceau conducteur en c.t.
- As162d • Callose sur les cloisons criblées. Vitis vinifera, tige c.t.
- As142c • Laticifères d'Euphorbia, tige, c.l.
- As1423c • Laticifères de Taraxacum, pissenlit, racine, c.l.
- As489c • Laticifères d'Asclepias, c.l.
- As493d • Nervure d'une feuille

### Tissu épidermique

- As139b • Cellules de liège, c.t. (tissu subérifié)
- As1392c • Sambucus (sureau), tige cambium à liège
- As360c • Sambucus (sureau), tige et lenticelles
- As1344c • Poils de Primula, c.t. pétiole
- As149b • Poils de Verbascum (molène), feuille, s.e.
- As1491b • Poils en étoile type écaille, extraits d'un Elaeagnus (olivier), p.e.
- As1492c • Poils en étoile type écaille, extraits d'un Elaeagnus (olivier), c.t.
- As1493c • Poils de Humulus (houblon), feuille c.t.
- As1494c • Poils absorbants, épiderme de Tillandsia, p.e.
- As1495d • Poils absorbants, épiderme de Tillandsia, c.t.
- As1496b • Poils de semence, de Gossypium (coton) p.e.
- As621d • Viola, violette, feuille florale avec poils veloutés, c.t.

### Cellules et tissus spécifiques

- As134c • Glandes huileuses, pelure de citron, c.t.
- As1341c • Glandes huileuses schizogènes, feuille de Hypericum, c.t.
- As4566c • Glandes huileuses, feuilles de Lavandula, c.t.
- As1343c • Cellules glandulaires, feuilles de thym, c.t.
- As143d • Cellules pierreuses et canaux mouchetés dans la chair de Pyrus communis (poire)
- As1432d • Sclérides, feuille de Camellia c.t.
- As144b • Parenchyme, corps médullaire de sureau, c.t.
- As1435d • Tissu aérienne, c.t. feuille de Canna indica
- As314c • Cellules stellaires dans la moelle de la tige Juncus (jonc), c.t.
- As583d • Fritillaria, nectaire avec glandes, c.t.

## II. La Racine

### Racines typiques en comparaison

- As201e Racine typique de monocotylédone et de dicotylédone, 2 c.t. sur une même lame
- As202e Racine herbacé et ligneux, c.t. sur une même lame
- As203e Racine jeune et âgée, c.t. sur une même lame
- As204e Racine non ligneux et ligneux, c.t. sur une même lame

### Extrémité de la racine, développement de la racine

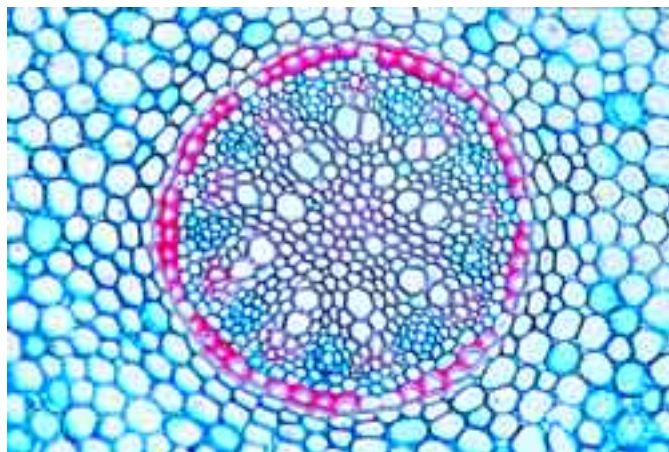
- As210d • Racine avec poils, c.t. Début épidermique des poils
- As211d • Coiffe de la racine avec poils unicellulaires, s.e.
- As2113c • Hydrocharis, coiffe de la racine avec poils, c.t.
- As2133c • Vicia faba, haricot, coiffe de la racine, c.t.
- As2134d • Monstera, philodendron, coiffe de la racine, c.l.
- As2175d • Asparagus, asperge, racine avec poils, c.t. montrant début épidermique des poils c.t.
- As2132c • Sinapis, moutarde, racine jeune, c.t.
- As220d • Zea mays, maïs, extrémité de la racine avec des statolithes c.l.
- As224e • Hyacinthus, extrémité de la racine avec mitoses, c.l.
- As254d • Salix, saule, racine et racines secondaires, c.l.
- As2541d • Salix, saule, racine et racines secondaires, c.t.
- As2545d • Vicia faba, haricot, racine et racines secondaires, c.l.
- As272c • Phaseolus, racine jeune montr. début de croissance secondaire, c.t.
- As278e • Phaseolus, c.l. montrant passage racine-tige

### Racines typiques de monocotylédone

- As215c • Zea mays, maïs, racine, c.t.
- As214c • Iris, racine typique de monocotylédone, c.t.
- As217c • Convallaria, muguet, racine, endoderme, péricycle, liber et bois, c.t.
- As2135c • Allium cepa, oignon, c.t. racine jeune avec épiderme, exoderme, endoderme
- As222c • Lilium, lis, racine, c.t.
- As227c • Hordeum, orge, c.t. racine jeune montrant développement des faisceaux vasculaires
- As228c • Triticum, blé, racine jeune montrant xylème primaire
- As229c • Bromus, c.t. de racine graminiforme

### Racines typiques de dicotylédone

- As241c • Ranunculus, renoncule, racine typique de dicotylédone, c.t.
- As2411d • Ranunculus, renoncule, racine jeune et âgée sur une même lame c.t.
- As2419d • Helianthus, héliotrope, racine jeune, c.t.
- As242d • Helianthus, héliotrope, racine âgée, c.t.



- As245c • Raphanus, raifort, racine, croissance secondaire avec plusieurs des anneaux de cambium, c.t.
- As247c • Medicago, luzerne, racine, c.t.
- As266c • Beta, betterave, racine, c.t.
- As244c • Tilia, tilleul, racine, c.t.
- As258c • Rheum, rhubarbe, racine avec cristaux, c.l.
- As267c • Cannabis sativa, chanvre cultivé, racine, c.t.
- As268c • Clivia miniata, racine, c.t.
- As269c • Quercus, chêne, racine d'une plante issue d'une semence, c.t.
- As270c • Quercus, chêne, racine lignifiée, c.t.
- As280c • Nicotiana tabacum, tabac, c.t. racine jeune montrant xylème primaire et secondaire
- As281c • Actaea, c.t. racine jeune montrant xylème primaire
- As282c • Sambucus, sureau, racine c.t.

### Adaptation. Hydrophytes et hygrophytes (plantes aquatiques)

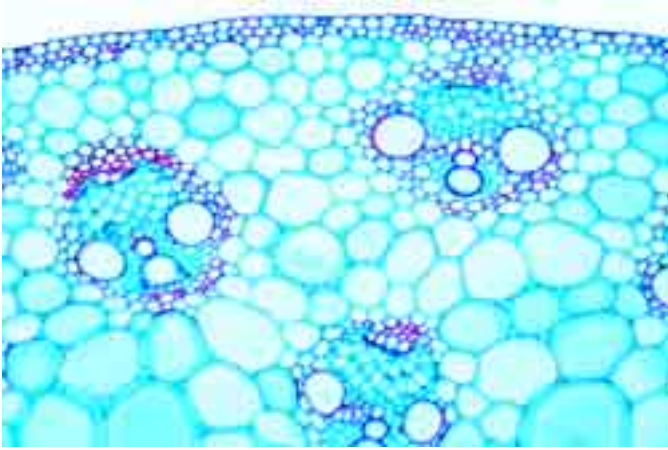
- As212d • Lemna, lentille d'eau, extrémité et coiffe de la racine, s.e.
- As213d • Lemna, lentille d'eau, extrémité et coiffe de la racine, c.l.
- As225c • Elodea, racine d'une plante aquatique, c.t.
- As283d • Nymphaea, nénuphar, racine d'une plante aquatique, c.t.
- As2415d • Caltha palustris, c.t. racine primaire montrant endoderme avec assise de Caspary
- As253c • Monstera, philodendron, racine aérienne, c.t.
- As2535c • Avicennia, mangrove, racine pneumatophore c.t.
- As259c • Dendrobium, orchidée, racine aérienne, c.t.
- As287c • Taxodium distichum (Cypressaceae), racine aérienne, c.t.
- As286c • Rhizophora, mangrove, c.t. racine adventif

### Adaptation. Xérophytes (Plantes xérophiles)

- As216c • Smilax, liane, racine avec endoderme épais, c.t.
- As288c • Pelargonium, racine succulent c.t.
- As284c • Sarothamnus, genêt, racine ligneux c.t.

### Adaptation. Modes spécifiques de nutrition

- As248c • Taraxacum, pissenlit, racine avec laticifères, c.t.
- As260c • Scorzonera, salsifis, laticifères, c.l.
- As249c • Lupinus, lupin, racine, c.t.
- As250d • Lupinus, lupin, nodosité de légumineuse avec bactéries symbiotiques (Rhizobium radicicola) c.t.
- As2502d • Pisum sativum, pois, nodosité de légumineuse avec bactéries symbiotiques, c.t.
- As2505d • Vicia faba, haricot, nodosité de légumineuse avec bactéries symbiotiques c.t.
- As251d • Alnus, verne, nodosité avec des actinomycètes symbiotiques (Streptomyces alni), c.t.
- As265d • Ranunculus ficaria, nodosité de racine avec amidon, c.t.
- As246c • Caucis, carotte, racine à réserve, c.t.
- As255d • Fagus, hêtre, racine. avec mycorhize ectotrophe, c.t.
- As256d • Neottia, orchidée, racine avec mycorhize endotrophe, c.t.
- As2417d • Orchidée, racine c.t.
- As2475c • Convolvulus, liseron, racine âgée c.t.
- As252c • Hedera, lierre, racine adventive, c.t.
- As355d • Cuscuta, cuscute, tissu de l'hôte avec pénétration des haustories de parasite c.t.
- As285e • Viscum album, gui, tissu de l'hôte avec pénétration des haustories de parasite c.t.



### III. La Tige

#### Tiges typiques en comparaison

- As305e Tige typique de monocotylédone et de dicotylédone, 2 c.t. sur une même lame
- As3052e Tige typique de monocotylédone et de dicotylédone, 2 c.l. sur une même lame
- As3054e Tige de monocotylédone et de dicotylédone (Canna et Helianthus), 2 c.t. sur une même lame
- As3055e Tige de monocotylédone et de dicotylédone (Zea et Ranunculus), 2 c.t. sur une même lame
- As306e Tige de plante annuelle et pérenne, 2 c.t. sur une même lame
- As3065e Tige au soleil et tige à l'ombre, c.t., 2 c.t. sur une même lame
- As307e Tige herbacé et ligneux, 2 c.t. sur une même lame
- As3942f Aristolochia, seringat, tige d'un an, de deux années et de plusieurs années, 3 c.t. sur une même lame
- As3944e Tilia, tilleul, tige d'un an et de plusieurs années, 2 c.t. sur une même lame
- As3432e Helianthus, tige jeune et âgée, 2 c.t. sur une même lame
- As3424e Helianthus, tige âgée, c.t. et c.l. sur une même lame

#### Tiges typiques de monocotylédone

- As311c • Zea mays, maïs, tige typique de monocotylédones avec vaisseaux dispersés, c.t.
- As310c Zea mays, tige jeune c.t.
- As3115c Zea mays, tige avec feuilles engainantes c.t.
- As312c Zea mays, tige, c.l.
- As3941e Zea mays, c.t. et c.l. de tige monocotylédone, 2 préparations sur une même lame
- As317c • Liliium, lis, tige avec tissu assimilateur c.t.
- As3203c Tulipa, tulipe, tige t.s.
- As3989c Allium, c.l. de bulbe souterraine
- As3172c Allium sativum, tige c.t.
- As3988c Asparagus, asperge, tige c.t.
- As3204c Dianthus, œillet, tige c.t.
- As315c • Triticum, blé, tige graminiforme, c.t.
- As316d Triticum, espace internodal de la tige, c.l.
- As3162c Secale, seigle, tige graminiforme, c.t.
- As323c • Holcus lanatus, houlique, tige, c.t.
- As320c Acorus calamus, acore, rhizome, c.t.
- As321c • Convallaria, muguet, rhizome avec faisceaux vasculaires concentriques, c.t.
- As322c • Iris, flambe, rhizome, c.t.
- As325d Dracaena, dragonnier, croissance secondaire dans une tige monocotylédone, c.t.
- As3813c Saccharum, canne à sucre, tige c.t.
- As3986c Phragmites, roseau, tige c.t.
- As3987c Alisma plantago, flûteau, tige c.t.

#### Tiges typiques de dicotylédone: Plantes herbacées

- As343c • Helianthus, héliotrope, tige typique de dicotylédone, c.t.
- As3432e Helianthus, tige jeune et âgée, 2 c.t. sur une même lame
- As3424e Helianthus, tige âgée, c.t. et c.l. sur une même lame
- As3943c Helianthus, pousse jeune c.t.
- As376b Helianthus, héliotrope, cellules du corps médullaire, c.t.
- As339c Pelargonium, géranium, tige jeune, c.t.
- As340c Pelargonium, géranium, tige de plante annuelle c.t. montrant phellogène et cambium
- As344d • Cucurbita, courge, tige avec tubes criblés et vaisseaux, c.l.
- As345d • Cucurbita, tige avec lames criblées et faisceaux vasculaires bicollatéraux
- As3451e Cucurbita, courge, tige, c.t. et c.l. 2 coupes sur une même lame
- As365c Ranunculus, renoncule, tige avec des faisceaux vasculaires collatéraux ouverts, c.t.

- As354c • Lamium album, lamier, tige avec collenchyme, c.t.
- As3542c Galium, tige quadrangulaire, en c.t., collenchyme des angles
- As367c • Salvia, sauge, tige à section polygonale, c.t.
- As368c Coleus, tige, c.t.
- As3877c Amaranthus, tige c.t.
- As375c Arctium lappa, tige, c.t.
- As3876d Atriplex, tige avec poils c.t.
- As374c Bryonia, tige avec des lames criblées, c.t.
- As385c • Cannabis sativa, chanvre cultivé, fibres de slérénchyme et fibres lignifiées
- As3985c Chelidonium, chélideine, tige c.t.
- As3872c Chenopodium, ansérine, tige c.t.
- As382d Coleus, tige avec base d'une feuille et bourgeon axillaire, c.l.
- As380c Digitalis, digitale, tige avec stèle c.t.
- As358c • Euphorbia, euphorbe, tige avec laticifères, c.l.
- As3949c Fuchsia, c.t. tige
- As352c Hedera, lierre, tige avec cristaux, c.t.
- As359c Hoya carnososa, tige avec cellules pierreuses, c.t.
- As387c Hydrangea, tige c.t.
- As3946c Impatiens, c.t. de tige
- As3565c Lactuca, laitue, tige c.t.
- As3566c Lactuca, laitue, tige c.l.
- As3752c Lonicera, chèvrefeuille, c.t. tige jeune
- As3753c Lonicera, chèvrefeuille, c.t. tige âgée
- As357c • Medicago, luzerne, tige, c.t.
- As3571d • Medicago, tige c.t. avec croissance secondaire
- As3982c Mercurialis, mercuriale, c.t. de rhizome monopodial
- As3983c Mercurialis, c.t. tige
- As3878d Ononis, bugrane, tige c.t.
- As3866c Passiflora, fleur de la Passion, tige c.t.
- As3972c Primula, primevère, c.t. tige
- As381c Trifolium, trèfle, tige, c.t.

#### Tiges typiques de dicotylédone: Arbres et buissons

- As341c • Aristolochia, seringat, tige d'un an, c.t.
- As342c • Aristolochia, seringat, tige de plusieurs années, c.t.
- As3422e Aristolochia, seringat, tige d'un an et de plusieurs années, c.t.
- As3423c • Aristolochia, tige de plusieurs années, c.l.
- As3426c Aristolochia, tige très jeune, c.t. montrant développement des faisceaux vasculaires
- As3428c Aristolochia, cellules lignifiées, préparées par macération
- As363c • Aesculus hippocastanum, châtaigner, pétiole c.t.
- As369c Aesculus, châtaigner, jeune pousse, c.t.
- As386d • Aesculus: châtaigner, tige avec cicatrice de feuille, c.l.
- As346c • Clematis, clématite, tige jeune avec collenchyme, c.t.
- As347c • Clematis, clématite, tige âgée avec phellogène, phellogène, phelème
- As3767c Fagus silvatica, hêtre, tige de plusieurs années c.t.
- As3945c Fagus, hêtre, bois âgé, c.t.
- As377c Fagus, hêtre, cellules lignifiées, préparées par macération.
- As3772e Fagus, hêtre, bois, coupe transversale, radiale et tangentielle
- As3505c Fraxinus excelsior, frêne, tige jeune c.t.
- As3506d Fraxinus excelsior, frêne, bois, coupe transversale, coupe radiale et coupe tangentielle
- As3882d Hibiscus tiliaceus, tige c.t.
- As3899d Liquidambar, tige lignifiée, c.t.
- As3783d Liriodendron, bois, coupe transversale, radiale et tangentielle
- As3784c Liriodendron, tige c.t.
- As3785c Liriodendron, tige c.l.
- As3781c Magnolia, tige, c.l.
- As3895e Magnolia, tige c.t. et c.l.
- As3782c Magnolia, cellules lignifiées, préparées par macération
- As3502d Prunus avium, cerisier, tige d'un an, de deux années et de trois années c.t. sur une même lame
- As3475c Quercus robur, chêne, tige jeune c.t.
- As3476c • Quercus robur, tige de plusieurs années, c.t. av. couches annuelles
- As3477d Quercus robur, bois, coupe transversale, radiale et tangentielle
- As388d Rhus, lierre, tige c.t.
- As3522d Salix nigra, saule, bois, coupe transversale, radiale et tangentielle
- As3523c Salix, cellules lignifiées, préparées par macération
- As360c • Sambucus, sureau, tige avec lenticelles, c.t.
- As3603d Sambucus, sureau, bois, coupes transversale, radiale, tangentielle
- As3896f Sycamore, bois, coupes transversale, radiale et tangentielle
- As348c • Tilia, tilleul, tige lignifiée, c.t.
- As349c • Tilia, tige lignifiée, c.l.
- As3492d Tilia, tige de plusieurs années c.t. et c.l. sur une même lame
- As3494c Tilia, tige d'un an, c.t. en été, montrant cambium actif
- As3495c Tilia, tige d'un an, c.t. en hiver, montrant cambium en repos
- As3496c Tilia, tige de deux années, c.t. avec faisceaux vasculaires
- As3497c Tilia, tige de trois années, c.t.
- As3498e Tilia, tige d'un an, de deux années et de trois années c.t. sur une même lame
- As3499c Tilia, tige jeune c.l.
- As350d • Tilia, bois, coupes transversale, radiale et tangentielle
- As378c Tilia, tilleul, cellules lignifiées, isolées
- As351c • Vitis, cep de vigne, tige avec rayons du corps médullaire, c.t.
- As3512d Vitis, cep de vigne, bois, coupes transversale, radiale et tangentielle
- As3884d Wisteria sinensis, tige c.t.



### Tiges de plantes utiles

- As3947c Anthriscus, cerfeuil, c.t. tige  
 As3948c Asperula odorata, aspérule odorante, c.t. tige  
 As3715c Beta, betterave, racine de stockage, c.t.  
 As3911d Brassica, chou, tige avec traces foliaires c.t.  
 As3897c Coffea arabica, café, tige c.t.  
 As3851c Linum, lin, tige c.t. avec cellules de brou  
 As3898d Nicotiana tabacum, tabac, tige c.t.  
 As3874d Persea, avocat, tige c.t.  
 As356c Piper nigra, poivre, tige avec des faisceaux vasculaires dispersés, c.t.  
 As362c Ribes, groseille, tige avec assise phellogène et liège, c.t.  
 As3891c Ricinus, ricin, tige jeune c.t. avec des faisceaux vasculaires  
 As3892c Ricinus, ricin, tige âgé, c.t. avec montrant xylème secondaire  
 As371c Solanum, pomme de terre, tubercule avec amidon, c.t.  
 As3713c Solanum tuberosum (pomme de terre), tige aérienne c.t.  
 As3514c Vicia faba, haricot, tige c.t.

### Adaptation. Hydrophytes et hygrophytes (plantes aquatiques)

- As3146d Bambou, tige c.t.  
 As3984c • Caltha, caltha des marais, tige c.t.  
 As3123c Canna, c.t. de tige monocotylédone typique avec ballots éparpillés  
 As3662c Ceratophyllum, tige c.t.  
 As3285d • Eichhornia, jacinthe, rhizome c.t.  
 As313c • Elodea, plante aquatique, tige avec parenchyme, c.t.  
 As3132c Hippuris, , c.t. tige de plante aquatique typique  
 As314c • Juncus, jonc, tige avec poils en forme d'étoile, c.t.  
 As366c • Myriophyllum, tige de plante aquatique, c.t.  
 As353c • Nymphaea, nénuphar, tige avec poils internes en forme d'étoile, c.t.  
 As3145c Potamogeton, potamogeton, tige avec chambres aérières c.t.  
 As3133c Sagittaria, sagittaire, c.t. tige plante hydrophyte

### Adaptation. Xérophytes (plantes xérophiles)

- As327d Aloe, aloès, tige monocotylédone, c.t. montrant croissance secondaire  
 As383d • Opuntia, cactus, tige de plante succulente, c.t.  
 As3734d Épine foliaire, tige de Berberis, c.l.  
 As3735d Épine caulinare, tige de Crataegus, c.l.  
 As373d Tilia, tilleul, tige de plusieurs années, c.t. et c.l.  
 As3585c • Nerium, laurier-rose, c.t. tige montrant conduits lactifères  
 As3586c Nerium, laurier-rose, c.l. tige montrant conduits lactifères  
 As328d • Smilax, liane, tige c.t.  
 As3854d Bauhinia, liane tropique, plante grimpante, tige c.t.  
 As3852d Thunbergia, liane, tige c.t.  
 As326d Yucca, tige monocotylédone, c.t. avec phellogène

### Adaptation. Modes spécifiques de nutrition

- As355d • Cuscuta, parasite de la vigne et autres végétaux, tissu de l'hôte avec pénétration des haustories de parasite  
 As370d Dentaria, dentaire, bulbilles c.l.

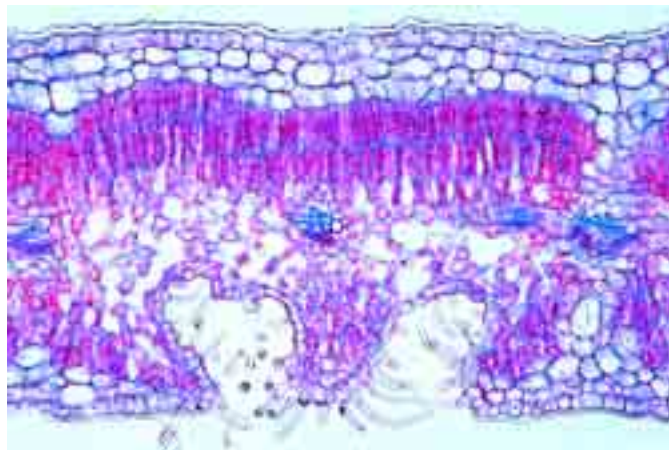
### Pétiotes et divers

- As4646c • Acer platanoides, érable, pétiole c.t.  
 As4647c Acer platanoides, érable, c.l. tige et zone d'abscission à la base d'un pétiole, c.l.  
 As363c • Aesculus, châtaigner, pétiole, c.t.  
 As4794d Canna indica, pétiole, c.t.  
 As4674d Eichhornia, plante aquatique, pétiole, c.t.  
 As4795d Fragaria, fraise, pétiole, c.t.  
 As4671c • Nymphaea, nénuphar, pétiole, c.t.  
 As4798d Passiflora, fleur de la Passion, pétiole avec glandes nectarifères  
 As479c Plantago, plantain, pétiole c.t.  
 As4797d Portulak, pourpier, pétiole c.t.  
 As4793d Vitis vinifera, cep de vigne, pétiole c.t.  
 As3971c Drymis, c.t. of tige avec écorce  
 As395e Blessure de tige, processus de guérison, stade jeune c.t.  
 As396e Blessure de tige, processus de guérison, stade âgé c.t.  
 As398e Greffon de tige c.t.

## IV. La feuille

### Feuilles typiques en comparaison

- As4005e Épiderme de feuille (tulipe) avec stomates, feuille de monocotylédone et de dicotylédone, s.e.  
 As4118d Épiderme de feuille (tulipe) avec stomates, feuille de monocotylédone et de dicotylédone, c.t.  
 As4119e Feuilles typiques, trois c.t. montrant feuilles de plante aquatique, hygrophyte et xérophile



### Épiderme de feuille et stomates

- As411c • Tulipe, épiderme de feuille avec stomates et cellules de fermeture  
 As410c Calla, épiderme de feuille avec stomates et cellules de fermeture  
 As4102d Sedum, épiderme de feuille avec stomates s.e.  
 As4103d Saccharum, canne à sucre, épiderme de feuille avec stomates s.e.  
 As4108d Allium cepa, oignon, épiderme de feuille avec stomates s.e.  
 As4109d Lilium, lis, épiderme de feuille avec stomates s.e.  
 As4112c • Iris, épiderme de feuille avec stomates en lignes, s.e.  
 As4113d Herbe, épiderme de feuille avec stomates de plante graminiforme, s.e. ou c.l.  
 As4114d Saxifraga, épiderme de feuille avec stomates avec cellules accessoires, s.e. ou c.l.  
 As4115d Begonia ou Sedum, épiderme de feuille avec stomates dispersés avec cellules accessoires nombreuses, s.e.  
 As4116d Dianthus, œillet, épiderme de feuille avec stomates avec deux cellules accessoires s.e.  
 As4117d Helleborus niger, épiderme de feuille avec stomates s.e.  
 As448c • Solanum tuberosum, pomme de terre, feuille c.t. montrant stomates élevées  
 As456c • Nerium, oléandre, feuille avec stomates enfoncées, c.t.  
 As4953c Ruellia, feuille c.t. montrant stomates élevées

### Poils et émergences

- As420c • Elaeagnus, poils en forme d'étoile de la feuille, s.e.  
 As421c • Verbascum, molène, poils ramifiés de la feuille, s.e.  
 As422c Verbascum, molène, feuille avec poils ramifiés, c.t.  
 As464d • Urtica, ortie, feuille avec poils urticants  
 As471c Pelargonium, géranium, feuille avec poils glandulaires multicellulaires, c.t.  
 As478c Nicotiana, tabac, feuille avec poils glandulaires, c.t.  
 As4955c Galium, gaillet, feuille avec poils grimpantes, s.e.  
 As4642d Aesculus hippocastanum, châtaigner, bourgeon foliaire avec collètes c.t.

### Feuilles typiques de monocotylédone

- As412c • Zea mays, maïs, feuille typique de monocotylédones c.t.  
 As415c • Iris, feuille isobilatérale typique, c.t.  
 As414c • Lilium, lis, feuille, c.t.  
 As429c Allium schoenoprasium, civette, c.t. de feuille roulée  
 As4166d Aloe, aloès, feuille monocotylédone, c.t.  
 As4799c Plantago, plantain, pétiole, c.t.  
 As4962c Festuca, herbe, feuille c.t.  
 As418c Galanthus, perce-neige, feuille, c.t. i  
 As4967c Hyacinthus, jacinthe, feuille c.t.  
 As4167d Musa, banane, feuille c.t.  
 As4968c Narcissus, narcisses, feuille c.t.  
 As413c Poa, pâturin, feuille, c.t.  
 As4172d Saccharum, canne à sucre, feuille c.t.  
 As4961c Secale, seigle, c.t. tige avec feuilles  
 As417c Triticum, blé, feuille c.t.  
 As4183c Tulipa, tulipe, feuille c.t.

### Feuilles typiques de dicotylédone

- As453c • Syringa, lilas, feuille typique de dicotylédone, c.t.  
 As4535c Syringa, lilas, feuille typique de dicotylédone, c.l. paradermique  
 As454c • Ligustrum, troène, feuille, c.t.  
 As4541c Ligustrum, troène, feuille, c.l. paradermique  
 As455d • Fagus, hêtre, feuille au soleil et feuille à l'ombre, c.t.  
 As473d • Helleborus, élébore noir, feuille, c.t.  
 As476c Helianthus, héliotrope, feuille, c.t.  
 As4964c Ranunculus, renoncule, feuille, c.t.  
 As489c Asclepias, feuille c.t. montrant conduits lactifères



- As449c Begonia, feuille c.t.  
 As488c Belladonna, morelle, feuille c.t.  
 As4676c Beta vulgaris, betterave, feuille c.t.  
 As4971c Brassica, chou, c.t. feuille  
 As4787d Camellia (Thea) sinensis, thé, feuille c.t.  
 As4785c Coffea arabica, café, feuille c.t.  
 As4965c Dictamnus, c.t. de feuille avec cristaux  
 As446c Eucalyptus, feuille biface avec glandes huileuses schizogènes, c.t.  
 As459c • Ficus elastica, caoutchouc, c.t. de feuille présentant des cystolithes  
 As4912c Gossypium, coton, feuille c.t.  
 As4958c Hedera, lierre, feuille c.t.  
 As4782c Lycopersicum, tomate, feuille c.t.  
 As490c Medicago sativa, luzerne, feuille c.t.  
 As4918c Populus, peuplier feuille avec cristaux d'oxalate de calcium c.t.  
 As4944c Quercus, chêne, c.t. de feuille avec stomates  
 As477c • Rosa, rose, feuille, c.t.  
 As423c Sagittaria, sagittaire, feuille, c.t.  
 As4792d Vitis, cep de vigne, feuille c.t.  
 As493d Nervation foliaire, feuille de dicotylédone montrant vénéation, s.e.

### Adaptation. Hydrophytes et hygrophites (plantes aquatiques)

- As4155c • Elodée, c.t. de feuille présentant la simple structure d'une feuille aquatique  
 As416d • Elodea, feuille avec chloroplastes, s.e.  
 As4946c Calla palustris, plante paludéenne, c.t. de feuille  
 As4673c Eichhornia, hyacinthe, feuille aquatique, c.t.  
 As4595c Impatiens, feuille avec cristaux en raphides, c.t.  
 As4948c Lemna, lenticule, c.t. of feuille  
 As4949c Myosotis palustris, s.e. de feuille montrant stockage d'eau  
 As467c • Nymphaea, nénuphar, feuille flottante, c.t.  
 As425c • Potamogeton, potamo, feuille c.t.  
 As457d Tropaeolum, capucine, feuille avec hydathodes, c.t.  
 As419c Vallisneria, feuille de plante aquatique, c.t.

### Adaptation. Xérophytes (plantes xérophiles)

- As456c • Nerium, oléandre, feuille avec stomates enfoncées, c.t.  
 As4165d Agava, feuille xéromorphe, c.t.  
 As4567c • Ammophila, feuille xéromorphe, c.t.  
 As475c Calluna, bruyère, feuille enroulée, c.t.  
 As4564d Cistus, feuille xéromorphe, c.t.  
 As4492c Clivia nobilis, feuille xéromorphe c.t. avec épiderme robuste  
 As4752c • Erica, feuille xéromorphe enroulée, c.t.  
 As4914c Hakea, proteaceae, feuille c.t.  
 As4563d Ilex, houx, feuille c.t.  
 As4959c Sempervivum, feuille succulente c.t.  
 As4565d Larea tridentata, feuille d'une plante désertique c.t.  
 As4566c Lavandula, lavande, feuille avec glandes huileuses schizogènes, c.t.  
 As4916d Olea, olivier, feuille c.t.  
 As458c • Sedum, orpin, feuille typique de plante succulente, c.t.  
 As4969c Sempervivum, feuille typique de plante succulente, c.t.  
 As4963c Stipa capillata, stipe, feuille enroulée graminiforme, c.t.

### Adaptation. Modes spécifiques de nutrition

- As469c • Dionaea, dionée gobe-mouche, feuille, c.t.  
 As4957f Dischidia, feuille en forme d'urne, c.t.  
 As462d • Drosera, rossolis, plante carnivore, feuille avec poils glandulaires, s.e.  
 As463c • Drosera, rossolis, plante carnivore, feuille avec poils glandulaires, c.t.

- As4951c Lathraea squamaria, c.t. de feuille sans chloroplastes  
 As470d Nepenthes, feuille en forme d'urne, c.t.  
 As460c • Pinguicula, feuille avec poils glandulaires, c.t.  
 As4703d Sarracenia, plante carnivore, feuille c.t.  
 As465d • Utricularia, organe de capture, s.e.  
 As466c Utricularia, organe de capture, et feuilles, c.t.  
 As4941d Viscum album, gui, c.t. feuille avec chloroplastes

### Bourgeon de feuille, articulation, zone d'abscission

- As451c • Fagus, hêtre, bourgeon de feuille, c.t.  
 As452d • Fagus, bourgeon de feuille, c.l.  
 As4524d Aesculus, marronnier d'Inde, c.t. de bourgeon de feuille avec squame et feuilles enroulées nidifiées  
 As474d Mimosa pudica, articulation d'une feuille, c.l.  
 As485d Robinia pseudacacia, robinier, feuille avec pulvini c.l.  
 As487d Aesculus, tige et zone d'abscission à la base c.l.  
 As361c Acer, érable, pétiole, c.t.

## V. La Fleur et le Fruit

### Développement des cellules mères microspores du lis (Lilium)

- As521e Lilium, anthères, cellules mères du pollen au repos, c.t.  
 As522e Lilium, anthères, cellules mères du pollen, début de la prophase, c.t.  
 As523e Lilium, anthères, cellules mères du pollen, fin de la prophase, c.t.  
 As5232e • Lilium, anthères, cellules mères du pollen, stade leptotène c.t.  
 As5233e • Lilium, anthères, cellules mères du pollen, stade zygotène c.t.  
 As5234e • Lilium, anthères, cellules mères du pollen, stade pachytène c.t.  
 As5235e • Lilium, anthères, cellules mères du pollen, stade diplotène c.t.  
 As5236e • Lilium, anthères, cellules mères du pollen, diacinèse, c.t.  
 As524f • Lilium, anthères, cellules mères du pollen, métaphase et anaphase de la première division de maturation (division hétérotypique), c.t.  
 As5242f Lilium, anthères, cellules mères du pollen, télophase de la première division c.t.  
 As525f • Lilium, anthères, cellules mères de pollen, métaphase et anaphase de la seconde division de maturation (division homéotypique), c.t.  
 As526f • Lilium, anthères' cellules mères du pollen, formation des tétrades, c.t.  
 As5262e Lilium, anthères, microspores uninuclées, c.t.  
 As5264f Lilium, anthères, troisième division c.t.\*  
 As5266e • Lilium, anthères, grains de pollen mûr à noyau double au moment de la dispersion c.t.  
 As527d • Lilium, anthères, pollen après l'arrêt des divisions de maturation, c.t.  
 As5271d Lilium, anthères, c.l. pour étude générale

### Types de pollen

- As528b • Lilium, grains de pollen mûr  
 As577d Tulipa, anthères avec les pollens, c.t.  
 As625b • Helianthus, grains de pollen  
 As6252b Ambrosia, grains de pollen  
 As626b • Corylus, grains de pollen  
 As6262b Oenothera, onagre, grains de pollen  
 As6263b Helianthus et Cucurbita, grains de pollen.  
 As630c • Types de pollen, s.e. d'une grande variété de pollens mélangés

### Fertilisation

- As529d Lilium, stigmat, c.t. (n'ayant pas reçu de pollen)  
 As530e • Lilium, stigmat avec pollen et tubes polliniques, c.l.  
 As531e Lilium, grains de pollen germinatives avec tubes polliniques  
 As609e • Oenothera, stigmat avec pollen et tubes polliniques dans le pistil, c.t.  
 As655e Stigmat d'Eschscholtzia, avec pollen et tubes polliniques, s.e.  
 As656e • Stigmat d'Eschscholtzia, avec pollen et tubes polliniques, c.l.  
 As6571e Vicia, haricot, stigmat et anthères, s.e.  
 As583d • Fritillaria, nectaire c.t. avec glandes nectarifères

### Développement du sac embryonnaire du lis (Lilium)

- As541e Lilium, ovaire. Nucelle avant le développement de la cellule mère primaire du sac embryonnaire, c.t. Nombreuses mitoses  
 As5412f Lilium, ovaire. Nucelle avec cellule mère du sac embryonnaire jeune c.t.  
 As542f • Lilium, ovaire. Nucelle avec cellule mère du sac embryonnaire, sac embryonnaire uninuclée, c.t.  
 As543g Lilium, ovaire. Nucelle avec cellule mère du sac embryonnaire en division, c.t. \*  
 As544h Lilium, ovaire. Sac embryonnaire binucléé, c.t. \*  
 As545k Lilium, ovaire. Sac embryonnaire binucléé en division, c.t. \*  
 As546h Lilium, ovaire. Sac embryonnaire quadrinucléé, c.t. \*



- As547h Liliium, ovaire. Sac embryonnaire quadrinuclé pendant la migration: trois noyaux se déplacent vers la chalaze, un noyau vers le micro-pyle
- As5472k Liliium, ovaire. Sac embryonnaire, prophase de la troisième division \*
- As548g • Liliium, ovaire. Sac embryonnaire quadrinuclé après la migration, et la formation d'une vacuole, c.t.
- As549i Liliium, ovaire. Sac embryonnaire, métaphase et anaphase de la quatrième division c.t.\*
- As550g Liliium, ovaire. Sac embryonnaire, stade de huit noyaux, le sac embryonnaire mûr (incomplet), c.t.
- As551k • Liliium, ovaire. Sac embryonnaire, stade de huit noyaux, le sac embryonnaire mûr (complet) c.t. \*
- As5514k Liliium, ovaire. Sac embryonnaire, double fécondation par les deux noyaux spermatozoïdes du tube pollinique \*

### Ovaires. Constitution et disposition des ovules (monocotylédone)

- As560d • Liliium, ovaire c.t. Constitution et disposition des ovules
- As561d • Liliium, ovaire c.l. Constitution et disposition des ovules
- As553f Liliium, ovaire. Formation de l'embryon, premier stade
- As554f • Liliium, ovaire. Formation de l'embryon, stade ultérieur, c.t.
- As555f • Liliium, ovaire. Embryon mûr, semence, c.t.
- As571d • Tulipa, tulipe, ovaire, c.t.
- As572d • Tulipa, tulipe, ovaire, c.l.
- As573d Tulipa, tulipe, ovaire, c.l. avec la formation des embryons
- As574d Iris, ovaire, c.t.
- As575e Iris, ovaire, stade ultérieur, avec la formation des embryons, c.t.
- As582d Fritillaria, ovaire, c.t.
- As584d Hyacinthus, jacinthe, ovaire, c.t.
- As586d Epipactis, orchidée, ébauche des grains de semence, c.t.
- As564d Ovaire orthotrope, c.t.
- As565d Ovaire anatrophe, c.t.
- As566d Ovaire campylotrope, c.t.
- As568s Ovaires typiques, préparation composée avec quatre ovaires, c.t.

### Ovaires. Constitution et disposition des ovules (dicotylédone)

- As662d Helleborus, ellébore noir, ovaire atropique, c.l.
- As664d • Hyoscyamus, jusquiame, ovaire jeune, c.t.
- As665d • Hyoscyamus, jusquiame, ovaire âgée, c.t.
- As663d Impatiens, ovaire, c.t.
- As615d Lathraea, ovaire d'une plante parasitaire, c.t.
- As6151d Lathraea, ovaire jeune, c.t.
- As6152d Lathraea, ovaire âgée, c.t.
- As614d Monotropas, monotrope, ovaire avec formation des sacs embryonnaires, c.t.
- As616d Rosa, rose, ovaire, c.t.
- As6132d • Solanum, pomme de terre, ovaire avec formation des embryons, c.t.
- As619d • Capsella, bourse à pasteur, embryons in situ, c.l.
- As6192f Capsella, bourse à pasteur, embryon c.l. stade precotylédone, c.t.
- As6193f Capsella, bourse à pasteur, embryon c.l. stade cotylédone jeune
- As6194f Capsella, bourse à pasteur, embryon c.l. stade cotylédone âgée
- As6195f Capsella, bourse à pasteur, embryon c.l. stade cotylédone mature

### Boutons de fleurs monocotylédone (diagrammes de la fleur)

- As501e Boutons de fleurs monocotylédone et dicotylédone (Zea et Ranunculus), deux c.t.
- As511d • Liliium, lis blanc, bouton de fleur, c.t. (diagramme de la fleur)
- As512d • Liliium, lis blanc, bouton de fleur, c.l.
- As653d Galanthus, perce-neige, bouton de fleur, c.t. (diagramme de la fleur)
- As5778d Secale, seigle, fleur typique de graminée, c.t.
- As5798d Zea, maïs, fleur mâle c.t.
- As588d Anthurium, bouton de fleur, c.t.
- As590e Arum maculatum, bouton de fleur, c.l. montrant l'ovaire
- As657d Arum maculatum, bouton de fleur, c.t. montrant l'ovaire

### Boutons de fleurs dicotylédone (diagrammes de la fleur)

- As651d • Bellis, pâquerette, c.l. de bouton de fleur composée
- As652d Caltha palustris, caltha des marais, c.l. de fleur
- As658d Cheirantus, giroflée, c.t. de bouton de fleur à placentation marginale-pariétale
- As593d • Corylus avellana, noisette, fleur dicline mâle c.l.
- As594d • Corylus avellana, noisette, fleur dicline femelle c.l.
- As6551d Cucurbita, courge, fleur femelle c.l.
- As654d Linum, lin, fleur c.t.
- As601d • Lycopersicum, tomate, bouton de fleur, c.t. (diagramme de la fleur)
- As602d • Lycopersicum, tomate, bouton de fleur, c.l.
- As6521d Magnolia, magnolier, bouton de fleur, c.t. montrant anthères avec cellules mères du pollen
- As606d • Papaver, pavot, fleur, c.t.
- As607d • Papaver, fleur avec formation des embryons, c.t.
- As599d Pyrus malus, pomme, bouton de fleur avec ovaire hypogyne, c.l.



- As6561d Primula, primevère, fleur, c.t.
- As600d Prunus avium, cerise, bouton de fleur avec ovaire perigyne, c.l.
- As595d Ranunculus, renoncule, bouton de fleur c.l.
- As659d Rhododendron, fleur, c.t. avec écailles de bourgeons
- As603d Ribes, groseille, boutons de fleur, c.l.
- As6522d Senecio, séneçon, fleur de composée, c.t.
- As613d • Solanum, pomme de terre, fleur, c.t.
- As604d • Taraxacum, pissenlit, fleur de composée, c.l.
- As605d • Taraxacum, pissenlit, fleur de composée, c.t.

### Fruits simples

- As576d • Iris, semence mûr, c.t.
- As639d Cruzifera sp., grain de moutarde, silique avec semence c.t.
- As627c • Cocos, endosperme (sarcocarpe), c.t.
- As631d • Lycopersicum, tomate, jeune fruit c.t.
- As632d Prunus domestica, prune, fruit à noyau jeune, c.t.
- As634d Juglans regia, noyer, jeune drupe, c.t.
- As6375d Corylus avellana, noisette, jeune fruit c.t.
- As640d Citrus, citronnier, pelure d'un citron, c.t.
- As644d Aesculus hippocastanum, châtaigner, jeune fruit c.l.

### Fruits agrégés

- As596d Ranunculus, renoncule, jeune fruit c.l.
- As597d Ranunculus, renoncule, jeune fruit c.t.
- As633d • Pyrus malus, pomme, fruits à pépins, jeune, c.t.
- As6165d Rosa, fruit syncarpe c.l.
- As641d Rubus idaeus, framboise, jeune fruit agrégé c.l.
- As642d Fragaria, fraise, jeune fruit agrégé, c.l.
- As6035d Ribes, groseille, fruit bacciforme, c.l.
- As643d Morus, mûre, fruit multiple, c.l.
- As645e Ficus carica, figue, jeune fruit, c.t.

### Semences

- As578d • Triticum, blé, semence (graine), c.t.
- As579e • Triticum, blé, semence avec embryon, c.l.
- As580d • Zea mays, maïs, semence (graine), c.l.
- As6641d • Zea mays, maïs, jeune épi, c.t.
- As5809e Zea mays ou Triticum, semence (graine) germinatif c.l.
- As581d Secale, seigle, semence (graine), c.t.
- As6621d Asparagus, asperge, semence, c.t.
- As585d • Hyacinthus, jacinthe, semence, c.t.
- As623d • Helianthus, héliotrope, graines de semence, c.t.
- As638d • Phaseolus, haricot, gousse avec un grain, c.t.
- As622d Tropaeolum, graines de semence, c.t.
- As635d Amygdalus, amande, graine, c.t.
- As636d Myristica, noix muscade, endosperme, c.t.
- As661c • Ricinus, endosperme, c.t. avec cotylédons et grains d'aleurone
- As628d • Juglans, noyer, péricarpe avec cellules pierreuses, c.t.
- As629b • Populus, peuplier, poils de la semence, s.e.

### Abréviations:

- c.t. coupe transversale
- c.l. coupe longitudinale
- s.e. sujet entier, préparation entier



## TABLE DES MATIÈRES: PRÉPARATIONS MICROSCOPIQUES EN ORDRE SYSTEMATIQUE

<b>Protozoa – Protozoaires</b>	Page 57		
Rhizopoda (Sarcodina) – Rhizopodes	57	Organes génitaux	Page 69
Flagellata – Flagellés	57	Système nerveux	69
Sporozoa – Sporozoaires	57	Organes des sens	70
Ciliata (Infusoria) – Infusoires	58	Peau et téguments	70
<b>Mesozoa – Mesozoaires</b>	58	Histologie de mammifères, vue général	70
<b>Porifera – Spongiaires</b>	58	<b>Histologie Humaine Normale</b>	70
<b>Coelenterata – Coelentaires</b>	58	Cytologie et épithéliums	70
<b>Plathelminthes – Platodes</b>	58	Tissus conjonctifs et de soutien	70
Turbellaria – Turbellairés	58	Tissu musculaire	71
Trematodes – Trématodes	59	Organes vasculaires	71
Cestodes – Cestodes	59	Appareil respiratoire	71
<b>Nemathelminthes – Nemathelminthes</b>	60	Système lymphatique	71
<b>Acanthocephala – Acanthocephales</b>	60	Glandes endocrines	71
<b>Annelida – Anelides, Diverse</b>	60	Appareil digestif	71
<b>Onychophora – Onychophores</b>	61	Appareil urinaire	71
<b>Rotatoria – Rotifères</b>	61	Organes génitaux	71
<b>Bryozoa – Bryozoaires</b>	61	Système nerveux	72
<b>Crustacea – Crustacés</b>	61	Organes des sens	72
<b>Arachnida – Arachnides</b>	61	Peau et téguments	72
<b>Myriapoda – Myriapodes</b>	62	<b>Pathologie Humaine</b>	72
<b>Insecta – Insectes</b>	62	Poumon et trachée	72
Microscopie anatomique et Histologie	62	Sang, rate et système lymphatique	72
Tête et pièces buccales, s.e.	62	Cœur et organes vasculaires	72
Tête et pièces buccales, coupes	62	Glandes	72
Antennes	62	Appareil digestif	72
Pattes	62	Foie	72
Ailes	62	Appareil urinaire	73
Cytologie	62	Organes reproductifs	73
Organes de métabolisme	62	Système nerveux	73
Système reproductif	63	Peau et téguments, appareil locomoteur	73
Syst. nerveux et organes sensorielles	63	<b>Embryologie</b>	73
Diverses	63	Embryologie des mollusques (Bivalvia)	73
Préparation de Sujets entiers	63	Embryologie des insectes	73
Apterygota	63	Embryologie. Oursin de mer	73
Ephemeroidea	63	(Psammechinus miliaris)	73
Diptera	63	Embryologie. Étoile de mer	73
Aphaniptera	63	(Asterias rubens)	73
Blattoidea	63	Embryologie. Amphioxus	74
Hymenoptera	63	(Branchiostoma lanceolatum)	74
Anoplura et Mallopha	63	Embryologie. Grenouille (Rana)	74
Heteroptera	64	Embryologie. Poule (Gallus)	74
Homoptera	64	Embryologie. Porc	74
Diverses	64	(Sus scrofa)	74
<b>Mollusca – Mollusques</b>	64	<b>Bacteria – Bakteries</b>	75
<b>Echinodermata – Échinodermes</b>	64	Coques (formes sphériques)	75
<b>Enteropneusta – Enteropneustes</b>	65	Bacilles (formes de tige), non sporifères,	75
<b>Tunicata – Tunicates</b>	65	gram positif	75
<b>Acrania – Prochordes</b>	65	Bacilles (formes de tige), non sporifères,	75
<b>Pisces – Poissons</b>	65	gram négatif	75
Cyclostomata	65	Bacilles (formes de tige), sporifères	75
Selachii	65	Spirilles et spirochètes	75
Teleostei	65	Groupes divers	75
<b>Amphibia – Amphibiens</b>	66	Bactéries typiques, prép. composées	75
<b>Reptilia – Reptiles</b>	66	Cytologie et colorations spéciales	75
<b>Aves – Oiseaux</b>	67	<b>Algae – Algues</b>	76
<b>Histologie des mammifères</b>	67	Cyanophyceae – Algues bleues)	76
Cytologie	67	Diatomeae – Diatomées	76
Épithéliums	67	Conjugatae – Conjuguées	76
Tissus conjonctifs et de soutien	67	Chlorophyceae – Algues vertes	76
Tissu musculaire	68	Chrysophyceae – Chrysophycées	76
Organes vasculaires	68	Charophyceae – Charophycées	76
Appareil respiratoire	68	Phaeophyceae – Phéophycées	76
Système lymphatique	68	Rhodophyceae – Rhodophycées	77
Glandes endocrines	68	<b>Fungi – Champignons</b>	77
Appareil digestif	68	Myxomycetes – Myxomycètes	77
Appareil urinaire	69	Phycomycetes – Phycomycètes	77
		Ascomycetes – Ascomycètes	77
		Basidiomycetes – Basidiomycètes	Page 77
		<b>Lichenes – Lichens</b>	78
		<b>Bryophyta – Bryophytes</b>	78
		Hepaticae – Hépatiques	78
		Musci – Mousses	78
		<b>Pteridophyta – Pteridophytes</b>	78
		Psilotales – Psilopsids	78
		Lycopodiatae – Lycopodes	78
		Equisetatae – Prêles	78
		Filicatae – Fougères	79
		<b>Gymnospermae – Gymnospermes</b>	79
		<b>Angiospermae – Angiospermes</b>	80
		Cellules végétales et tissus	80
		Cellules, division, chromosomes	80
		Organelles cellulaires	80
		Substances nutritives de réserve	80
		Cristaux et substances métaboliques	80
		Tissus du méristème	80
		Tissu de soutien	80
		Tissu conducteur	81
		Tissu épidermique	81
		Cellules et tissus spécifiques	81
		La Racine	81
		Racines typiques en comparaison	81
		Extrémité, développement de la racine	81
		Racines typiques de monocotylédone	81
		Racines typiques de dicotylédone	81
		Adaptation. Hydrophytes et hygrophytes	81
		Adaptation. Xérophytes	81
		Modes spécifiques de nutrition	81
		La Tige	82
		Tiges typiques en comparaison	82
		Tiges typiques de monocotylédone	82
		Tiges typiques de dicotylédone:	82
		Plantes herbacées	82
		Tiges typiques de dicotylédone:	82
		Arbres et buissons	82
		Tiges de plantes utiles	83
		Adaptation. Hydrophytes et hygrophytes	83
		Adaptation. Xérophytes	83
		Modes spécifiques de nutrition	83
		Pétioles et divers	83
		La feuille	83
		Feuilles typiques en comparaison	83
		Épiderme de feuille et stomates	83
		Poils et émergences	83
		Feuilles typiques de monocotylédone	83
		Feuilles typiques de dicotylédone	83
		Adaptation. Hydrophytes et hygrophytes	84
		Adaptation. Xérophytes	84
		Modes spécifiques de nutrition	84
		Bourgeon de feuille, zone d'abscission	84
		La Fleur et le Fruit	84
		Cellules mères microspores du lis (Lilium)	84
		Types de pollen	84
		Fertilisation	84
		Sac embryonnaire du lis (Lilium)	84
		Ovaires et ovules (monocotylédone)	85
		Ovaires et ovules (dicotylédone)	85
		Boutons de fleurs (monocotylédone)	85
		Boutons de fleurs (dicotylédone)	85
		Fruits simples	85
		Fruits agrégés	85
		Semences	85